

C-S-H(D)

$C_2H_5S(\omega)$  4999 | 1933

Thatte V. N., Ganesan A.S.

Phil. Mag. 1933, 15, 51-64

"Raman effect in organic sulfides  
and some thio compounds."

10 2 C<sub>2</sub>SH<sub>5</sub>  
c.a. 1933, 3668

~~-9032~~ BP-1555-II

1941

J (H<sub>2</sub>O, CH<sub>3</sub>OH, C<sub>2</sub>H<sub>5</sub>OH, (CH<sub>3</sub>)<sub>2</sub>O,

H<sub>2</sub>S, C<sub>2</sub>H<sub>5</sub>SH, (CH<sub>3</sub>)<sub>2</sub>S, (C<sub>2</sub>H<sub>5</sub>)<sub>2</sub>S, NH<sub>3</sub>, (CH<sub>3</sub>)<sub>3</sub>N,

HCHO, CH<sub>3</sub>CHO, H<sub>2</sub>C:CHCl, ClCH:CHCl)

Sugden T.M., Walsh A.D., Price W.G.  
Nature 1941, 148, 372-3

"Ionization ...

HO C<sub>4</sub>H<sub>10</sub>

C.A., 1942, 336<sup>4</sup>

E.O.T.B. φ. K. 92

модифициро-  
ванные

Scott D.W. и сп.

1953

J. Amer. Chem. Soc., 75, 2795

Декомпозиция смеси  
зано  $\Delta H^\circ$ , рассчитанная  
m.-g. сп-ции до  $1000^\circ K$

1712 - LKB

$\text{N}(\text{CH}_3)_3$ ,  $\text{S}(\text{CH}_3)_3^+$ ,  $\text{P}(\text{CH}_3)_3$ ,

1953

$\text{As}(\text{CH}_3)_3$ ,  $\text{Sb}(\text{CH}_3)_3$ ,  $\text{Bi}(\text{CH}_3)_3$  ( $\checkmark_{\text{i}}, \checkmark_{\text{ex}}, \checkmark_{\text{exc}}$ )

Siebert H.

Z. anorgan. und allgem. Chemie,  
1953, 273, II 3-5, 161-169 /

Kraftkonstanten von Methyl-  
verbindungen ...

PX., 1954, N 12, 30224

10



C<sub>3</sub>H<sub>8</sub>S

Hydrogenation

J. P. Mc. Cullough  
H. L. Finke, D. W. Scott  
u gr.

1954

685

T. g. sp.

T. g. cb-fa

mentl. gamma

| Rep.: "J. Amer. Chem. Soc."

76, 4796, 1954

II

5014

1956

C<sub>2</sub>H<sub>4</sub>S<sub>2</sub> (Di)

Mecke R., Spiesecke H.

Chem. Ber., 1956, 89, w5, 1110 - 1116 (Recus).

Das Infrarotspectrum der Dithioessigsäure

Proc. K. Ned. Akad. Wet., 1958, v3, 6938. 10

C<sub>3</sub>H<sub>8</sub>S

R.E. Penington.  
D.W. Scott, H.L. Finke

1956

684

T.g.-cb-ba

T.g.-cp.

mon. cryogr.

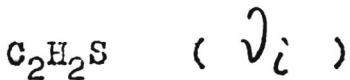
Rep. "J. Am. Chem. Soc"

78, 3266, 1956.

111

1988

4997

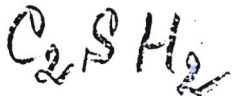


Devis R.E.

J.Organ.Chem., 1958, 23, N2, 216-218

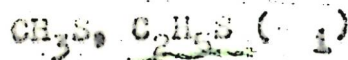
Циклические сульфины...

J



1988

8892



Scott D.W., McCullough J.P.,

J.Amer.Chem.Soc., 1953, 75, N 14,  
3554-3558

Характеристические консистенции...

C-H-S

P. A. Frenzel, D. W Scott,  
Mc.Cullough.

1960  
687

"Bureau of mines  
(U.S. Check) report of investigations"

5658

2084

1962

C<sub>2</sub>H<sub>2</sub>, CH<sub>3</sub>F, CH<sub>3</sub>Cl, CH<sub>3</sub>Br, CH<sub>3</sub>J, CH<sub>3</sub>OH,

CH<sub>3</sub>SH, CH<sub>3</sub>SiH<sub>3</sub>, CH<sub>3</sub>GeH<sub>3</sub>, C<sub>2</sub>H<sub>4</sub>HD, C<sub>2</sub>H<sub>4</sub>O,

C<sub>2</sub>H<sub>4</sub>S, CH<sub>3</sub>NH<sub>2</sub>, CH<sub>3</sub>Li (A), C<sub>2</sub>H<sub>6</sub>(AD)

Bykov G.W.

J. Prakt. Chem., 1962, 16,

II 1-283-112

Die Bindung ...

J, II

5

C<sub>2</sub>SH<sub>4</sub>

BP - 1489-II; 1561

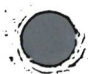
$\text{H}_2\text{C}_2\text{CH}_2\text{SH}$  ( 2 ) 1962  
 $\text{H}_2\text{C}_2\text{CH}_2\text{S}_2$  ( 3 )

Hobrock B.G., Nicot RaFa

J.Phys.Chem., 1962, 66, 11 9.  
1640-1652 ( cont'd )

Electron impact spectroscopy of  
sulfur compounds, 1,2 = thicbutane,  
2-thiopentane, and 2,3 = dithiobutane

ENR, 1962, 106 34



$\text{CS}_2\text{H}_3$  ecm  
open

$\text{CH}_3\text{S}^+$ ,  $\text{CH}_2\text{S}^+$  | BD-9672-IV | 1962

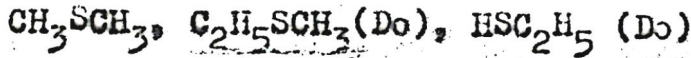
$\text{CH}_3\text{S}^+$ ,  $\text{C}_2\text{H}_3\text{S}^+$  Hobrock B. G.,  
Kiser R. W.

(A.P.)

J. Phys. Chem., 1962,  
66 (8), 1551-2

1962

5003

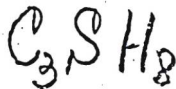


Mackle H., Mayrick R.G.

Trans. Faraday Soc., 1962, 58, 121, 33-9

Studies in the ...

M, J



Purification  
Nucleosides  
Purine nucleotides

CH<sub>3</sub>S, HS, CH<sub>3</sub>S,

BH, HS, HS, CH<sub>3</sub>S,  
CH<sub>3</sub>S

Dihydroxyacetone

Chloro-butanone

HS-H, CH<sub>3</sub>-BH

CH<sub>3</sub>S-H, CH<sub>3</sub>S, CH<sub>3</sub>S

CH<sub>3</sub>S-SCH<sub>3</sub>, CH<sub>3</sub>S

1962.

Palmer T.F., Hessing F.P.

J. Amer. Chem. Soc. 84, n<sup>o</sup> 24, 4661

nicotinamide adenylate phosphotransferase

nicotinamide adenylate cyclase

XVIII. Purine nucleotides and nucleosides a.

Reinhardt et al. 8

Col (86) T

ІБ409 Scott D. W., Good W. D.,  
I962  
Todd S. S. и gp.

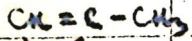
3,3-диметил-2-тиобутан. Химико-термодинамические св-ва и барьеры внутренне го вращения.

" J. Chem. Phys. ", I962, 36, №2, 406

Ф-І963-І

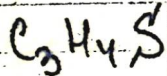
(см.  $C_5H_{12}S$ ) II

1963



\delta'

метан



12 Д154. Микроволновой спектр сульфида пропилена. Butcher Samuel S. Microwave spectrum of propylene sulfide. «J. Chem. Phys.», 1963, 38, № 9, 2310—2311  
(англ.)

Из микроволни. спектра сульфида пропилена определена высота потенц. барьера внутреннего вращения метильной группы. Полученное значение 3240 кал/моль находится в хорошем согласии со значением, вычисленным другими авторами из спектров поглощения в далекой ИК-области.

оф. 1963. 127

$(C_2H_5S)_2$  | B.P. - 186.5 - II | 1963

(A.P.)

Cowenlock B.C.,  
Kay J., Majorz J.R.

Trans Faraday Soc., 1963,  
59 (II), 2463-8

$(C_2H_5)_2S$

BQ-1865-I | 1963

(A.P.)

Cowenlock B.C.,  
Kag T., "

Trans. Faraday Soc., 1963,  
59 (11), 2463-8

CH<sub>3</sub>SCD<sub>3</sub>

| BP-1865-17 | 1963

(A.P.)

Gowenlock B.C.,  
Kag T., "

Trans. Farad. Soc., 1963,  
59 (1), 2463-8

1963'

7987

$C_2H_6S$ ,  $CH_3SSSCH_3$  (I),  $C_2H_5SH$ ,  $CH_2S_2H$  (J)

Hobrock B.G., Kiser R.W.

J.Phys.Chem., 1963, 67, N 6,  
1283-1286

Electron impact ...

J

$C_2S_3H_6$

1964

Microwave spectra of organosulfur compounds. N. M. Pozdeev, L. I. Panikovskaya, R. S. Nasibullin, I. M. Evdokimov, and L. A. Tikhomirov. *Khim. Seraorgan. Soedin., Soderzhashch. v Neft. i Nefteprod., Akad. Nauk SSSR, Bashkirsk. Filial 7*, 237-42(1964)(Russ). Spectra of  $\text{Me}_2\text{S}$ ,  $\text{Et}_2\text{S}$ ,  $\text{Me}_2\text{S}_2$ , iso- $\text{PrSMe}$ ,  $\text{MeSPh}$ , thiophene, thiophane, 3-methylthiophene, thiacyclohexane, and  $\text{PrSH}$  were scanned, 15,000-40,300 Mc., on a spectrograph with modulation of the Stark voltage at 62.5 kc. and max. sensitivity of  $10^{-9} \text{ cm.}^{-1}$  and provided with an elec. oscillosograph. The no. of lines depends on the spectrum intensity. Lighter mols. and the mols. with higher dipole moments had the more intensive spectra. Mols. contg. the Me group gave lines with fine structure, which was caused by Me group vibration. For  $\text{Me}_2\text{S}$ , the following transitions were identified:  $1_{-1} \rightarrow 1_1$ ,  $2_{-2} \rightarrow 2_0$ ,  $3_{-3} \rightarrow 3_{-1}$ , and  $1_{-1} \rightarrow 2_{-1}$ ; vibration consts. calcd. were  $A = 17,809.4 \text{ Mc.}$ ,  $B = 7621.19 \text{ Mc.}$ ,  $C = 5717.9 \text{ Mc.}$ , and  $x = 0.685185$ . These consts. corresponded to a fixed model of the mol. without internal vibration according to the spectra which possessed the transitions with small magnetic no. J: Microwave spectra were used for qual. analysis of complex mixts. of organosulfur compds.

J. Vachek

C.A. 1965

63.5

51378

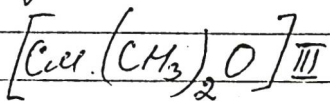
$\text{CH}_3 > \text{S}$   
 $\text{CD}_3 > \text{S}$

Perchard J.-P.

1965

These doct.-ingr. Fac. sci  
Univ. Paris, 1963, Luisant-  
Chartres, 1965, 36 p.

Несовершенное ИК-спектральное  
изучение гидратированной  
серы макроскоп.



1966

Microwave spectrum, vibration-rotation interaction, and potential function for the ring-puckering vibration of trimethylene sulfide. David O. Harris, Howard W. Harrington, Alan C. Luntz, and William D. Gwinn (Univ. of California, Berkeley). *J. Chem. Phys.* 44(9); 3467-80(1966)(Eng). The microwave spectrum of the ground and first 4 excited states of the ring-puckering mode of trimethylene sulfide has been observed and assigned. From an analysis of the perturbations to the rotational spectrum arising from the coupling of the internal angular momentum with the overall rotation of the mol., the sepn. between the lowest 2 vibrational levels was detd. to be 8229 Mc./sec. Three mixed vibration-rotation transitions have been observed, and give the more accurate value of  $8232.5 \pm 0.4$  Mc./sec. ( $0.27461 \text{ cm.}^{-1}$ ) for this sepn. From the vibration-rotation interaction and the relative intensities of certain lines, the potential function governing the vibration has been detd. to be  $7.0207Q^4 - 87.7581Q^4 \text{ cm.}^{-1}$ , where  $Q$  is the coordinate describing

C.A. 1966.65.1

191 fg

the vibration. The height of the barrier to the planar configuration is  $274.2 \pm 2$  cm.<sup>-1</sup> The agreement between the far-ir spectrum that was calcd. by using this potential function derived from microwave data, and that which was recently observed by Borgers and Strauss, is very good. On the basis of a dynamic model for the ring-puckering motion in which the atoms move along curvilinear paths with no bond stretching, the coupling const. between the overall rotation and the internal angular momentum was calcd. It was 170 Mc./sec. compared to the exptl. value of 176 Mc./sec. The importance of treating the vibrational dependence of the off-diagonal elements of the inertial tensor as being equiv. to vibrational angular momentum is stressed.

RCJQ

*S(C<sub>2</sub>H<sub>5</sub>)<sub>3</sub>*

1966

21.

*Микроволн.  
спектр*

12 Д300. Микроволновый спектр, колебательно-вращательные взаимодействия и потенциальная функция колебания, сморщающего кольцо молекулы триметиленсульфида. Harris David O., Harrington Howard W., Luntz Alan C., Gwin William D. Microwave spectrum, vibration-rotation interaction, and potential function for the ring-puckering vibration of trimethylene sulfide. «J. Chem. Phys.», 1966, № 44, 3467—3480 (англ.)

В области 8—36 кМгц при т-ре сухого льда исследованы микроволн. спектры основного и первых четырех возбужденных состояний молекулы триметиленсульфида. Наблюдаемые полосы интерпретированы как переходы, связанные с неплоскими деформационными колебаниями, сморщающими кольцо молекулы. Показано, что спектру для рассматриваемых колебаний соответствует потенц. ф-ция с двойным минимумом:  $V(\text{см}^{-1}) = 7,0207 Q^4 - 87,7581 Q^2$ , где  $Q$  — соответствующая колебательная координата. Высота центрального барьера,

оф. 1966. 128

отвечающего плоской конфигурации кольца, равна  $274,2 \pm 2 \text{ см}^{-1}$ . Предложенный вид потенц. ф-ции хорошо соответствует эксперим. данным по ИК- и микроволни. спектрам, полученным ранее.

$S(CH_3)_3$

1966

7 Б196. Микроволновой спектр, колебательно-вращательное взаимодействие и потенциальная функция неплоского колебания кольца триметиленсульфида. Harrington David O., Harrington Howard W., Luntz Alan C., Gwinn William D. Microwave spectrum, vibration-rotation interaction, and potential function for the ring-puckering vibration of trimethylene sulfide. «J. Chem. Phys.», 1966, 44, № 9, 3467—3480 (англ.)

Исследован микроволновой спектр триметиленсульфида (I) в области 8—36 кМгц. Получены данные как для основного, так и для первых 4 возбужденных состояний, соответствующих неплоскому колебанию кольца I. Из анализа возмущения вращательного спектра определено расщепление между двумя нижними колебательными уровнями: 8229 Мгц. На основе данных о наблюдавшихся смешанных колебательно-вращательных переходах

α. 1967. 7

для того же расщепления получено более точное значение  $8232,5 \pm 0,4$  Мгц. В соответствии с величиной колебательно-вращательного взаимодействия и с интенсивностью некоторых линий определена потенциальная функция для неплоского колебания I:  $7,0207 Q^4 - 87,7581 Q^2 \text{ см}^{-1}$ , где  $Q$  — координата, описывающая неплоское колебание. Высота барьера при прохождении плоской конфигурации цикла I:  $274,2 \pm 2 \text{ см}^{-1}$ . В соответствии с полученной потенциальной функцией был рассчитан спектр I в дальней ИК-области, который полностью совпал с соответствующим эксперим. спектром. Проведено сравнительное обсуждение конфигураций, высот барьеров и других данных для молекул I и trimetilenоксида.

Г. Кузьянц

(CH<sub>2</sub>)<sub>3</sub>S

1966

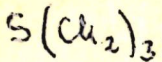
Врачаг.  
енсюф

12 Д299. Частоты неплоских ножничных колебаний триметиленсульфида из измерений интенсивностей в микроволновой области. Haggington Howard W. Out-of-plane bending frequencies in trimethylene sulfide from microwave intensity measurements. «J. Chem. Phys.», 1966, 44, № 9, 3481—3485 (англ.)

По измерениям интенсивностей вращательных переходов полосы X: 0<sub>00</sub>—1<sub>01</sub>, 6<sub>34</sub>—6<sub>33</sub> и 4<sub>23</sub>—4<sub>22</sub> определены разности энергий колебательных уровней неплоских ножничных колебаний кольца триметиленсульфида, равные соответственно 0, 141, 15 и 85  $\text{см}^{-1}$  для переходов 0—1, 1—2, 2—3 и 3—4. Ошибки определения составляют  $\pm 3 \text{ см}^{-1}$ . Попарное сближение уровней свидетельствует о наличии барьера для плоского строения кольца, причем еще уровень  $v=3$  лежит ниже барьера. Для триметиленсульфида барьер значительно выше, чем для триметиленоксида. Э. Броун

д. 1966. 128

1966



10 Б252. Определение частот неплоских колебаний триметиленсульфида из измерений интенсивности в микроволновом спектре. Haggington Howard W. Out-of-plane bending frequencies in trimethylene sulfide from microwave intensity measurements. «J. Chem. Phys.», 1966, 44, № 9, 3481—3485 (англ.)

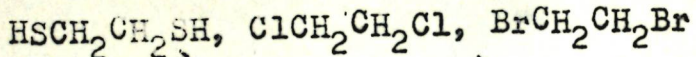
На основании измерений интенсивностей вращательных переходов  $0_{00}$ — $1_{01}$ ,  $6_{34}$ — $6_{33}$  и  $4_{23}$ — $4_{24}$  в микроволновом спектре триметиленсульфида найдены расстояния между четырьмя уровнями энергии, соответствующие неплоским колебаниям кольца. Эти расстояния равны 0, 141, 15 и  $85\text{ cm}^{-1}$  соотв. для переходов 0—1, 1—2, 2—3 и 3—4, что указывает на неплоскую конфигурацию кольца. Попарное сближение уровней обусловлено влиянием барьера, отвечающего плоской конфигурации кольца. Этот барьер достаточно высок.

И. Милевская

Х. 1967. 10

M-1459

1966



( V geopsm. )

Hayashi M., Shiro Y., Murata H.,

Bull. Chem. Soc. Japan, 1966, 39(1),

112-17

Vibrational assignment and rotational  
isomerism of propelmercaptan

J

CA., 1966, 64, N11, 15185f

1966

S(CH<sub>3</sub>)<sub>3</sub>  
CH<sub>3</sub>  
CH<sub>3</sub>

Out-of-plane bending frequencies in trimethylene sulfide from microwave intensity measurements. Howard W. Harrington (Microwave Div., Hewlett-Packard, Palo Alto, Calif.). *J. Chem. Phys.* 44(9), 3481-5(1966)(Eng). The first four out-of-plane ring-bending energy separations in trimethylene sulfide have been detd. from microwave intensity measurements on the  $0_{00}$ - $1_{01}$ ,  $6_{34}$ - $6_{33}$ , and  $4_{23}$ - $4_{22}$  rotational transitions in the X band. These sepns. are 0, 141, 15, and  $85\text{ cm}^{-1}$  for the  $0-1$ ,  $1-2$ ,  $2-3$ , and  $3-4$  transitions, resp., indicating a bent configuration for the ring. The uncertainty in these numbers is  $\sim \pm 3\text{ cm}^{-1}$ .

RCJQ

C.A. 1966. 65.1  
191h - 192a

1966

HSCH<sub>2</sub>CH<sub>2</sub>SH  
2 2  
(D:)

Vibrational assignment and rotational isomerism of propyl mercaptan. Michiro Hayashi, Yuji Shiro, and Hiromu Murata (Univ. Hiroshima). *Bull. Chem. Soc. Japan* 39(1), 112-17 (1966)(Eng); cf. following abstr. The ir and Raman spectra of *n*-PrSH have been measured. Vibrational assignments, made by comparison with the spectra of HSCH<sub>2</sub>CH<sub>2</sub>SH (I) and  $\beta$ -haloethyl mercaptan, are tabulated, and *G* and *T* refer to gauche and trans forms about the C-C bond. Normal vibration calcns. were carried out in a modified Urey-Bradley force field. The force consts. required were transferred from the sets obtained for I and propane. The av. difference between observed and calcd. values for 41 frequencies was only 1.9%. Two rotational isomers were observed in the gaseous and liquid states: the *TT* form, trans about both C-C and C-S bonds, and the higher-energy *GT* form, gauche about the C-C bond and trans about the C-S bond. The CH<sub>2</sub> H deformation frequencies of a no. of XCH<sub>2</sub>CH<sub>2</sub>Y mols. (X and Y are SH, MeS, Cl, Br, or CN) are listed and discussed.

A. Foxton

C.A. 1966 · 64 · 11  
15185 1g

1966

$\text{CS}(\text{SCH}_3)_2$

23 Б176. Спектроскопические исследования соединений с  $(\text{S}_{\text{II}})_2\text{CS}_1$ -группировкой. XI. Инфракрасный спектр диметилового эфира тритиоугольной кислоты. Кребс B., Мюллер A. Spektroskopische Untersuchungen an Verbindungen mit einer  $(\text{S}_{\text{II}})_2\text{CS}_1$  — Gruppierung. XI. Das Infrarotspektrum des Tri thiokohlensauredimethylesters. «Z. anorg. und allgem. Chem.», 1966, 348, № 1—2, 107—112  
(нем.; рез. англ.)

Исследован ИК-спектр  $\text{CS}(\text{SCH}_3)_2$  в области 4000—420  $\text{см}^{-1}$  для чистого в-ва, р-ров в  $\text{CCl}_4$  и суспензии в базелиновом масле. Проведено отнесение основных колебаний молекулы. Низкая симметрия молекулы и взаимодействие двух групп  $\text{CH}_3\text{S}$  не приводит, по-видимому,

x. 1964. 23

к расщеплению вырожденных колебаний метильных групп. К вал. кол. группы C=S. отнесена полоса  $1065 \text{ см}^{-1}$ . Присутствием в молекуле связи C=S объясняют высокие значения частот вал. кол. связей C—S: 810 и  $855 \text{ см}^{-1}$ . К пульсац. колебаниям тритиокарбонатной группы отнесена полоса в области  $500 \text{ см}^{-1}$ . Пред. ссобщ. см. РЖХим, 1966, 14Б130. Я. Кимельфельд

*CS(SCH<sub>3</sub>)<sub>2</sub>*

1966

80583t Spectroscopy of compounds with a (S<sub>II</sub>)<sub>2</sub>CS<sub>I</sub> group.

XI. Infrared spectra of dimethyl trithiocarbonate. B. Krebs

and A. Mueller (Univ. Goettingen, Ger.). *Z. Anorg. Allg.*

*Chem.* 348(1-2), 107-12(1966)(Ger); cf. *CA* 65, 10475b; 66,

23932g, 50479w. The ir spectrum of CS(SMe)<sub>2</sub> was measured

between 4000 and 420 cm.<sup>-1</sup>. The strong bands at 1420 and 1410

cm.<sup>-1</sup> were assigned to the Me asym. bending vibration ( $\delta$ ), and

the band at 1310 cm.<sup>-1</sup> to the Me sym. bending vibration. The

band at 955 cm.<sup>-1</sup> was assigned to the Me rocking vibration ( $\rho$ ).

No evidence was found for suppression of the vibrational degener-

ation as expected for the transition from the  $C_{3v}$  symmetry to  $C_s$

symmetry for a MeS group. The band 1065 cm.<sup>-1</sup> was assigned

to the stretching vibration  $\nu$  (C:S) and the bands 810 and 855

cm.<sup>-1</sup> to  $\nu$ (C-S). BTJG

C.A. 1967. 66. 18

C-S-H

сн. на 05.

Do

Керн Я.А.

1966

Chem. Revs., 1966,  
66, стр 465

Обзор.



(Cес. C-N-H) III

$\text{CH}_3\text{S-H}$

$\text{CH}_3\text{SO}_2-\text{CH}_3$

*C<sub>6</sub>H<sub>5</sub>SH*

1966

*copy right*

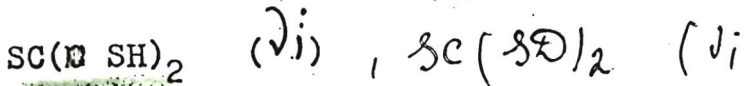
59182x Microwave spectrum of thiophenol. Kjell I. Johansson, Hans Oldeberg, and Hans Selen (Univ. Stockholm). Ark. Fys. 33(19), 313-15(1966)(Eng). The absorption spectrum of thiophenol in the vapor state is studied at room temp. in the microwave region 18.0-26.7 Gc. by using a Stark-effect-modulated spectrometer. A no. of *R*-lines connected with the *a*-component of the dipole moment are identified. The consts. obtained are:  $A = 5.5888 \text{ Gc.}$ ,  $B = 1.5777 \text{ Gc.}$ ,  $C = 1.2311 \text{ Gc.}$ ,  $I_a = 90.47 \text{ at. mass units A}^2$ ,  $I_b = 320.42 \text{ at. mass units A}^2$ ,  $I_c = 410.63 \text{ at mass units A}^2$ ,  $\chi = -0.8409$ . The inertia defect is within the limits of error, assuming a planar structure of the mol.

G. S. Singhal

C.A. 1967. 04. 12

M2087

1966



Mueller A., Krebs B., Gattow G.,

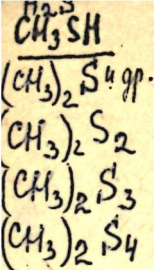
Z. anorgan. und allgem. Chem., 1966, 349(1-2)

74-81.



Spectroscopy of compounds with a  $(\text{S}_{\text{II}})_2\text{CS}_{\text{I}}$

group. XII. Ir spectra and Hueckel M.O.- calculation of  $\text{SC}(\text{SH})_2$  and  $\text{SC}(\text{SD})_2$  J CA, 1967



1966

7 583. Электронные спектры и структура соединений серы. Thompson S. D., Caggott D. G., Watson F., O'Donnell M., McGlynn S. P. Electronic spectra and structure of sulfur compounds. «J. Chem. Phys.», 1966, 45, № 5, 1367—1379 (англ.)

Исследованы электронные спектры поглощения сероводорода, метилмеркаптана, диметилсульфида, а также диметилдисульфида, диметилтрисульфида и диметилтетрасульфида в парообразном состоянии и в р-рах (область 1800—3700 Å). Сравнение эксперим. данных с расчетами энергетич. уровней методом Вольфсберга и Гельмгольца (Wolfsberg M., Helmholtz L., «J. Chem. Phys.», 1952, 20, 837) показало, что длинноволновая полоса соответствует переходу в состояние с участием 4s- или 3d-орбит атома серы. Увеличение числа атомов серы вызывает батохромное смещение длинноволновой полосы. Характер сдвигов полос под действием р-рителя дает основание считать, что дипольный момент молекул при возбуждении уменьшается. О. Свердлова

583 - 10001 - 49  
 АИ - НИИОМиР

90 · 1967 · 7

$\text{CH}_3\text{C}_6\text{H}_3\text{S}$

1967

22 Б203. Расчет и интерпретация колебательных спектров серусодержащих соединений. IV. Моноалкилзамещенные тиофена. Болотина Э. Н., Свердлов Л. М. «Ж. прикл. спектроскопии», 1967, 7, № 6, 870—873.

Проведен расчет частот и нормированных форм нормальных колебаний 2- и 3-метилтиофена. Дана интерпретация их колебательных спектров и установлены характеристические частоты дляmonoалкилзамещенных тиофена. Сообщ. III см. РЖХим, 1967, 17Б166.

Резюме

2. 1968 22

$\text{HC}\equiv\text{C}-\text{S}$

$\text{CH}_3$

1967

12 Д170. Микроволновый спектр, структура, дипольный момент и барьер внутреннего вращения метилмеркаптоацетиlena. Engelsen D. den. Microwave spectrum, structure, dipole moment, and barrier to internal rotation of methylthioethyne. «J. Molec. Spectrosc.», 1967, 22, № 4, 426—434 (англ.)

Исследованы микроволни. спектры молекул  $\text{HC}\equiv\text{C}-\text{S}^{32}\text{CH}_3$  (I) и  $\text{HC}\equiv\text{C}-\text{S}^{34}\text{CH}_3$  (II) в области 17,3—40,5 Ггц. Идентифицированы вращательные линии со значениями  $J$  вплоть до 15. Определены значения вращательных постоянных и пяти независимых постоянных центробежного растяжения. При определенных предположениях относительно длии связей C—H и C≡C найдены длины связей C—S ( $r_{\text{C-S}}=1,680 \text{ \AA}$ ) и S—C ( $r_{\text{S-C}}=1,815 \text{ \AA}$ ) и величина валентного угла C—S—C ( $101^\circ$ ). Отмечено, что величина угла в I на  $12^\circ$  меньше величи-

09.1967.12

ны угла С—О—С в метоксиацетилене. Путем измерений штарковского расщепления линий  $1_{01}$ — $2_{12}$ ,  $2_{02}$ — $3_{13}$  и  $3_{03}$ — $4_{14}$  определены значения компонентов дипольного момента I ( $\mu_a = 1,00 \pm 0,03$  и  $\mu_b = 1,36 \pm 0,005$  ед. Дебая). Измерены расщепления линий в возбужденном состоянии крутильного колебания и найдена величина барьера внутреннего вращения  $V_3 = 1740$  кал/моль, которая на 300 кал/моль выше величины барьера в метоксиацетилене.

М. Р. Алиев

$\text{HC}\equiv\text{C}-\text{S}-\text{CH}_3$

1967

120535n Microwave spectrum, structure, dipole moment, and barrier to internal rotation of methylthioethyne. D. den Engelsen (State Univ., Utrecht, Neth.). *J. Mol. Spectrosc.* 22(4), 426-34(1967)(Eng). The microwave absorption spectrum is reported as well as rotational consts., dipole moment components, and centrifugal distortion consts. of methylthioethyne. The spectra of two isotopic species of methylthioethyne were measured, namely,  $\text{HC:C}^{32}\text{SMe}$  and  $\text{HC:C}^{34}\text{SMe}$ ; the detn. of the mol. structure therefore implies some assumptions about certain bond lengths and bond angles. The potential barrier to the internal rotation of the Me group is derived from the observed doublet splittings.

RCKP

V<sub>0</sub>

сопротивления

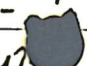
C.A 1967 66-26

$\text{CH}_2\text{OSiR}_3$

Kazee M.

1967

J. Japan Chem., 21, N 10,  
799.

исследование структур  
ионов с кетогене-  
тической парой звеньев  
лено -  ген. М. В. - для  
использования.  
( $\text{C}_2\text{H}_3)_2\text{S}$ )<sup>III</sup>

1967

M 2320

CH<sub>3</sub>CH<sub>2</sub>SH (cm<sup>-1</sup>γr.m. moner. noe.)

Imanov L.M., Gajar Ch.O., Abbasov A.A.

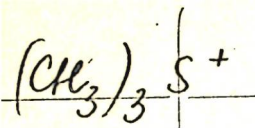
Phys. Letters, 1967, A24, N9, 485-456

Microwave Spectri, pf ethyl mercaptam.

PJF., 1967, 9D317

J





Коэппл Г. В., et al.

1887

J. Amer. Chem. Soc., 89, N<sup>o</sup> 14,  
3396.

Барьеры избирательности  
изодиэлектрических молекул  
вещества  $X\text{Y}_3$  и разделяющие  
их молекулы на две  
группы, одна из которых имеет  
заряд  $X\text{Y}$ . (см.  $\text{CH}_3^-$ )

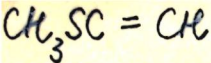
*CS<sub>3</sub>*

1984

112547y Electronic absorption spectra of compounds containing a CS<sub>3</sub>-group. A. Mueller and B. Krebs (Univ. Goettingen, Ger.). *Monatsh. Chem.* 98(4), 1540-4(1967)(Ger). The electron absorption spectra of Me<sub>2</sub>CS<sub>3</sub>, Et<sub>2</sub>CS<sub>3</sub>, ethylene trithiocarbonate, H<sub>2</sub>CS<sub>3</sub>, (CF<sub>3</sub>)<sub>2</sub>CS<sub>3</sub>, C<sub>2</sub>O<sub>2</sub>S<sub>3</sub>, and CS<sub>3</sub><sup>2-</sup> were compared and the observed absorption bands assigned. The comparison of the spectra with those of thioketones R<sub>2</sub>CS shows characteristic differences which can be used to identify the CS<sub>3</sub> group.

CLIG

C.A. 1987-67-24



1967

) 18 Б221. Инфракрасные спектры метилэтенилсульфида и метилэтенил-*d*-сульфида. Moritz A. G. The infra-red spectra of methyl ethynyl sulphide and methyl ethynyl-d sulphide. «Spectrochim. acta», 1967, A23, № 1, 167—173 (англ.)

Измерены ИК-спектры поглощения ( $3000$ — $300 \text{ см}^{-1}$ ) газообразных  $\text{CH}_3\text{SC}=\text{CH}$  и  $\text{CH}_3\text{SC}=\text{CD}$ . Сравнение со спектрами изоэлектронных им соединений  $\text{CH}_3-\text{SC}\equiv\text{N}$  и  $\text{CD}_3-\text{SC}\equiv\text{N}$  позволило провести отнесение ряда частот. Найдена линейная зависимость между частотами неплоских колебаний связей  $\equiv\text{C}-\text{H}$  и  $=\text{CH}_2$  групп для производных ацетилена и этилена строения  $\text{R}-\text{C}\equiv\text{CH}$  и  $\text{R}-\text{CH}=\text{CH}_2$ , где  $\text{R}-\text{CHO}$ ,  $\text{CN}$ ,  $\text{CH}_2\text{Cl}$ ,  $\text{CH}_2\text{Br}$ ,  $\text{CH}_2\text{J}$ ,  $\text{CH}_3$ ,  $\text{J}$ ,  $\text{Br}$ ,  $\text{CH}_2\text{OH}$ ,  $\text{C}_6\text{H}_5$ ,  $\text{Cl}$ ,  $\text{F}$ ,  $\text{CH}_3\text{S}$  и  $\text{CH}_3\text{O}$  (расположены в порядке уменьшения частоты  $\equiv\text{CH}$  от  $680$  до  $520 \text{ см}^{-1}$  и  $\text{CH}_2$  от  $970$  до  $820 \text{ см}^{-1}$ ).  
Н. С. Спасокукоцкий

Х. 1967. 18

~~CH<sub>3</sub>S + C≡CH~~

1967

~~CH<sub>3</sub>S~~

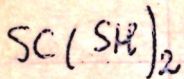
60442t The infrared spectra of methyl ethynyl sulfide and methyl ethynyl-d sulfide. A. G. Moritz (Defence Stds. Labs., Melbourne). *Spectrochim. Acta* 23A(1), 167-73(1967)(Eng). The ir spectra of gaseous MeSC:CH and MeSC:CD have been examd. between 3500 and 300 cm.<sup>-1</sup> The vibrational assignments are discussed and compared with the iso-electronic species MeSCN and CD<sub>3</sub>SCN. All the fundamental vibrations assocd. with the Me-[S] group, with the exception of the torsion vibration, have been observed at (species a') 3012, 2944, 1447, 1322, 982; (species a'') 3017, 1431 and 961 cm.<sup>-1</sup> A linear correlation is shown to exist between the frequencies of the out-of-plane :C—H

C.A. 1967. 66.14

deformation vibration of monosubstituted acetylenes, R—C≡C—H (or degenerate vibration in the case where R is axially sym.) and the CH<sub>2</sub> wagging frequency of the corresponding vinyl mol. R—CH=CH<sub>2</sub>. The wide range of :C—H deformation frequencies in these cases (520–680 cm.<sup>-1</sup>) appears to be related to the mesomeric effect of the substituents. 18 references.

RCSQ

1967



8 Б158. Спектроскопические исследования соединений с группировкой  $\text{CS'S''}_2$ . XII. Инфракрасные спектры и расчеты по методу молекулярных орбит  $\text{SC}(\text{SH})_2$  и  $\text{SC}(\text{SD})_2$ . Müller A., Krebs B., Gattow G. Spektroskopische Untersuchungen an Verbindungen mit einer  $\text{CS'S''}_2$ -Gruppierung. XII. Infrarotspektren und HMO-Rechnung von  $\text{SC}(\text{SH}_2)$  und  $\text{SC}(\text{SD})_2$ . «Z. anorgan. und allgem. Chem.», 1967, 349, № 1—2, 74—81 (нем.; рез. англ.)

Исследованы ИК-спектры жидкой и кристаллической тритиоугольной к-ты  $\text{SC}(\text{SH})_2$  (I) и  $\text{SC}(\text{SD})_2$  (II) в области  $4000—400 \text{ см}^{-1}$  и проведено отнесение полос на основании расчета нормальных колебаний. Снижение частоты  $\nu_{\text{CS}}$  с  $1115 \text{ см}^{-1}$  в II до  $1080 \text{ см}^{-1}$  в I указы-

т. 1968 : 8

вает на меньшее взаимодействие вал. кол.  $\nu_{CS}$  и  $\sigma_{CSH}$ . В ИК-спектрах кристаллич. I наблюдается расширение полос SH и CS при одновременном смещении в длинноволновую область ( $2400 \text{ см}^{-1}$  и  $1085 \text{ см}^{-1}$ ) за счет усиления водородных связей. С помощью метода MO в приближении Хюккеля для I рассчитаны порядки  $\pi$ -связей и плотности  $\pi$ -электронов, которые показали частичное выравнивание  $\pi$ -связей. Сообщ. XI см. РЖХим, 1967, 23Б176.

М. Дейчмейстер

*SC(SH)<sub>2</sub>*

*1987*

9 Д105. Спектроскопическое изучение связи в соединениях с  $CS^1S_2^{II}$ -группами. XII. ИК-спектры и расчеты методом МО Хюкеля молекул  $SC(SH)_2$  и  $SC(SD)_2$ . Müller A., Krebs B., Gattow G. Spektroskopische Untersuchungen an Verbindungen mit einer  $CS^1S_2^{II}$ -Gruppierung: XII. Infrarotspektren und HMO-Rechnung von  $SC(SH)_2$  und  $SC(SD)_2$ . «Z. anorgan. und allgem. Chem.», 1967, 349, № 1—2, 74—81 (нем.; рез. англ.)

Проведен анализ норм. колебаний молекул типа  $WX(YZ)_2$  с симметрией  $C_{2v}$ . Выполнено отнесение полос поглощения в ИК-спектре молекулы  $SC(SH)_2$ . Главные полосы поглощения отнесены к основным колебаниям молекулы. Спектры жидкой (при  $-10^\circ C$ ) и твердой фаз (при  $-100^\circ C$ ) снимались в области  $400—4000 \text{ см}^{-1}$ . Обращается внимание на тот факт, что  $SC(SH)_2$  медленно разлагается на  $H_2S$  и  $CS_2$ , и все спектры имеют полосу поглощения  $CS_2$  около  $1510 \text{ см}^{-1}$ . Обсуждается изменение

*09 · 1987 · 92*

ние спектров при переходе от жидкого к твердому состоянию и в зависимости от растворителей. Для надежности отнесения были использованы также спектры поглощения  $\text{SC}(\text{SD})_2$ . Методом МО Хюкеля рассчитаны  $\pi$ -порядки связей и  $\pi$ -электронные плотности для  $\text{SC}(\text{SH})_2$ . Даны приближенные средние амплитуды колебаний SH. Ч. XI см. Krebs B., Müller A. «Z. anorg allg. Chem.», 1966, 348, 107.

В. А. Морозов

C<sub>6</sub>H<sub>5</sub>SH

1967

Simpson K. O., Beynon &c.

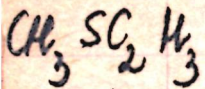
V.

J. Phys. Chem., 71, v9, 2796.

Определение заряда  
ионов юстировочного винта  
режущей вращающей, из  
мягкой пермитивной  
стали - наименее  
кости.

[см. C<sub>6</sub>H<sub>5</sub>(CH<sub>3</sub>)<sub>3</sub>] III

1967



6 Д477. Микроволновый спектр метилвинилсульфида.  
 Ренн R. E., Курл R. F., Jr. Microwave spectrum of  
 methyl vinyl sulfide. «J. Molec. Spectrosc.», 1967, 24, № 2,  
 235—243 (англ.)

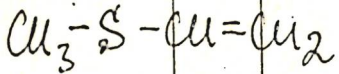
Исследован микроволн. спектр (8—40 Гц) молекулы  
 $\text{CH}_3\text{SC}_2\text{H}_3$  (I). Проведено отнесение дипольных переходов  $\sigma$ -типа в основном (0,0) и возбужденных (1,0) и (0,1) состояниях. Получены значения вращательных постоянных  $A$ ,  $B$  и  $C$  и моментов инерции для трех исследованных состояний. Исследовано штарковское расщепление и получены значения штарковских коэф. для пяти значений  $|M|$  четырех переходов основного состояния, а

окт. 1968. 68

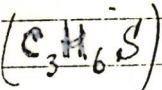
также следующие средние значения компонент дипольного момента  $\mu_a^2 = 0,0044$  (ед. Дебая)<sup>2</sup>,  $\mu_b^2 = 1,29$  (ед. Дебая)<sup>2</sup> и значение  $\mu = 1,14$  ед. Дебая. Сделан вывод, что I существует в виде *цис*-изомера. На основании *A—E*-расщепления, наблюдаемого для заторможенного вращения метильной группы ( $v=1$ ), получена величина барьера для внутреннего вращения  $3230 \pm 100$  кал/моль.

Библ. 14.

Э. В. Б.



1967

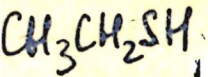


V  
O

7892e Microwave spectrum of methyl vinyl sulfide. R. E. Penn and R. F. Curl, Jr. (Rice Univ., Houston, Tex.). *J. Mol. Spectrosc.*, 24(2), 235-43(1967)(Eng). The microwave spectrum of  $\text{MeSCH:CH}_2$  has been studied in the region 8-40 GHz. and *b*-type dipole transitions of the ground and two excited vibrational states have been assigned. The rotational consts. of the ground state are consistent with the planar cis conformation. The Stark effects of four transitions in the ground state give av. dipole moment components of  $\mu_a^2 = 0.0044 \pm 0.0003$  (D.)<sup>2</sup>,  $\mu_b^2 = 1.286 \pm 0.010$  (D.)<sup>2</sup>, and  $\mu = 1.14 \pm 0.010$  D. Internal rotation *A-E* splittings observed for the  $v = 1$  methyl torsional state correspond to a barrier of  $3230 \pm 100$  cal./mole.

RCKP

C.A 1968: 68-2



1967

19 ДЗ17. Микроволновый спектр этилмеркаптана.  
Тманов Л. М., Qajag Ch. O., Abbasov A. A. Microwave spectrum of ethyl mercaptan. «Phys. Letters», 1967, A 24, № 9, 485—486 (англ.)

Л. В.  
спектр

С помощью спектрометра со штарковской модуляцией при  $-45^{\circ}\text{C}$  исследован микроволни спектр (18—33 Гц) молекулы CH3CH2SH. Отождествлены вращательные переходы  $P$ -,  $Q$ - и  $R$ -ветвей в основном колебательном состоянии. Из измерений эффекта Штарка на переходах  $2_{02}-2_{11}$  ( $M=2$ ) и  $3_{03}-3_{12}$  ( $M=2, 3$ ) определены общий дипольный момент  $\mu$  и его составляющие  $\mu_a$  и  $\mu_b$ , равные 1,52; 0,93; и 1,20 ед. Дебая соответственно;  $\mu$  составляет угол  $8^{\circ}40'$  с главной осью  $a$ . Найдены вращательные постоянные.

И. И. Брисова

09. 1967. 90

C<sub>6</sub>H<sub>5</sub>SH

omnibus nr 24  
Evanke Stockholm. univ.

1967

UIN:

Söder H.

gmina  
czyn

Acad. Dissertation,  
Stockholm, 1967.

Some spectroscopic investi-  
gations in the microwave  
region

$\text{CH}_3\text{-S}$

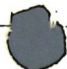
Becker H. J.

1968

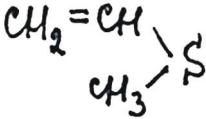
Fortschr. Chem. Forsch.,  
10, N1, 156

Слл. Noem.

Расчетное синтез пост-  
упенностей из колебаний  
спектров простых  
органических мол-д.



(Сл.  $\text{CH}_3\text{-O}$ ) III



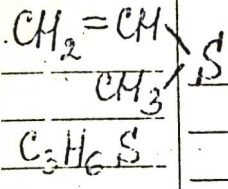
1968

I4316u Vibrational spectroscopic studies on vinyl methyl sulfide. Fabian, J.; Kroeber, H.; Mayer, R. (Tech. Univ. Dresden, Dresden, E. Ger.). *Spectrochim. Acta, Part A* 1968, 24(6), 727-36 (Ger). Ir spectra of methyl vinyl sulfide (I) was studied at 400-3300 cm.<sup>-1</sup> for vapor, liq., soln., and solid phases. The Raman spectrum and the polarization properties were also measured. A vibrational assignment is suggested. By measurement of the temp. dependence of ir absorption, I is shown to exist in 2 conformers. The s-cis-form is the more stable one.

RCSO

C.A. 1968. 69. 4

1968



11 Д294. Исследование колебательных спектров метилвинилсульфида. Fabian J., Kröber H., Mayer R. Schwingungsspektroskopische Untersuchungen an Methylvinylsulfid. «Spectrochim. acta», 1968, A24, № 6, 727—736 (нем.; рез. англ.)

Исследованы ИК-спектры газообразного, жидкого, растворенного и твердого метилвинилсульфида (**I**) в области 400—3300  $\text{cm}^{-1}$ . Получены спектры комб. рас. и измерены поляризационные свойства. Дано отнесение колебаний. При исследовании температурной зависимости ИК-поглощения установлено, что **I** существует в виде двух изомеров с более стабильной *s*-*cis*-формой.

09. 1968. 118

S-H-C.

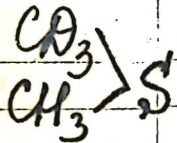
606 | 1968

Donald W. Scott,  
M. Zaki El-Sabban.

(Ctd.  
nover.)

"American Petroleum  
Institute Research Project 62"

1968

 $\nu_i$ 

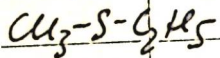
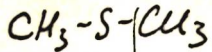
ЗД161. Групповые колебания и анализ колебаний молекул, содержащих группу  $\text{CD}_3$ . Freeman J. M. Henshall T. Group vibrations and the vibrational analysis of molecules containing the  $\text{CD}_3$  group. «Canad. J. Chem.», 1968, 46, № 12, 2175—2178 (англ.)

Составлена программа для расчета норм. колебаний молекул методом групповых колебаний. Этим методом вычислены частоты групповых и скелетных колебаний  $\text{CD}_3\text{Cl}$ , диметилселенида- $d_6$ ,  $\alpha\alpha\alpha$ - $d_3$ -диметилсульфида и исправлено отнесение ряда полос этих молекул. Дано приближенное отнесение колебаний по их форме.

М. Р. Алиев

+2

X



и др.

см. на

обоюде

(g)

1968

14 Б76. Потенциалы ионизации сульфидов. Хвостенко В. И., Фурлей И. И. «Ж. физ. химии», 1968, 42, № 1, 13—16

Методом электронного удара определены потенциалы ионизации 8 алифатических сульфидов. Для монокинетизации электронов использовался метод разностей задерживающих потенциалов, что позволило сузить разброс электронов по энергиям до 0,1 эв. Применением простого метода МО были вычислены потенциалы ионизации исследованных молекул. Кроме этого, потенциалы ионизации были рассчитаны на основе электростатической поляризационной модели. Сравнение экспериментальных данных с расчетными показало, что электростатическая поляризационная модель лучше отражает изменение ионизационных потенциалов в гомологическом ряду алифатических сульфидов, чем простой метод МО. Резюме

д. 1968

74

C-S-C

C-S-C-C

C-C-S-C-C

C-C-C-S-C-C-C

C-C-C-C-S-C-C-C-C

C-C-C-S-C-C-C-

C-C-C-S-C-C-C  
C C

C-C-S-C-C  
C C

CH3SCH3 (y) C2H5SC2H5 1988

108044

Ionization potentials for sulfides. V. I. Khvostenko  
and I. I. Furlei (Bashkir. Gos. Univ., Ufa, USSR). *Zh.*

*Fiz. Khim.* 42(1), 13-16(1968)(Russ). The ionization poten-  
tials for 8 aliphatic sulfides were detd. exptl. by the electron  
impact method, and were calcd. both by a semiempirical M.O.  
method and by considering electrostatic polarization models.  
The 2nd method of calcn. mentioned corresponds more closely  
to exptl. results than does the 1st. For RSR': R, R', and three  
values are, resp.: Me, Me, 8.77, 8.78, 8.77; Et, Et, 8.56, 8.56,  
8.56; Et, Pr, 8.50, 8.545, 8.495; Pr, Pr, 8.45, 8.54, 8.43; Bu,  
Bu, 8.40, 8.536, 8.38; Pr, iso-Bu, 8.40, 8.516, 8.365; iso-Bu,  
iso-Bu, 8.36, 8.514, 8.30; iso-Pr, iso-Pr, 8.38, 8.354, 8.35.

J. P. Danehy

C.A. 1988.

68: 24

90321.1053

Ch

 $\text{CH}_3 \text{S}^+$ 

(1/2)

30731

1969

БИ-8139-XIV

Amos D., Gillis R.G., Occolowitz J.L.,

Pisani J.F. The ions  $[\text{CH}_3\text{S}]^+$ ,  $[\text{C}_2\text{H}_5\text{S}]^+$ and  $[\text{CH}_3\overset{\text{O}}{\text{S}}]^{2+}$  formed by electron-impact.

"Org. Mass Spectrom.", 1969, 2, N2, 209-212

(англ.)

100 ГГц

986 987 993

ВИНИТИ

1969

(Cu<sub>3</sub>)<sub>2</sub>S<sub>3</sub>

y

Cullen N.R. UGP.

Inorgan. Chem.,

1969, 8, n8, 1803



[cu. (Cu<sub>3</sub>)<sub>2</sub>S]<sup>III</sup>

1969

 $\text{HC} \equiv \text{CS'}$  |  $\text{CH}_3$ 

XIV-1324

З Б232. Молекулярная структура и центробежное растяжение для метилтиоэтана. Engelsen D. den.  
 Molecular structure and centrifugal distortion in methylthioethyne. «J. Molec. Spectrosc.», 1969, 30, № 3, 474—484  
 (англ.)

В области 17 000—40 000  $M\text{гц}$  исследованы вращательные спектры изотопозамещенных молекул метилтиоацетиlena  $\text{DC} \equiv \text{CSCH}_3$  (I),  $\text{HC} \equiv \text{CSC}^{13}\text{H}_3$  (II), сим- $\text{HC} \equiv \text{CSCDH}_2$  (III) и асим.— $\text{HC} \equiv \text{CSCDH}_2$  (IV). Приведены значения вращательных постоянных и постоянных центробежного растяжения I—IV, а также молекул  $\text{HC} \equiv \text{CSCH}_3$  (V) и  $\text{HC} \equiv \text{CS}^{34}\text{CH}_3$  (VI), вращательные спектры к-рых исследованы ранее. Уточнено значение дипольного момента  $\mu = 1,59 \pm 0,05$   $D$  молекулы метилтио-

суп-рамои-львX. 1970. 3

ацетиlena. Приведены определенные межатомные расстояния и углы в молекуле метилтиоацетиlena:  $r \text{HC}_1$  (при тройной связи) =  $1,061 \pm 0,006$ ,  $r \text{C}_1 \equiv \text{C}_2 = 1,205 \pm 0,007$ ,  $r \text{CS}$  (при тройной связи) =  $1,685 \pm 0,005$ ,  $r \text{SC}_{\text{мет}} = 1,813 \pm 0,002$ ,  $r \text{C}_{\text{мет}} \text{H}_1 = 1,079 \pm 0,007$ ,  $r \text{C}_{\text{мет}} \text{H}_{(2)\text{мет}} = 1,090 \pm 0,005 \text{ \AA}$ ,  $\angle \text{H}_{(1)\text{мет}} \text{C}_{\text{мет}} \text{H}_{(2)\text{мет}} = 109^{\circ}52' \pm 20'$ ,  $\angle \text{C}_{\text{мет}} \text{SC}_2 = 99^{\circ}55' \pm 10'$ ,  $\angle \text{C}_{(1)} \text{C}_{(2)} \text{S} = 182^{\circ} \pm 20'$ , приято, что  $\angle \text{HC}_{(1)} \text{C}_{(2)} = 180^{\circ}$ . Из проведенного анализа следует, что ось симметрии метильной группы имеет «наклон» в  $2-3^{\circ}$  в направлении неподеленной пары электронов атома S.

А. Александров

XIV-1324

1969

HC:CSCH<sub>3</sub>

3

8227r Molecular structure and centrifugal distortion in methylthioethyne. Den Engelsen, D. (State Univ. Utrecht, Utrecht, Neth.). *J. Mol. Spectrosc.* 1969, 30(3), 474-84 (Eng). The microwave spectra of 5 isotopic species of methylthioethyne, HC:CSMe enabled a fairly reliable calen. to be made of bond lengths and angles. The centrifugal distortion parameters are related to mol. vibrations.

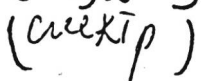
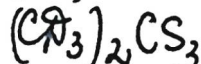
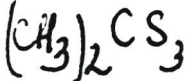
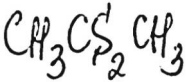
RCKP

M.b. curren

p

C.A. 1969

H. 2



# C-S-H(8)

1969

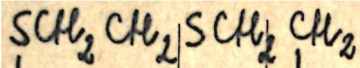
12 Д358. ИК-спектры и спектры комбинационного рассеяния метилового эфира дитиоуксусной кислоты и диметилтритиокарбоната. Herzog K., Steger E., Rosmus P., Scheithauer S., Mayer R. Die IR- und Raman-Spektren des Dithioessigsäure-methylesters und des Dimethyltrithiocarbonats. «J. Molec. Struct.», 1969, 3, № 4—5, 339—350 (нем.; рез. англ.)

Изучены ИК-спектры и спектры комб. рас.  $\text{CH}_3\text{CS}_2\text{CH}_3$  (I)  $(\text{CH}_3)_2\text{CS}_3$  (II) и  $(\text{CD}_3)_2\text{CS}_3$  (III). Проведено отнесение частот на основании предположения о возможном существовании двух или трех конформаций исследованных соединений. Так, I предположительно существует в виде *s-цик*-конформации. Результаты исследования влияния растворителя на ИК-спектры II и III, измерений спектров твердой фазы и значений



оп. 1969. 128

дипольных моментов показали, что оба вращательных изомера, как I, так и II, существуют при комнатной т-ре. Найдено, что наиболее стабильной являются *s-цис*, *s-цис*-конформации. Сделан вывод, что при рассмотрении частоты  $\nu$  ( $C(sp^2)$ —S) необходимо учитывать, что она подвержена довольно сильному возмущению в четырехатомном скелете групп  $CS_3$  или  $CS_2C$ . Библ. 33. Резюме



C - H - S

1969

2 Д367. Колебательные спектры 1,4-дитиана и 1,3,5-тритиана. Klaboe P. The vibrational spectra of 1,4-dithiane and 1,3,5-trithiane. «Spectrochim. acta», 1969, A 25, № 8, 1437—1447 (англ.)

Исследованы ИК-спектры 1,4-дитиана (I) в области 5000—200 см<sup>-1</sup> в парообразном состоянии при 150°, в твердом состоянии и в различных растворителях. Также изучены поляризованные спектры комб. рас. I (в твердом состоянии и в растворе). Получены ИК-спектры и спектры комб. рас. 1,3,5-тритиана (II) в кристаллическом состоянии и в виде расплава при 220°. Вычислены факторы деполяризации для сильных полос комб. рас. для случая расплава. Наиболее сильные ИК-полосы наблюдались для парообразного состояния при 230°, а также в случае раствора. Дано отнесение основных колебаний молекул I и II. Ббл. 25.

Резюме

Клабоу.  
Синегир

09.1970. 28

1969

S(CH<sub>3</sub>)<sub>2</sub>

UR - CUEKJ

26168b Infrared spectra of 1,3- and 1,4-dithane and penta-methylene sulfide. Hitch, M. J.; Ross, Sidney David (Chelsea Coll. Sci. Technol., London, Engl.). *Spectrochim. Acta, Part A* 1969, 25(6), 1041-6 (Eng). The ir spectra of these compds. have been studied in the region 4000-40 cm.<sup>-1</sup>, and vibrational assignments made. For 1,4-dithiane, a factor group anal., and a normal coordinate anal. of the ring vibrations, has been carried out.

RCSQ

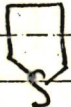
Vi

C.A. 1969. 71.6

$C_4SHg$

C-S-H

1969



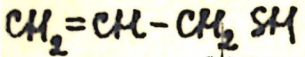
ll. n.

16 Б79. Исследования молекул с пятичленными кольцами. IV. Расчет конформационных энергий и электронографическое исследование газообразного тетрагидротиофена. Náhlovská Z., Náhlovský B., Seip H. M. Studies on molecules with five-membered rings. IV. Calculation of conformational energies and electron diffraction investigation of gaseous tetrahydrothiophene. «Acta chem. scand.», 1969, 23, № 110, 3534—3540 (англ.)

Электронографическим методом изучена молекула тетрагидротиофена в газообразной фазе и при помощи метода Вестхеймера—Гендрикsona рассчитаны энергии ее конформаций. Расчет показал, что конформация симметрии  $C_2$  на 1,96—3,03 ккал/моль стабильнее конформации

симметрии  $C_s$ . Электронографич. данные подтвердили этот вывод. Найдены след. значения межъядерных расстояний (A), среднеквадратичных амплитуд колебаний (в скобках, A), валентных и торзионных ( $\Phi$ ) углов:  $r(S-C) = 1,839 \pm 0,002$  (0,058  $\pm$  0,002),  $r(C-C) = 1,536 \pm 0,002$  (0,053  $\pm$  0,002),  $r(C-H) = 1,120 \pm 0,005$  (0,079  $\pm$  0,004),  $SCS = 93,4 \pm 0,5^\circ$ ,  $SCC = 106,1 \pm 0,4^\circ$ ,  $CCC = 105,0 \pm 0,5^\circ$ ,  $HCH = 107,5 \pm 2,6^\circ$ ,  $\Phi(S_1-C_2) = 14,8 \pm 0,5^\circ$ ,  $\Phi(C_2-C_3) = -40,4 \pm 1,2^\circ$ ,  $\Phi(C_3-C_4) = 52,5 \pm 1,6^\circ$ . Найденные значения углов хорошо согласуются с вычисленными. Сообщ. III см. пред. реферат.

В. Спиридонов



1969

44138W Microwave spectrum, dipole moment, and molecular structure of allyl mercaptan. Sastry, K. V. L. N.; Dass, S. C.; Brooks, Wendell V. F.; Bhaumik, A. (Univ. New Brunswick, Fredericton, New Brunswick). *J. Mol. Spectrosc.* 1969, 31(1), 54-65 (Eng). The microwave spectra of normal and deuterated allyl mercaptan ( $\text{CH}_2:\text{CHCH}_2\text{SH}$  and  $\text{CH}_2:\text{CHCH}_2\text{SD}$ ) were studied in the region from 8 to 33 GHz. About 160 lines have been assigned to the ground and the excited vibrational states of the gauche form of the mol. The rotational consts. of the ground vibrational state of the normal species are  $A = 20041.68$ ,  $B = 2795.72$ ,  $C = 2701.10$  and those of deuterated species are  $A = 18540.30$ ,  $B = 2774.35$ ,  $C = 2662.71$  MHz. The Stark effect measurements gave the components of the mol. dipole moment of the normal mol. as  $\mu_a = 1.24$ ,  $\mu_b = 0.21$ ,  $\mu_c = 0.42$ , and total moment  $\mu_t = 1.33$ ; and  $\mu_a = 1.27$ ,  $\mu_b = 0.19$ ,  $\mu_c = 0.40$ , and  $\mu_t = 1.34$  D. for the deuterated species. Kraitchman's equations were used to calc. the position of the thiol H atom. RCKP

C.A. 1969. 71.10

1969

(CH<sub>2</sub>)<sub>3</sub>S  
23

23 Б172. Электронный спектр триметиленсульфида.  
Whiteside J. A. B., Warsop P. A. The electronic spectrum of trimethylene sulfide. «J. Molec. Spectrosc.», 1969, 29, № 1, 1—12 (англ.)

(у)

Получен электронный спектр триметиленсульфида в ближней и вакуумной УФ-области. Колебательный анализ электронного перехода при 2260 Å показывает, что основное состояние является нелинейным, а возбужденное — линейным. За исключением перехода при 1818 Å, все другие электронные переходы приводят к нелинейным возбужденным состояниям. Две ридберговские серии приводят к потенциалу ионизации, равному 8,65 эв. Т. к. ридберговы состояния нелинейны, основное состояние иона (CH<sub>2</sub>)<sub>3</sub>S<sup>+</sup> также нелинейно. Построена диаграмма корреляции для H<sub>2</sub>S и по ней предсказаны формы состояний (CH<sub>2</sub>)<sub>3</sub>S. Предсказанные и наблюдаемые формы согласуются.

Н. Кузьменко

X·1969·23

C-H-S

Donald W. Scott,  
M. Zaki El-Sabban

690

cur.  
no cur.

„Bartlesville Petroleum  
Research Center, Bureau of  
mines, United States ...

.... Oklahoma 74003.

„For publication in J. Mol. Spectros.“

1970

$C_2H_5S$

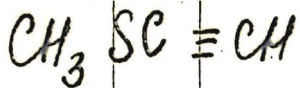
Академ Н.Е. УГР

у

13

Ходение по соколам  
и ястребам, АС ССР, Н, 1970,  
спис

( $C_2H_5S$ )<sup>III</sup>



XIV-1240

1970

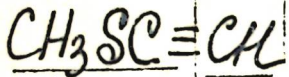
2Д409. ИК-спектры и силовое поле метилтиоэтинна.

Christensen D. H., Engelsen D. den. Infrared spectrum and force field of methylthioethyne. «Spectrochim. acta», 1970, A 26, № 8, 1747—1751 (англ.)

Получены спектры в далекой ИК-области ( $400-50 \text{ см}^{-1}$ ) метилтиоэтинна ( $\text{CH}_3\text{SC}\equiv\text{CH}$ ) (I) в парообразном состоянии и в растворе. Также получены ИК-спектры I в кристаллич. состоянии при т-ре жидкого азота в области  $4000-400 \text{ см}^{-1}$ . При помощи упрощенного силового поля вычислены силовые постоянные молекулы I. Дано отнесение колебаний. Библ. 13. Резюме

исп. исп

09. 1971. 29



XIV-1240

1970

93073w Infrared spectrum and force field of (methylthio)-ethyne. Christensen, Daniel H.; Den Engelsen, D. (Chem. Lab. V, Univ. Copenhagen, Copenhagen, Den.). *Spectrochim. Acta, Part A* 1970, 26(8), 1747-51 (Eng). The far-ir spectrum ( $400\text{--}50\text{ cm}^{-1}$ ) of (methylthio)ethyne, ( $\text{MeSC:CH}$ ), was recorded in both the vapor phase and in solns.; 2 absorption bands were found in this frequency range. Also, the ir spectrum of the

cryst. compd. at liq. N temp. was recorded from 4000 to 400  $\text{cm}^{-1}$ . The assignment of the fundamental frequencies made by Moritz could be completed and a simplified force field was proposed.

RCSQ

C.A. 1970 43:18

XIV-1654

1871

$\text{CH}_3\text{CSS}^-$

2 Б302. Предварительное отнесение фундаментальных колебаний тио- и селенокарбоксилатов. I. Дитио-ацетат-ион. Jensen K. A., Mygind H., Nielsen P. H., Borg G. Tentative assignment of fundamental vibrations of thio- and Selenocarboxylates. I. The dithioacetate ion. «Acta chem. scand.», 1970, 24, № 4, 1492—1495 (англ.)

Измерены ИК-спектры дитиоацетата свинца и его тридейтеропроизводного в тв. состоянии в области  $4000-40 \text{ см}^{-1}$  и спектры КР водн. р-ра дитиоацетата натрия. Предложено отнесение колебаний для иона дитиоацетата, исходя из симметрии  $C_{2v}$ , и произведен анализ нормальных колебаний, включая неплоское деф. кол. CSS. К веерным, деформац. и маятн. кол. группы CSS отнесены полосы:  $464$ ,  $372$  и  $348 \text{ см}^{-1}$  для  $\text{CH}_3\text{CSS}^-$

и  $421$ ,  $368$  и  $314 \text{ см}^{-1}$  для  $\text{CD}_3\text{CSS}^-$  соответственно.

Е. Разумова

X. 1971. 9

CH<sub>3</sub> CSS<sup>-</sup>

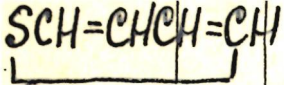
XIV-1654

1970

93068y) Tentative assignment of fundamental vibrations of thio- and selenocarboxylates. I. Dithioacetate ion. Jensen, Kai A.; Mygind, H.; Nielsen, P. H.; Borch, G. (Chem. Lab. II, Univ. Copenhagen, Copenhagen, Den.). *Acta Chem. Scand.* 1970, 24(4), 1492-5 (Eng). Assignments of the fundamental vibrations of MeCSS<sup>-</sup> were made on the basis of a generalized valence force field normal coordinate anal. of the ir and Raman spectra (40-4000 cm<sup>-1</sup>) of Pb(MeCSS)<sub>2</sub> and Pb(CD<sub>3</sub>CSS)<sub>2</sub>. Force consts. are tabulated. NaMeCSS and Pb(MeCSS)<sub>2</sub> are probably both ionic since the ir spectra 700-4000 cm<sup>-1</sup> of the solids are identical. The wagging, deformation, and rocking frequencies of the CSS group are at 464, 372, and 348 cm<sup>-1</sup>, resp., in MeCSS<sup>-</sup> and at 421, 368, and 314 cm<sup>-1</sup>, resp., in CD<sub>3</sub>CSS<sup>-</sup>.

FBIN

C.A. 1970 23.18



(CH3)2CS

et al.

cup-pa

C-S-H

1970

Julg et al.

Theor. Chem. Acta,

1970, 17, 1, 49.

(Cu.  $SO_4$ )  $\bar{III}$

1970

C-S-H

8 Б156. Определение молекулярной структуры с использованием инфракрасной спектроскопии и вычислительных машин (на примере диалкилсульфидов). Hořák M., Pitrová J., Reřicha R., Horák V. Molecular structure diagnosis with the use of infrared spectroscopy and computer applied to dialkyl sulphides. «Collect. Czech. Chem. Commun.», 1970, 35, № 11, 3223—3229 (англ.)

степ-ра

Рассмотрены вопросы эмпирич. определения структуры орг. соединений на основе данных по их ИК-спектрам с использованием ЭВМ для обработки данных. На примере диалкилсульфидов рассмотрены принципы построения программы и выбора величин дисперсий для частот. Применимость метода продемонстрирована на примере машинного анализа спектра изобутил-трет-бутилсульфида.

Ю. В. Киссин

Х. 1971. 8

1970

CH<sub>2</sub>DSH

CH<sub>2</sub>SH

2

M. N.

5 Д356. Влияние колебания и молекулярной структуры на внутреннее вращение CH<sub>2</sub>DSH и CHD<sub>2</sub>SH.  
Кнорр John V., Daniel Donald D., Quade C. R. Some effects of vibration and molecular structure on internal rotation in CH<sub>2</sub>DSH and CHD<sub>2</sub>SH. «J. Chem. Phys.», 1970, 53, № 11, 4352—4355 (англ.)

Отождествлены линии  $J=1 \leftarrow 0$ ,  $\Delta K=0$  в микроволнико-вращательных спектрах частично дейтерированных меркаптанов. Анализ тонкой структуры переходов для основного крутильного состояния дан на основе исследования внутреннего вращения и молекулярной структуры. Получены границы значения  $V_1$ , равные  $1,5 \text{ см}^{-1} \leq |V_1| \leq 10 \text{ см}^{-1}$ . Получено значение наклона C—S к метильной оси,  $\theta = 3^{\circ}5'$ .

1971. 50

CH<sub>2</sub>DSH

1925

CH<sub>2</sub>SH

8 Б184. Проявление некоторых эффектов колебаний и молекулярной структуры на внутреннем вращении в CH<sub>2</sub>DSH и CHD<sub>2</sub>SH. Knorr John V., Daniel Donald D., Quade C. R. Some effects of vibration and molecular structure on internal rotation in CH<sub>2</sub>DSH and CHD<sub>2</sub>SH. «J. Chem. Phys.», 1970, 53, № 11, 4352—4355  
(англ.)

Отнесены линии вращательного перехода  $J=1 \leftarrow 0$ ,  $\Delta K=0$  в основном  $n=0$  и нескольких возбужденных ( $1 \leq n \leq 3$ ) крутильных состояниях молекул CH<sub>2</sub>DSH и CHD<sub>2</sub>SH в области 21 876—23 600 Мгц. Проведен анализ

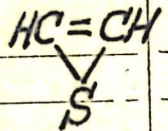
M. N.

X · 1921 · 8

тонкой структуры переходов крутильного основного состояния с учетом внутреннего вращения и молек. структуры. Для учета относит. расщеплений в результате взаимодействия внутреннего вращения с колебаниями в выражение эффективной потенциальной энергии оказалось необходимым ввести член  $V_1 \cos \alpha$ . Для  $V_1$  удалось определить только верхнюю и нижнюю границу значений  $1,5 \text{ см}^{-1} \leq |V_1| \leq 10 \text{ см}^{-1}$ . Из дублетного расщепления МВ-линий удалось определить уточненное значение угла наклона связи C—S  $3,5^\circ$  к оси метильной группы, к-рое может быть сопоставлено с лит. значением  $2^\circ \pm 30'$  (РЖХим, 1958, № 9, 27637). Найдено, что минимум потенциальной энергии  $V = \frac{1}{2} V_3 (1 - \cos 3\alpha)$  соответствует шахматной конфигурации для ориентации метил-тиол.

По резюме

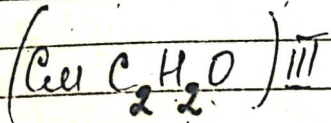
1970

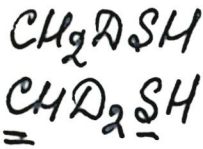


Le Breeman Jacques

C. R. Acad. Sci., 1970,

ULL - cuertp 270, n 12, B 801





Walker G. Y.,  
Quade C. L.

1970

romerus.  
mepuis  
teggs. sp.

J. Chem. Phys., 1970,  
52, ~ 12, 6427



[Cu C-D(H)-O]<sub>III</sub>

C-S-H соед

1970

ИК-спектр

12 Д346. Определение основности некоторых виниловых эфиров и винилсульфидов методом инфракрасной спектроскопии. Шергина Н. И., Косицына Э. И., Атавин А. С., Гусаров А. В., Трофимов Б. А. «Ж. прикл. спектроскопии», 1970, 13, № 1, 170—173

При помощи ИК-спектров проведено сравнительное исследование основности атомов кислорода и серы в виниловых эфирах и сульфидах общего строения  $\text{CH}_2=\text{CHXR}$  ( $X=\text{O}, \text{S}$ ) в зависимости от природы заместителя R. На примере 14 соединений показано, что атом кислорода, как правило, обладает более основными свойствами, чем сера.

Автореферат

09. 1970 · 129

(H)

(A)

$\text{CH}_3\text{SCD}_3$  (2) Kpenburg Y.W.

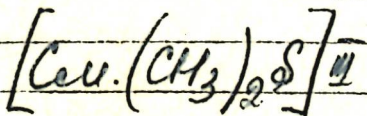
1971

Gerdings H.

7i

Rec. trav. chim.,

1941, 90, n<sup>o</sup> 8, 885



$(CH_2)_3S_2$

$(CH_2)_4S_2$

XIV-414

1971

18 Б32. Электронное строение соединений, содержащих неподеленные электронные пары. II. Дисульфиды и ацилтиол. Yamabe Hiroko, Kato Hiroshi, Yonezawa Teijiro. Electronic structure of lone-pairs. II. Disulfides and acyl thiol. «Bull. Chem. Soc. Jap.», 1971, 44, № 3, 604—610 (англ.)

С целью изучения взаимодействия неподеленных электронных пар группы S—S в связи с исследованием восстановительного разрыва связи S—S полуэмпирич. методом ССП МО ЛКАО с учетом всех валентных электронов в приближении НДП рассчитаны триметилендисульфид  $(CH_2)_3S_2$ , тетраметилендисульфид  $(CH_2)_4S_2$  и диметилдисульфид  $(CH_3)_2S_2$ . В соответствии с экспериментом, минимуму энергии  $(CH_3)_2S_2$  отвечает диэдрич. угол  $90^\circ$ . Рассчитанные характеристики электронных

х.  
стр-ие

+

X. 1971. 18



+3



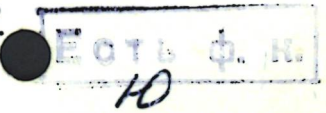
переходов согласуются с экспериментом. Наблюдаемое поглощение в области 250—300 нм согласно расчетным данным следует отнести за счет  $n-\sigma^*$ -переходов. Парциальный порядок S—S-связи для низшей вакантной орбитали имеет большую и отрицат. величину, его абс. величина увеличивается с возрастанием диэдрич. угла от 0 до  $90^\circ$ , что в соответствии с экспериментом, предсказывает увеличение легкости раскрытия кольца под действием нуклеофильных реагентов в ряду: пятичленное кольцо > шестичленное кольцо > семичленное кольцо. Расширенным методом Хюккеля рассчитаны также диметилдисульфид, метилдисульфид  $\text{CH}_3\text{SSH}$ ,  $\text{CH}_3\text{SCOCH}_3$ . Установлена возможность взаимодействия между двумя молекулами  $\text{R}_2\text{S}_2$ , при образовании связи используется высшая занятая орбиталь одной молекулы и нижняя вакантная орбиталь другой. Обсуждается реакц. способность арилгидросульфида  $\text{ArSSH}$  по отношению к действию различных анионов. Показано, что атака катионами  $\text{CH}_3\text{SCOCH}_3$  должна протекать по неподеленной паре атома S, анионная атака должна протекать по атому C(2). Ч. I см. РЖХим. 1969, 15Б44. Е. Борисов

XIV -572

1977

$(CH_3)_2 SH$ ,  $B(SCH_3)_3$ ,  $(CH_3)_2 BSB(CH_3)_2$ ,  
 $(CH_3)_2 B(SCH_3)_2$ ,  $(CH_3)_2 BS(CH_3)_2$   
(Yi, *ent. recd.*)

Vahrenkamp H.,  
J. Organometallic Chem., 1971,  
28, N2, 181-192



$\text{CH}_3\text{SD}_3$

1971

Ypenburg, J. W.;  
Gerding, H.

(Vi)

"Recl. Trav. Chim. Pays-Bas."  
1971, 90, N8, 885-95.

●  $[\text{Cu}(\text{CH}_3)_2\text{S}; \text{III}]$

C-H-S

13 Б90. Неподеленная пара электронов в органических сульфидах и дисульфидах. Bock Hans, Wagner Gert Gettigat d. «Einsame» Elektronenpaare in organischen Sulfiden und Disulfiden. «Angew. Chem.», 1972, 84, № 3, 1119—120 (нем.) 1972

Обсуждены факторы, влияющие на изменения в рядах орг. сульфидов и дисульфидов первых вертикальных потенциалов ионизации (ПИ), связанных с отщеплением несвязывающего электрона из неподеленной пары у атома S. Введение любого заместителя в молекулу  $H_2S$  должно приводить к делокализации неподеленной пары электронов  $n_S$  и, следовательно, понижению ПИ. В сульфидах RSR ( $R = Me, Et, Pr, CHMe_2, CMe_3$ ) алкильные группы понижают ПИ по сравнению с  $H_2S$  и  $MeSH$  из-за их индуктивного донорного действия и смешивания  $n_S$ -МО с разрыхляющей МО  $\sigma(CN)$ . ПИ RSR уменьшается с ростом длины алкильной цепи R или степени ее разветвления. В дитиаалканах про-

X. 1972. 13

пространственное обменное взаимодействие электронов неподеленных пар в атомах S приводит к расщеплению полосы  $n_S = \text{MO}$  в фотоэлектронном спектре. При постоянстве расстояния  $S \dots S$  в RSSR ( $R = \text{Me, Et, Pr, CHMe}_2$  или  $\text{CMe}_3$ ) и в  $\overline{|S-S-(CH_2)_4|}$  величина расщепления определяется копланарностью  $n_S = \text{MO}$  для обоих атомов S. При их копланарности ( $\omega = 0^\circ$ ) расщепление по оценке должно превышать 2 эв, а при  $\omega = 84,7^\circ$  ( $R = \text{Me}$ ) оно составляет 0,24 эв. При введении между атомами S алкильных групп вместо пространственного обменного взаимодействия играет роль взаимодействие через хим. связи с участием  $\sigma$ -МО той же симметрии. Расщепление достигает при этом в  $\text{MeSCH}_2\text{SMe}$ ,  $\text{MeS-(CH}_2)_2\text{SMe}$ ,  $\overline{|-\text{SCH}_2\text{S}(\text{CH}_2)_3-|}$ ,  $\overline{|-\text{S}(\text{CH}_2)_2\text{S}(\text{CH}_2)_2-|}$ ,  $\overline{|-\text{SC}-\text{Cl}_2\text{SCCl}_2|}$  0,25—0,49 эв. Сопряжение  $n_S$ -электронов заместителя в метилтионопр-ных соединений с двойными связями и ароматич. группами также приводит к понижению ПИ.

$C_2F_4S_2$

1973

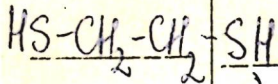
18 Б172. Колебательные спектры и структура соединений с малыми циклами: колебательный анализ газообразного и поликристаллического тетрафтор-1,3-дитиэтана. Haggis W. C., Nuegberg A. Vibrational spectra and structure of small ring compounds: vibrational analysis of gaseous and polycrystalline tetrafluoro-1,3-dithietane. «Appl. Spectrosc.», 1973, 27, № 1, 44—46 (англ.)

Исследованы ИК- и КР-спектры тетрафтор-1,3-дитиэтана в крист. фазе при различных т-рах, а также КР-спектр газа. Табулированы данные по положению, относит. интенсивности и отнесению полос в спектрах. Полосы колебаний скелета расположены:  $a_g$  664 и  $513 \text{ см}^{-1}$  (КР),  $b_{1g}$   $833 \text{ см}^{-1}$  (ЭКР),  $b_{1u}$   $89 \text{ см}^{-1}$  (ИК),  $b_{2u}$   $849 \text{ см}^{-1}$  (ИК),  $b_{3u}$   $964 \text{ см}^{-1}$  (ИК). Полоса  $290 \text{ см}^{-1}$  в спектре КР кристалла отнесена к асим. крут. кол.  $CF_2$ .

Ю. В. К.

Х. 1973 № 18

1472



16 Б102. Структура и поворотная изомерия этан-1,2-дитиола; электронографическое исследование. Hargitai Istvan, Schultz György. Structure and rotational isomerism of ethane-1,2-dithiol: an electron diffraction study. «J. Chem. Soc. Chem. Commun», 1972, № 6, 323—324 (англ.)

Методом газовой электронографии изучена структура этан-1,2-дитиола  $\text{HS}-\text{CH}_2-\text{CH}_2-\text{SH}$  (I). Найдено, что при  $T = 70^\circ$  в парах—I присутствуют два конформера: анти- и гош- с относит. содержанием  $62 \pm 3$  и  $38 \pm 3\%$  соотв., что отвечает разнице энергий в 0,8 ккал/моль, причем анти-форма более стабильна. Найдены след. значения межъядерных расстояний  $r$  (А), среднеквадратич-

Чесн.

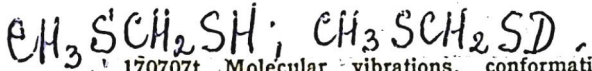
СП-ГА

Х. 1972.

16

ных амплитуд колебаний  $l$  (А) и углов:  $r$  (C—H) = 1,120 (0,009),  $l$  (C—H) = 0,076 (0,010),  $r$  (S—H) = 1,40 (0,02),  $l$  (S—H) = 0,07 (0,04),  $r$  (C—C) = 1,53 (0,02),  $l$  (C—C) = 0,06 (0,03),  $r$  (S—C) = 1,819 (0,002),  $l$  (S—C) = 0,061 (0,005), CCS = 112,0 (0,9°), SCH = 107,0 (2,2°), HCH = 108 (4°), CSH = 90,5 (3,2°),  $\tau$  (SCCS) = 106,3 (3,5°),  $l$  (S…C) = 0,074 (0,005),  $l$  (S…C)<sub>гопш</sub> = 0,15 (0,02),  $l$  (S…S)<sub>апти</sub> = 0,122 (0,009).

В. Спиридонов



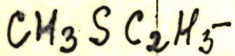
1972

170707t Molecular vibrations, conformational analyses, and force fields of normal and monodeuterated (methylthio)-methanethiol. Ohsaku, Masaru; Shiro, Yuji; Murata, Hiromu (Fac. Sci., Hiroshima Univ., Hiroshima, Japan). *Bull. Chem. Soc. Jap.* 1972, 45(10), 3035-48 (Eng).  $\text{CH}_3\text{SCH}_2\text{SH}$ , and  $\text{CH}_3\text{SCH}_2\text{SD}$ , were prepared, and their ir spectra were obtained in the gaseous, liq., and solid states. The spectra were assigned. The frequency shifts by D-substitution, gaseous-liq. transition, and liq.-solid transition are also discussed. The normal co-

*C, h*  
*v<sub>i</sub>*

ordinates of these thiols were treated by a modified Urey-Bradley force field. The force consts. used in the computation were transferred from those previously reported, but were adjusted to produce the exptl. wave nos. The calcd. wave nos. correspond well with those obsd. The stable mol. conformations of the normal and deuterated species were detd. by the aid of the normal coordinate treatment. In the gaseous and liq. states, at least 3 or 4 forms from among TT, TG, GT, GG, and GG' were confirmed to exist. In the solid state, though,  $\text{CH}_3\text{SCH}_2\text{SH}$  or  $\text{CH}_3\text{SCH}_2\text{SD}$  exists in only 1 form: GG.

C.A. 1972, 77, N26.



1972

11720a Molecular vibrations and force fields of alkyl sulfides.  
III. Infrared spectra of methyl ethyl sulfide. Ohsaku, Masaru;  
Shiro, Yuji; Murata, Hiromu (Fac. Sci., Hiroshima Univ.,  
Hiroshima, Japan). *Bull. Chem. Soc. Jap.* 1972, 45(3), 954-6  
(Eng). The ir spectra of solid, liq., and gaseous MeSET are  
presented. Some previous assignments are revised. The exis-  
tence of 2 rotational conformations in liq. phase is discussed.

(D i)

C. A.

1972. 44. 2

$(C_2H_5)_2S'$

$(\nu_i)$

U.K.

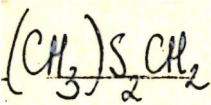
CnEKTb

111710x Molecular vibrations and force fields of alkyl sulfides. 1832

IV. Infrared spectra of ethyl sulfide. Ohsáku, Masaru; Shiro, Yuji; Murata, Hiromu (Fac. Sci., Hiroshima Univ., Hiroshima, Japan). *Bull. Chem. Soc. Jap.* 1972, 45(3), 956-9 (Eng). The ir spectra of solid, liq., soln., and gaseous  $Et_2S$  are presented. Literature data are discussed. Three rotational isomers  $C_{2v}$ ,  $C_1$ , and  $C_2$  are considered. The stable form in the solid is the  $C_{2v}$  conformation. The presence of the  $C_2$  conformation in the liq. cannot be ruled out on the basis of their spectra.

C.A.

1942. 44. 2



(2af)

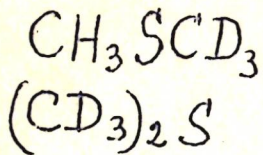
1972

78922r Molecular vibrations and force fields of alkyl sulfides.  
II. Infrared spectra of  $CH_3S(CH_2S)_nCH_3$  ( $n = 0-3$ ). Ohsaku,  
Masaru; Shiro, Yuji; Murata, Hiromu (Fac. Sci., Hiroshima  
Univ., Hiroshima, Japan). *Bull. Chem. Soc. Jap.* 1972, 45(1),  
113-21 (Eng). Infrared spectra recorded in the liq. and solid  
states of  $Me_2S$ ,  $(MeS)_2CH_2$ ,  $(MeSCH_2)_2S$ , and  $(MeSCH_2S)_2CH_2$ ,  
are reported. For  $(MeS)_2CH_2$ , gaseous spectra were also  
recorded. For these mols., the obsd. bands were assigned to  
the fundamental modes of the vibrations with ref. to those of  
reported analogous-structure mols. The existence of the rota-  
tional isomers of the last 3 compds. was postulated. Regularity  
of the waveno. of the fundamentals obtained and the intensity  
change in some of the bands for this series of compds. are dis-  
cussed. The frequency shift in the liq.-solid phase transition  
is also described for a few bands.

Mr. creeper

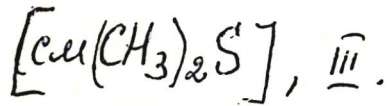
C.A. 1972 76:14

1972



Ypenburg J.W.

(C.n.; Vi) "Ree. trav. chim.", 1972,  
91, N5, 671-80.



$(CH_3)_3CSH$

1973

Chem. J.

J. R. Durig,  
S. M. Craver, ...

J. Chem. Phys., 1973,  
58(4), 1281-91

"Low frequency modes in  
molec. crystals. XIX...."

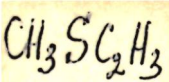
$H_2CS_3$

1973

Декони.  
Супорене

Perkins Peter G.,  
Rev. Round. Chin., 1973,  
IB, No9, 1501- 1512.

● (cur.  $C_5_2$ ;  $\frac{m}{n}$ )



20 Б83. Исследование строения молекул метилалленилсульфида и метилвинилсульфида с помощью газовой электронографии и их связь с другими органическими сульфидами. Derissen J. L., Bijen J. M. J. M. A gas electron diffraction study of the molecular structures of methyl allenyl sulphide and methyl vinyl sulphide and their relation to other organic sulphides. «J. Mol. Struct.», 1973, 16, № 2, 289—297 (англ.)

1973

Синтез

С помощью газовой электронографии исследовано строение метилалленил (I) и метилвинилсульфидов (II). Для I длины связей найдены равными (в Å, в скобках — средние отклонения), C=C 1,282 (0,010) и 1,327 (0,010), C—S 1,745 (0,010) и 1,800 (0,010), валентные углы (в град.) C=C—S 125,4 (0,6), C—S—C 98,1 (0,8); для II: C=C 1,342 (0,007), C—S 1,752 (0,010) и 1,794 (0,012), валентные углы C=C—S 127,0 (1,5), C—S—C 102,5 (2,0). Для обоих соединений модель с учетом только одной плоской син-конформации скелета тяжелых атомов не дает возможности интерпретировать эксперим. данные. Учет неплоской конформации улучшает согласие рассчитанных и эксперим. интенсивностей, но для одной или большего числа других конформаций без доп. эксперим. данных не может быть получено однозначного решения. Полученные

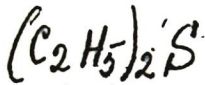
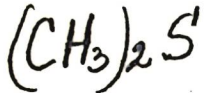
X. 1973  
№ 20

результаты сопоставлены с данными для др. орг. сульфидов.

Резюме

принято

1973



(?)

19800j Experimental determination of the ionization potentials of sulfides and disulfides. Khvostenko, V. I.; Furlei, I. I. (USSR). *Khim. Seraorg. Soedin., Soderzh. Nest. Nefteprod.* 1972, 9, 99-101 (Russ). From Ref. *Zh. Khim.* 1973, Abstr. No. 12B96. By means of a quasi-monochromatic electron beam, the ionization potentials (IP) of dimethyl-, diethyl-, propylethyl-, dipropyl-, dibutyl-, di-isopropyl-, propylisobutyl-, di-isobutyl-, dimethyldi-, dipropyldi-, and dibutyl-disulfide were detd. to be 8.77, 8.56, 8.50, 8.45, 8.40, 8.38, 8.40, 8.36, 8.65, 8.50, and 8.45 eV, resp. The IP of the sulfides and disulfides decreases with increasing no. of atoms in the mol.; the decrease is faster for the sulfides.

C.A. 1974. 80. N4

30726.7238

Ch, Ph, TE

$\text{CH}_3\text{SCD}_2\text{CD}_3$

92073

25-1321

Ohsaku Masaru, Shiro Yuji, Murata  
Hiromu.

Molecular vibrations and force fields  
of alkyl sulfides. VI. Methyl ethyl  
sulfide and its deuterated compounds,  
diethyl sulfide.

"Bull.Chem.Soc.Jap.", 1973, 46, N 5,  
1399-1407

(англ.)

907 907

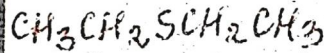
917

0924 ник

ВИНИТИ

30726.7238

Ch, Ph, TE



92073

25-1321

Ohsaku Masaru, Shiro Yui, Murata  
Hiromu.

Molecular vibrations and force fields  
of alkyl sulfides. VI. Methyl ethyl  
sulfide and its deuterated compounds,  
diethyl sulfide.

"Bull.Chem.Soc.Jap.", 1973, 46, N 5,  
1399-1407

(англ.)

907 907

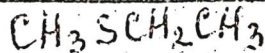
917

0924 ник

ВИНИТИ

30726.7238

Ch, Ph, TE



92073

25-1321

Ohsaku Masaru, Shiro Yoji, Murata  
Hiromu.

Molecular vibrations and force fields  
of alkyl sulfides. VI. Methyl ethyl  
sulfide and its deuterated compounds,  
diethyl sulfide.

"Bull.Chem.Soc.Jap.", 1973, 46, N 5,  
1399-1407

(англ.)

907 907

917

0924 ник

ВИНИТИ

S. F. H. XIV-5130; осн. 1245 1973.

2 Д210. Нормальные колебания дитиоформатного иона. Randhawa H. S., Sharma D. K. Normal vibrations of dithioformate Ion. «Z. Phys. Chem.» (BRD), 1973, 86, № 1—2, 108—111 (англ.)

Выполнен анализ норм. координат иона S<sub>2</sub>CH. Из литературных данных о значениях частот основных колебаний вычислены силовые постоянные поля Юри—Бредли, распределение потенц. энергии колебаний по внутренним координатам симметрии, среднеквадратичные амплитуды колебаний и термодинамич. ф-ции этого иона.

М. Р. Алиев

1974 № 2

$S_2CH$  XIV-5130; om. 1245 1973

3 Б82. Нормальные колебания дитиоформатного иона. Randhawa H. S., Sharma D. K. Normal vibrations of dithioformate Ion. «Z. Phys. Chem.» (BRD), 1973, 86, № 1—2, 108—111 (англ.)

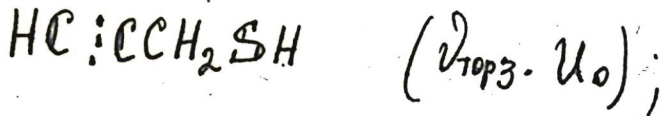
Выполнен анализ нормальных координат иона дитиоформата ( $S_2CH$ ). Из лит. данных по значениям частот основных колебаний вычислены силовые постоянные поля Юри—Бредли, распределение потенциальной энергии колебаний по внутренним координатам симметрии, среднеквадратичные амплитуды колебаний и термодинамические функции этого иона.

М. Р. Алиев

≈ 1974

1/3

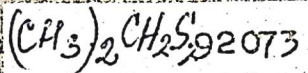
(+1) A



89179n Study of the internal rotation in propargyl mercaptan by microwave spectrum analysis. Scappini, F.; Maeder, H.; Sheridan, J. (Inst. Phys. Chem., Univ. Kiel, Kiel, Ger.). Z. *Naturforsch.*, Teil A 1973, 28(1), 77-81 (Eng). The internal rotation of the SH group in HC:CCH<sub>2</sub>:SH was examd. by radio frequency microwave double resonance measurements at 5-40 GHz. A Hamiltonian for the over-all rotation and the torsion of the top was proposed and a potential function for the SH torsion with barriers of  $470 \pm 10$  or  $2000 \pm 500 \text{ cm}^{-1}$  at the cis or trans position, resp., was obtained.

C.A. 1974 80: N16

40125.8721



1973

TE, Ch

25.3.248

Sugeta Hiromu, Go ~~■~~ Akikatsu, Miyazawa  
Tatsuo.

Vibrational spectra and molecular conformations of dialkyl disulfides.

"Bull. Chem. Soc. Jap.", 1973, 46, N 11,

3407-3411

(англ.)

3408-3411

0031 №№ 1

наст. языке

017 017

ВИНИТИ

40125.8721

$(CH_3)_2CS$  292073

1973

TE, Ch

X.5-3242

Sugeta Hiromu, Go ~~■~~ Akikatsu, Miyazawa  
Tatsuo.

vibrational spectra and molecular conformations of dialkyl disulfides.

"Bull. Chem. Soc. Jap.", 1973, 46, N 11,

3407-3411

(анги.)

3408-3411

0031 №№ 1

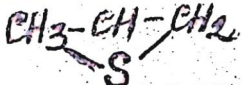
mer-γιανα. co

017 017

ВИНИТИ

31130.753<sup>2</sup>

TE, Ph, Ch



92073

1973

1376

Спектральные  
излучения

Sugita Hiromu, Miyazawa Tatsuo. Infrared absorption intensities of torsion-rotation transitions of molecules with symmetric internal rotor. "Bull. Chem. Soc. Jap.", 1973, 46, N9, 2752-2755

(англ.) 1015 РЕК

1002 1002

ВИНИТИ



1974

3 Б242. Этентиол. Исследование инфракрасных и микроволновых спектров. Almond Veronica, Charles Stuart W., Macdonald John N., Owen Noel L. Ethenethiol: an infrared and microwave spectroscopic study. «J. Chem. Soc. Chem. Communns», 1974, № 14, 483—484 (англ.)

Рассмотрен синтез и очистка этентиола  $\text{CH}_2=\text{CHSH}$  (I). Измерены ИК-спектры поглощения I в газовой фазе и в матрице. Проведен анализ структуры Q-ветвей полос неплоских колебаний 957 и  $872 \text{ см}^{-1}$  с контуром типа С. Путем сопоставления с данными расчета для двух возможных плоских конформаций с приближенны-

1974

д. 1978, № 3

ми геометрич. параметрами показано, что расстояние между компонентами этих ветвей соответствует плоской S-цис-форме молекулы. Получен МВ-спектр I и определены значения вращательных постоянных *A*, *B* и *C*. Интерпретация спектра проведена на базе результатов расчета значений компонент дипольного момента вдоль главных осей молекулы. Выполнены расчеты значений вращательных постоянных двух плоских конформаций с той же самой геометрией, чем показана близость данных МВ-спектра плоскому цис-изомеру. Сделан вывод о преимущественной реализации плоской или почти плоской цис-конформации молекулы I. Ю. Н. Панченко

$S=C(CH_3S)_2$

И-8246

1974

15 Б115. Структура газообразного диметилтритиокарбоната, изученная электронографически. Almelingen A., Fernholz L., Seip H. M., Непгік-сен L. Structure of gaseous dimethyltrithiocarbonate studied by electron diffraction. «Acta chem. scand.», 1974, А 28, № 9, 1037—1040 (англ.)

Структ.  
молекул

Методом газовой электронографии изучена структура молекулы диметилтритиокарбоната  $S=C(SCH_3)_2$  (I). Установлено, что с полученными данными лучшим образом согласуется син-син-форма I с плоским скелетом. Найдены след. значения межъядерных расстояний ( $r_a$ , Å) и углов: S=C 1,634(5), C<sub>2</sub>—C<sub>5</sub> 1,752(4), C<sub>3</sub>—C<sub>5</sub> 1,800(6), C—H 1,090(10),  $\angle S_1C_2S_5$  126,2(2) $^\circ$ ,  $\angle CSC$  103,3(4) $^\circ$ ,  $\angle SCH$  111,2(8) $^\circ$ .

В. Спиридонов

22. 1975 № 15

④ Ешкы 18

$(CH_3S)_2C=S$  (703) X-45-8246 1974

enfyski.  
nafiver

163-436d Structure of gaseous dimethyltrithiocarbonate studied by electron diffraction. Almenningen, A.; Fernholz, L.; Seip, H. M.; Henriksen, L. (Dep. Chem., Univ. Oslo, Oslo, Norway). *Acta Chem. Scand., Ser. A* 1974, A28(9), 1037-40 (Eng). The structure of the gaseous mols. of dimethyl trithiocarbonate was detd. in order to study the conformational properties of mols. with  $C(sp^2)-S$  bonds. The electron diffraction data was recorded and the exptl. radial distribution (RD) function was obtained by Fourier inversion of the intensity curves. By comparing theor. and exptl. RD functions, the mols. were found to have syn-syn conformation. The bond angles and bond lengths are given.

C.A.1975,82 n24

40515.3752

Ph, TE, Ch

96601 02

$(C_2H_5)_2S_2$

1974

*96601-02  
англ.*

X-5-4679

Baker A. D., Brisk M., Gellender M.

Photoelectron spectra and dihedral angles  
of disulfides. "J. Electron Spectrosc.  
and Relat. Phenom.", 1974, 3, N 3,  
227-228

(англ.) ( $CH_3)_2S_2$ ) III  
0.192 мкм

080 083 - 0 04

ВИНИТИ

C<sub>2</sub>H<sub>3</sub>S<sup>+</sup>

1974

12 Б32. Квантовохимическое исследование относительной термодинамической стабильности двух изомерных структур C<sub>2</sub>H<sub>3</sub>S<sup>+</sup>. Csizmadia Imre G., Duke A. Jonathan, Lucchini Vittorio, Modena Giorgio. A quantum chemical study on the relative thermodynamic stabilities of the two isomeric species of C<sub>2</sub>H<sub>3</sub>S<sup>+</sup>. «J. Chem. Soc. Perkin Trans.» 1974, Part 2, № 15, 1808—1812 (англ.)

Неэмпирическим методом ССП МО ЛКАО в 3 базисах гауссовских функций (в том числе с включением 3d-АО атома S, с полной оптимизацией геометрии исследовано электронное строение 2 изомеров C<sub>2</sub>H<sub>3</sub>S<sup>+</sup>—циклич. (тиириений ион, I) и ациклич. ( $\beta$ -тиовинильный

X. 1975. N 12

катион, II). Обнаружено, что обе структуры стабильны и I на 1—14 ккал/моль (в зависимости от базиса) энергетически выгоднее, чем II. Угол между связью S—H и плоскостью цикла в I оценен в  $79,6^\circ$  с барьером инверсии 72,9 ккал/моль, причем барьер, в основном, обусловлен напряженностью цикла, а отталкивание неподеленных пар атома S вносит лишь небольшой вклад. Барьер для изомеризации  $\text{II} \rightarrow \text{I}$  оценен в 12,8 ккал/моль (при расчете переходного состояния оптимизация геометрии не проводилась), что качественно согласуется с имеющимися опытными данными.

В. Л. Лебедев

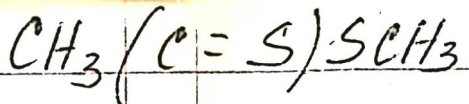
H<sub>2</sub>C=C=S

(мин)

х. 1975. № 6

6 Б376. Микроволновый спектр тиокетена  $\text{H}_2\text{C}=\text{C}=\text{S}$ . Georgiou Kini, Kroto Harold W., Landsberg Baggy M. Microwave spectrum of thioketen,  $\text{H}_2\text{C}=\text{C}=\text{S}$ . «J. Chem. Soc. Chem. Communns», 1974, № 18, 739—740 (англ.)

Получен МВ-спектр тиокетена в области частот от 26,5 до 40 ГГц как результат радиоспектроскопич. анализа продуктов пиролиза гексаметилтритиана при  $T=900^\circ$ . Наблюдаются четыре линии между 33,4 и 33,8 ГГц, идентифицированных с переходом  $J=3 \leftarrow 2$ . Используя для вращательной постоянной  $A$  величину 282 081 МГц, взятую из данных для кетена, определены остальные вращательные постоянные в МГц:  $B=5659,45 \pm 0,03$ ;  $C=5544,50 \pm 0,03$  и постоянная центробежного искажения  $D_{JK}=0,170 \pm 0,004$ . Предполагая для группы  $\text{H}_2\text{C}=\text{C}$  структурные параметры, равные параметрам кетена, для длины связи  $\text{C}=\text{S}$  получено значение 1,56 Å, к-roe хорошо согласуется с данными для родственных молекул. Число линий в спектре, их относит. интенсивности и определенные значения вращательных постоянных  $B$  и  $C$  подтверждают принятую идентификацию. Отклонение вычисленных частот от эксперим. значений находится в пределах точности измерений. С. Н. Мурзин



1974

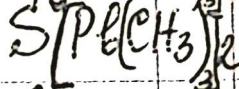
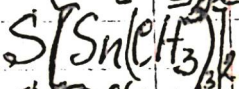
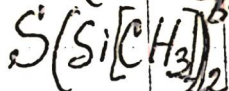
Grundler H.V., Stegner,

Z. Phys. Chem., 1974, 255, (6),  
1029-38.

$\vartheta_i$ ; cur. not.

(cur.  $\text{Cl}(\text{C}=\text{O})\text{SCH}_3$ ;  ${}^{\text{III}}$ )

1974



(фотоэлектрон  
спектр)

ж. 1975. №

4 Б151. Исследование с помощью фотоэлектронной спектроскопии связи серы с элементами IV группы. Distefano G., Ricci A., Colonna F. P., Pietropaolo D., Pignataro S. Bonding between sulfur and the elements of group IV studied by UV photoelectron spectroscopy. «J. Organometal. Chem.», 1974, 78, № 1, 93—99 (англ.)

Исследованы фотоэлектронные спектры соединений  $S(XMe_3)_2$  и  $Me-S-XMe_3$ ,  $Me=CH_3$ ,  $X=C$ ,  $Si$ ,  $Ge$ ,  $Sn$  и  $Pb$ . Полученные результаты интерпретированы в рамках качеств. модели полулокализованных групповых орбиталей (неподеленные пары атома  $S$ ,  $d$ -орбитали атомов  $X$ , группы  $SX_2$ ,  $S-X$ ,  $S-C$ ,  $XC_3$ ,  $CH_3$ ). Подробно обсуждена относит. роль сверхсопряжения,  $p\pi-d\pi$ -связи и электростатич. взаимодействий в связывании  $S-XMe_3$ .

По резюме



CH<sub>3</sub>SC<sub>2</sub>H<sub>5</sub>

1974

5 Д611. Микроволновый спектр трансэтилметилсульфида. Imaishi Hisae, Hayashi Michigo. The microwave spectrum of trans-ethylmethylsulfide. «J. Sci. Hiroshima Univ.», 1974, A38, № 1, 21—31 (англ.)

В диапазоне 8,5—34 Гц измерены микроволн. спектры молекулы этилметилсульфида ( $\text{CH}_3\text{SC}_2\text{H}_5$ ) и четырех ее монодейтерозамещенных. Идентифицированы линии 16 вращательных переходов основного состояния, 17 переходов 1-го и 13-го переходов 2-го возбужденного колебательного состояния трансизомера этилметилсульфида и по 9 переходов основных колебательных состояний дейтерированных молекул. Определены значения вращательных постоянных, по которым оценены структурные параметры этилметилсульфида:  $\text{CH}_2-\text{S}=1,82 \text{ \AA}$ ,  $\text{CSC}=99^\circ$ ,  $\text{CCS}=108^\circ$ ,  $\text{HCH}=109^\circ$ ,  $\text{HCS}=109^\circ$ ,  $\text{HCC}=110^\circ$  (значения остальных параметров заимствованы из родственных молекул). По величине туннельного  $A-E$ -расщепления линий оценен барьер внутреннего вращения метильной группы  $v_3 \approx 2070 \text{ кал/моль}$ .

М. Р. Алиев

М. Р.

Чом.

Чо

Ф. 1975  
N 5

$\text{CH}_2\text{DS}$

$\text{C}_2\text{H}_5$

(C-H-S)

(М. н  
Чомисир)

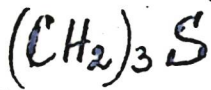
Х 1975 № 10

10 Б257. Микроволновый спектр транс-этилметилсульфида. Imaishi Hisae, Hayashi Michiyo. The microwave spectrum of trans-ethylmethylsulfide. «J. Sci. Hiroshima Univ.»; 1974, A38, № 1, 21—31 (англ.)

1974

Измерены МВ-спектры транс-этилметилсульфида и его дейтериопр-ных сим- $\text{CH}_2\text{DSE}$ , асим- $\text{CH}_2\text{DSE}$ , сим- $\text{CH}_2\text{DCH}_2\text{SMe}$  и асим- $\text{CH}_2\text{DCH}_2\text{SMe}$  в области частот от 8,5 до 34 ГГц при т-ре сухого льда. Для всех образцов определены вращательные постоянные, для нормального образца вращательные постоянные в МГц:  $A=16017,65$ ,  $B=3186,59$ ,  $C=2799,31$  и постоянная центробежного искажения в МГц:  $D_J=3,89 \cdot 10^{-4}$ . При ряде предположений определены структурные параметры молекулы и сопоставлены с данными для родственных молекул. В кач-ве возможных приводятся след. значения структурных параметров:  $r(\text{CH}_2-\text{S})=1,822$  Å,  $\angle \text{CSC}=99^{\circ}22'$ ,  $\angle \text{CCS}=109^{\circ}04'$ , в группе  $\text{CH}_2$ :  $\angle \text{HCH}=108^{\circ}24'$ ,  $\angle \text{HCS}=110^{\circ}45'$ ,  $\angle \text{HCC}=109^{\circ}05'$ . По расщеплению линий из-за тунельного эффекта определена высота потенциального барьера внутреннего вращения  $\text{SCH}_3$  группы: 2070 кал/моль. Для нормального образца измерены спектры в первых трех колебательных состояниях, связанных с крутильными колебаниями скелета молекулы. Обсуждается эффект взаимодействия между колебаниями.

С. Н. Мурзин



отмечен 1951 1974

15 Б109. Молекулярная структура тристиметиленсульфида, изученная методом газовой электронографии. Kaga kida Ken-ichi, Kuchitsu Kozo, Bohn Robert K. Molecular structure of trimethylene sulfide studied by gas electron diffraction. «Chem. Lett.», 1974, № 2, 159—164 (англ.)

Электронографически в газовой фазе исследовано строение молекулы триметиленсульфида  $(\text{CH}_2)_3\text{S}$ . Электронограммы паров сняты при коми. т-ре, ускоряющем напряжении 40 кв, расстоянии от сопла испарителя до фотопластиники 107,75 мм. Кривая молек. составляющей интенсивности рассеяния получена от 6,9 до  $34,5 \text{ \AA}^{-1}$ . При расшифровке были сделаны след. предположения: атомы Н лежат в плоскости, перпендикулярной той, где находится атом С и два его ближайших соседа. Биссектрисы углов HСН и XCX лежат на одной прямой; все связи С—Н равны; значения углов H—C<sub>α</sub>—H и

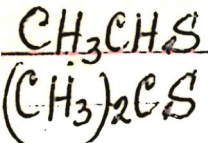
Х. 1974. N 15

$\text{H}-\text{C}_\beta-\text{H}$  равны соотв-щим углам в триметиленоксиде: 110,3 и 110,7°. При этих предположениях расшифровка строения молекулы проведена по кривой радиального распределения, уточнение по кривой молек. составляю-щей интенсивности МНК. В результате найдены следую-щие значения расстояний и среднеквадратичных ампли-туд колебания атомов  $\text{C}-\text{S}$  1,847 (2), 0,056 (5),  $\text{C}-\text{C}$  1,550(3), 0,054 (5),  $\text{C}-\text{H}$  1,101(6), 0,083(8) Å, углов  $\angle \text{CSC}$  77,0(5), двугранного угла  $\angle \text{C}_2\text{SC}_3-\text{C}_2\text{C}_4\text{C}_3$  26(4)°.

И. Ронова

8 Б115. Фотоэлектронные и микроволновые спектры нестабильных молекул тиоацетальдегида  $\text{CH}_3\text{CHS}$  и тиоацетона  $(\text{CH}_3)_2\text{CS}$ . Kgroto H. W., Landsberg B. M., Suffolk R. J., Vodden A. The photoelectron and microwave spectra of the unstable species thioacetaldehyde,  $\text{CH}_3\text{CHS}$ , and thioacetone,  $(\text{CH}_3)_2\text{CS}$ . «Chem. Phys. Lett.», 1974, 29, № 2, 265—269 (англ.).

1974



XIV-6194

(М.И.Н.Чо)

Изучены фотоэлектронные и МВ-спектры нестабильных молекул тиоацетальдегида,  $\text{CH}_3\text{CHS}$  (I) и тиоацетона,  $(\text{CH}_3)_2\text{CS}$  (II), полученных в результате пиролиза циклических тримеров 1,3,5-триметил-*s*-тритиана и гексаметил-*s*-тритиана, соотв. (время жизни I составляет 10 сек., а II — несколько минут). По фотоэлектронному спектру определены вертикальные потенциалы ионизации ПИ (до 5-го) исходных тримеров, а также продуктов р-ции (в т. ч.  $\text{H}_2\text{CS}$ ). Первые ПИ I и II равны 8,98 и 8,60 эв соотв. В диапазоне 8—40 ГГц идентифицированы микроволн. линии 9 вращательных переходов I и 8 переходов II и *A*—*E*-расщепление линий, обусловленное заторможенным внутренним вращением метильных групп, в основном колебательном состоянии. Определены значения вращательных постоянных  $A = 48572,86$ , и 8728,77;  $B = 5750,99$  и 4390,55;  $C = 5307,57$  и 3274,95 МГц и барьера внутреннего вращения  $V_3 \approx 1545$  и 1300 кал/моль для I и II соответственно.

М. Р. Алиев

р. 1975

№ 8

41111.8903

54969 03

1974

Ch, Ph

CH<sub>3</sub>S<sub>2</sub>(D<sub>3</sub>)<sub>2</sub> (U.N.I.O.N.) XIV 6120  
*струи*

Kuhler M., Charpentier L., Sutter D.,  
Dreizler H.

Eine Analyse der Methyltorsionsfeinstruktur von Rotationsspektren in angeregten Zuständen der S-S-Torsion beim Trideutero-methyl-methyldisulfid.

"Z. Naturforsch.", 1974, 29a, N 9,

1335-1344 (нем., рез. англ.)

10 ♂

0230 ПИК

210 212

9 9 1

ВИНТИ

*CH<sub>3</sub>CS<sub>2</sub>H*

*1974*

*7 Д164.* Расчет и интерпретация колебательных спектров дитиоуксусной кислоты и ее иона. Мельникова Н. В., Пилипенко А. Т. «Укр. хим. ж.», 1974, 40, № 3, 269—274

В приближении валентно-силового поля выполнен расчет частот и форм норм. колебаний дитиоуксусной кислоты, ее иона и его дейтероаналога. Путем вычисления производных от частот по силовой постоянной связи CS найдены аналитич. полосы, чувствительные к образованию связей с металлом. Автореферат

*Ф.1974 N 7*

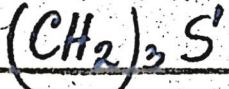
40731.4585

41125

02

1974

Ch, TC



2288

Momicchioli F., DiLonardo G., Galloni G.

Franck-Condon distribution in the 226 nm  
band of trimethylene sulfide. "J. Mol.

Spectrosc.", 1974, 51, N 2, 273-276

(англ.)

0165 НКВ 1

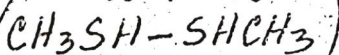
135 140 15°

ВИНИТИ

50131.4723

Ch, Ph, TC

49587 02



1974

X5-8029

U.R спектр димера

Pecul Krzysztof, Janoschek Rudolf. Calculated vibrational spectra of weak hydrogen bonds. I. Methanethiol dimer. "Theor. chim. acta", 1974, 36, N 1, 25-36

(англ.)

266 267 285

0293 ник

ВИНИТИ

$\text{HCS}_2\text{H}$

1974

Randhawa H.S.,  
Rao C.N.R.

*Cupressus nana*.  
J.

J. Mol. Struct., 1974,  
21(1), 123-34.

(see C-H-S-O; m)

40619/430

Ch, Ph, TG.

 $(\text{CH}_2)_3 \text{S}$ 

41125

ИК спектр

1974

0.2

Х45515

Wieser H., Duckett J. A.

Ring puckering progressions in the infrared  $\text{CH}_2$  scissoring region of several deuterated analogs of trimethylene sulfide. "J. Mol. Spectrosc.", 1974, 50, N 1-3, 443-456  
 (англ.)

106 109

0123

0134-555  
ВИНИТИ

$(\text{CH}_2)_3 \text{S}$

Х 45-5524

1974

21 Б229. Длинноволновые инфракрасные спектры и потенциальные функции излома кольца некоторых дейтерированных аналогов триметиленсульфида. Wieser H., Duckett J. A., Kydd R. A. The far-infrared spectra and ring puckering potential functions of several deuterated analogs of trimethylene sulfide. «J. Mol. Spectrosc.», 1974, 51, № 1, 115—122 (англ.)

Измерены ИК-спектры триметиленсульфида и его  $\alpha$ - $d_2$ ,  $\beta$ - $d_2$ ,  $\alpha,\alpha$ - $d_4$  и  $d_6$ -замещенных в области 200—50 см<sup>-1</sup>. Предложено отнесение колебаний излома кольца во всех соединениях. Определены потенциальные константы функции  $V(Z) = A(Z^4 + BZ^2)$  ( $Z$  — координата уменьшения излома кольца). Уточнение констант  $A$  и  $B$  проводили методом наименьших квадратов. Показано, что высота барьера инверсии  $AB^2/4$ , вычисленная в приближении потенциала 2 : 4, изменяется при изотопозамещении (271,8; 265,9; 270,6; 257,9; 263,6 см<sup>-1</sup> для легкой молекулы и ее дейтерозамещенных соответственно).

Е. Разумова

И. И. К.  
спектр

Х. 1974  
N. 21

Университет СССР, Серия 5

1975

19 Б54. Теоретические аспекты органических соединений серы и селена. Fabian J. Theoretical aspects of organosulphur and organoselenium compounds. «Org. Compounds Sulphur, Selenium and Tellur. m... Vol. 3». London, 1975, 728—766 (англ.)

Обзор квантохим. исследований циклич. сопряженных соединений S и Se 1970—1974 гг. Дан анализ использованных методов расчета теор. критериев ароматичности соединений S, роли вакантных 3d-АО атома S. Обсуждаются результаты расчетов характеристик основного и возбужденного состояний энергии и интенсивности электронных переходов, фотоэлектронные спектры) циклич. π-систем с серусодержащими заместителями, гетероциклов содержащих в ядре атомы S и Se и их производных. В. Фаустов

CH-S

C-H-Se

(8830%)

Х. 1978, N 19

C<sub>6</sub>H<sub>4</sub>S<sub>2</sub>C<sub>6</sub>H<sub>4</sub>

1975

Структура  
тиантрена

Б132. Структура и потенциал инверсии тиантрена.  
Gallagher K. L., Bauer S. H. Structure and inversion potential of thianthren. «J. Chem. Soc. Faraday Trans.», 1975, Part 2, 71, № 6, 1173—1182 (англ.)

Методом газовой электронографии исследовано строение молекулы тиантрена, C<sub>6</sub>H<sub>4</sub>S<sub>2</sub>C<sub>6</sub>H<sub>4</sub>, при т-ре сопла 154—156°. Вайдено, что оба фрагмента молекулы C<sub>6</sub>H<sub>4</sub>S<sub>2</sub> плоские, а двугранный угол между ними равен  $\theta = 131,4^\circ$ . Бензольные кольца не искажены, межъядерные расстояния ( $r_g$ ) и среднеквадратичные амплитуды колебания C—C 1,400(2), 0,045(3); C—H 1,082(22),

Х 1976 № 1

0,089(21), C—S 1,770(3), 0,055(3), S—S 2,743(8),  
0,112(2) Å. Углы  $\angle CSC$  104,1,  $\angle SCC$  120,1°. Проведен  
полный анализ нормальных колебаний молекулы для  
выяснения инверсионных и крутильных колебаний мо-  
лекулы тиантрена. Рассмотрен ряд моделей, обладаю-  
щих барьером инверсии в виде  $A(\phi^4 - B\phi^2)$ , где  $\phi = \pi - \theta$ .  
Наилучшее согласие с опытом у модели с барьером ин-  
версии  $Y_0 > 4$  ккал/моль и углом  $\theta_0 = 128 - 130^\circ$  в мини-  
муме потенциальной функции.

И. Ронова

60220.7276  
Ch,TC

Кв. жур. пачет  
1975  
 $C_2H_4S^+H^+$  28850+  
XIS-11583

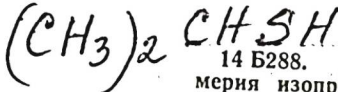
Gordon James W., Schmid George H.,  
Csizmadia Imre G.  
Molecular orbital calculations on  
the  $C_2H_4S^+H^+$  cation.

"J.Chem.Soc.Perkin Trans.", 1975, Part 2,  
N 15, 1722-1726

(англ.) 0561 ник

532 535 553

ВИНИТИ



1975

14 Б288. Микроволновый спектр и поворотная изомерия изопропилмеркаптана. Griffiths John H., Bogg James E. Microwave spectrum and rotational isomerism in isopropyl mercaptan. «J. Mol. Spectrosc.», 1975, 56, № 2, 257—269 (англ.)

В диапазоне 12—40 ГГц измерены МВ-спектры изопропилмеркаптана  $(\text{CH}_3)_2\text{CHSH}$  (и SD) с  $^{32}\text{S}$   $^{34}\text{S}$ . Идентифицированы линии вращательных переходов *a* и *c*-типа основного колебательного состояния и первого возбужденного состояния крутильного колебания SH-(SD)-связи транс- и гош-изомеров изопропилмеркаптана (транс-изомер стабильнее гош-изомера на 57 кал/моль). По относит. интенсивности линий основного и возбужденного состояний оценены частоты крутильного колебания SH- и SD-связей: 208 и 140  $\text{см}^{-1}$ , соотв. Для барьера внутреннего вращения SH получено значение 1,98 ккал/моль. По значениям вращательных постоянных оценены некоторые из структурных параметров транс-изопропилмеркаптана: CS 1,849, SH 1,345А, CCC 113,6°, CCS 111,2°, CSH 96,5°.

М. Р. Алиев

М. б.  
спектр.

Х. 1976  
N14

1975

Hirokawa Takeshi ,

$(\text{C}_2\text{H}_5)_2\text{S}$

af. sci. Hiroshima Univ.,  
ans. no cm. 1975, A39, N2, 161-181.

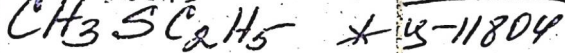
all.  $(\text{C}_2\text{H}_5)_2\text{O}$

60315-1230

CH, TC, MGU

92073

1975



Nogami Norimasa, Sugita Hiromu,  
Miyazawa Tatsuo. Vibrational spectra and  
molecular structure of ethyl methyl  
sulfide. "Bull. Chem. Soc. Jap.", 1975, 48, N12,  
3573-3575. (англ.)

0569

557 557 557

ВИНИТИ

51022.1223.  
Ch, Ph, TC

31603

1975



Ohsaku Masaru. Molecular vibrations  
and force fields of alkyl sulfides. IX.  
Infrared spectra of the conformations of  
 $\underline{\underline{R}}\text{SCH}_2\text{S R}$  ( $R=\text{Et, Pr}$  and  $\text{Bu}$ ).

"Spectrochim. acta", 1975, A31, N9-10, 1271-

1276 (англ.)

0481 пик

454 456 172

ВИНИТИ

$S(CH_3)_n$ . Oberhammer Heinz 1975  
(reouemphus) "J. Mol Struct"  
1975, 28, N2, 349-357 (and)  
(an  $T(CH_3)_n$ ; III)

C<sub>2</sub>SH<sub>2</sub>

1975

Bocchieri S. R.,

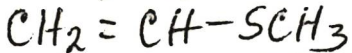
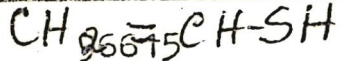
Nucl. Sci. Abstracts, 1975,  
31(1), 2725.

(y)

(seei. CNH<sub>3</sub>; II)

51013.9165

Ph, Ch, TC, DB



1975

3397

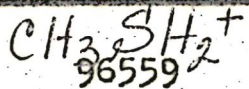
Sandal S., Seip H.M.

Potential for rotation about  $\text{C}(\text{sp}^2)-\text{O}$   
 and  $\text{C}(\text{sp}^2)-\text{S}$  bonds: electron diffraction results for  $\text{CH}_2=\text{CH}-\text{OCH}_3$  and  
CH<sub>2</sub>=CH-SCH<sub>3</sub> and ab initio calculations  
 on  $\text{CH}_2=\text{CH}-\text{OH}$  and  $\text{CH}_2=\text{CH}-\text{SH}$ .

"J. Mol. Struct.", 1975, 28, N 1,  
 193-203 (англ.)

51002.9045

Ch., TC, MGII



1975

# 43-10032

Solka B.H., Harrison A.G.

Bimolecular reactions of trapped ions.

Part XI. Rates and equilibria in

proton-transfer reactions of  $\text{CH}_3\text{SH}_2^+$ .

"Int. J. Mass Spectrom. and Ion

Phys.", 1975, 17, N 4, 379-394 (англ.)

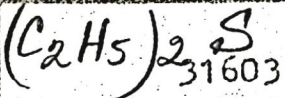
425 427

4

0461 ник ВИНИТИ

51127.1997

TC, Ch



1975

\* 4-10388

Sugeta Hiroshi. Normal vibrations and molecular conformations of dialkyl disulfides.

"Spectrochim. acta", 1975, A 31, N 11,

1729-1737

(энгл.)

D437 ник

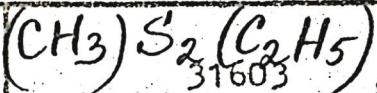
480 482

9 8 9

ВИНИТИ

51127.1997

TC, Ch



1975

X 4-10388

Sugeta\_Hiromu. — Normal vibrations and molecular conformations of dialkyl disulfides.

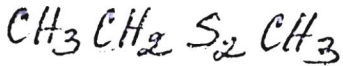
"Spectrochim. acta", 1975, A 31, N 11,  
1729-1737 (экл.)

0437 ник

480 482

9.9.6

ВИНИТИ



1976

но  
зомефир

15 Б63. Конформационный анализ CXVII. Метил-этилдисульфид. Расчеты [методами] молекулярной механики и молекуллярных орбиталей. Allinger N. L. Kao J., Chang F.-M., Boyd D. B. Conformational analysis — CXVII. Methyl ethyl disulfide. Molecular mechanics and molecular orbital calculations. «Tetrahedron», 1976, 32, № 23, 2867—2873. (англ.)

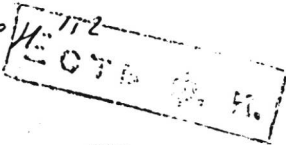
С использованием эмпирического силового поля (упругих постоянных валентных связей и углов, параметров потенциалов невалентных взаимодействий и торсионного потенциала), найденного в результате конформацийных расчетов серусодержащих алканов, изучена потенциальная поверхность внутреннего вращения молекулы метил-этилдисульфида (**I**),  $\text{CH}_3-\text{CH}_2-\text{S}-\text{S}-\text{CH}_3$ . Для вращения вокруг связи  $\text{S}=\text{S}$  найдено 3 минимума энергии, соответствующие гош' (двугранный угол  $\text{C}-\text{S}-\text{S}-\text{C}$  равен  $84^\circ$ ), гош' (угол  $72^\circ$ ) и транс-конформеру (угол  $179^\circ$ ),

х. 1974 N 15

причём 2 из них одинаковы по глубине (гош и транс), а 3-й (гош') проигрывает им 0,68 ккал/моль. К аналогичному результату привел и расчет, проведенный неэмпирич. методом ССП МО ЛКАО в базисе ОСТ-ЗГ (энергия транс-конформера 0,06 и гош' 0,58 ккал/моль). Цис-конформер I отвечает максим. энергии (11,67 ккал/моль согласно эмпирич. и 9,02 ккал/моль согласно неэмпирич. расчету). Метильные группы во всех случаях находятся в скрещенных положениях по отношению к соседним связям, а двугранный угол S—S—C—C близок к  $300^\circ$ . Расчетные данные по структуре и энергетике конформеров удовлетворительно согласуются с имеющимися эксперим. данными (ИК-, КР- и ЯМР-спектрами, электронографией и рентгеноструктурным анализом). Валентное приближение ППДП/2 метода ССП МО ЛКАО не приводит, однако, к согласию с опытом, предсказывая слишком высокую стабильность транс-конформера по сравнению с гош-конформером связи S—S (на 0,68 и 0,91 ккал/моль соотв. в базисах *sp* и *spd*). Пред. сообщ. см. РЖХим, 1977, 7Е90.

В. Г. Дашевский

XIV-7063  
M.n. (HC(=O)SD, DC(=O)SH) 1976  
Hockney W.H., Winnewisser B.,  
Z. Naturforsch, 1976, 31a, n5, 438-453 (au)  
The rotational spectrum of mono ethyl  
formic acid. II cis and trans-HC(=O)SD,  
DC(=O)SH, HC(=O)<sup>24</sup>S<sup>17</sup><sub>17</sub>HEOTB



Amherst, 1976, 245262



$(CH_3)_2 CS$

1976

Gorbeau D., et al.

J. Chim. phys. et  
phys.-chim. biol., 1976,  
73, N° 7-8, p. 887-94  
(reed.  
condens.  
reac. vapor)

(all.  $H_2C^3$ ; II)

14 Б249. Микроволновый спектр дейтеропропагил-  
меркаптана  $\text{HCCCH}_2\text{SD}$ . Исследование внутреннего вра-  
щения в  $-\text{SH}$  и  $-\text{SD}$  изотопических образцах. Mіг-  
гі A. M., Scappini F., Cervellati R., Fave-  
го P. G. Microwave spectrum of deutero propargyl mer-  
captan  $\text{HCCCH}_2\text{SD}$ . Investigation of the internal rotation  
in the  $-\text{SH}$  and  $-\text{SD}$  isotopic species. «J. Mol. Spect-  
rosc.», 1976, 63, № 3, 509—520 (англ.)

1976

Измерены МВ-спектры  $\text{HCCCH}_2\text{SH}$  (I) и  $\text{HCCCH}_2\text{SD}$  (II), в торсионных состояниях  $0^\pm$  и  $1^\pm$  в области частот от 8 до 40 ГГц. При идентификации вращательных переходов использован метод МВ двойного резонанса. При анализе эксперим. данных применяли модель полужесткой молекулы с одной внутренней степенью свободы. Определены вращательные постоянные (в МГц) для изотопич. образцов I и II, соотв.:  $A^+ = 22350,46 \pm 0,33$ ,  $B^+ = 3045,98 \pm 0,04$  и  $3005,67 \pm 0,02$ ,  $C^+ = 2757,32 \pm 0,04$  и  $2725,02 \pm 0,03$ ,  $A^- = 22342,15 \pm 0,30$  и  $20533,28 \pm 0,10$ ,  $B^- = 3045,43 \pm 0,05$  и  $3005,64 \pm 0,03$ ,  $C^- = 2757,44 \pm 0,04$  и  $2725,05 \pm 0,03$ . Наилучшее согласие расчетных молек. постоянных с эксперим. получено при использовании  $r_0$ -структуры с параметрами:  $r(\text{SH}) = 1,301 \pm 0,015$  Å,  $\text{LSCC} = 113,02 \pm 0,01^\circ$ ,  $\angle \text{CSH} = 104,3 \pm 2^\circ$ , и угол внутреннего вращения к гош-конфи-  
гурации от транс-конфигурации  $119,8 \pm 3^\circ$ .

М. В. Смирнов

Мин.

Х, 1977. № 14

З Б106. Определение вращательных изомеров при помощи фотоэлектронной спектроскопии с варьируемой температурой. Новый метод в области молекулярного конформационного анализа. Muller Claus, Schaffer Wegner, Schweig Armin, Thon Nicolaus, Vermeer Hans. Detection of rotational isomers by variable temperature photoelectron spectroscopy. A new technique in the realm of molecular conformational analysis. «J. Amer. Chem. Soc.», 1976, 98, № 18, 5440—5443 (англ.)

1976

Исследован фотоэлектронный спектр (ФС) метилвинилилсульфида (I) в диапазоне т-р 20—600° С. Отнесение орбитальных потенциалов ионизации (ПИ) проведено на основе орбитальных энергий I, рассчитанных методом ССП МО ЛКАО в приближении ППДП/С с учетом 3d-АО атома S. Расчет проводился для значений диэдрич. угла (ДУ) CCSC от 0° до 180° (ДУ 0° отвечает цис-конформеру I). Четыре первых ПИ отнесены к ионизации орбиталей (в порядке возрастания энергии)  $n_{\pi}$ ,  $\pi_{c=c}$ ,  $n_{\sigma}$ ,  $\sigma_{CS}$ , причем орбиталь  $\pi_{c=c}$ , взаимодействующая по типу  $n-\pi$  сопряжена с неподеленной парой атома S и по типу сверхсопряжения с орбиталью  $\sigma_{c=s}$ , наиболее чувствительна к изме-

фотоэл.,  
спектр,  
хромат.

27.1977  
N3

нению ДУ. Отношения интенсивностей полос ионизации, отвечающих цис- и гош-изомерам I, определены численной аппроксимацией ФС линейной комбинацией гауссовых кривых. В предположении равенства сечений ионизации одной и той же МО в различных изомерах по отношению интенсивностей полос ионизации различных изомеров определены константы равновесия цис- и гош-изомеров при различных т-рах. По т-рий зависимости константы равновесия определена разность  $\Delta E$  энергий цис- и гош-I. Полученное значение  $\Delta E = -2,3 \pm 0,2$  ккал/моль (цис-форма наиболее стабильна) качественно согласуется со значением  $\Delta E$ , найденным ИК-спектроскопией, однако противоречит результатам электронной дифракции, согласно к-рым разность энергий конформеров практически равна нулю. В. Фаустов

гий,  
ния

$\text{CH}_3\text{S}_2\text{H}$

$\text{CH}_3\text{S}_2\text{CH}_3$

$\text{CH}_3\text{SH}$

$\text{CH}_3\text{S}^-$

Paphas Jan ff.

1976

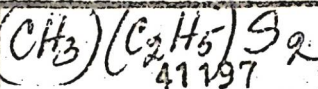
"Chem Phys" 1976, 12,  
NY, 397-405 (auor)

$\text{A}_{\text{H}^+}$ , II.

(au  $\text{H}_2\text{S}_2$ ;  $\underline{\text{m}}$ )

60422.1900

Ph, TC, MGU, Ch



1976

ХБ-12638

Van Wart H. E., Cardinaux F., Scheraga H. A. Low frequency Raman spectra of dimethyl, methyl ethyl, and diethyl disulfides, and rotational isomerism about their carbon-sulfur bonds.

"J. Phys. Chem.", 1976, 80, N 6, 625-630  
 (англ.)

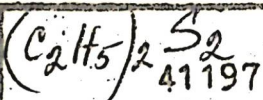
0608 ~~мкм~~ <sup>см (CH<sub>3</sub>)<sub>2</sub>S, II</sup>

578 582 600

ВИНИТИ

60422.1900

Ph, TC, MGU, Ch



1976

#4-12638

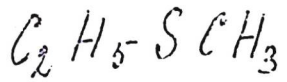
Van Wart H. E., Cardinaux F., Scheraga H.A. Low frequency Raman spectra of dimethyl, methyl ethyl, and diethyl disulfides, and rotational isomerism about their carbon-sulfur bonds.  $C_2H_5(C_2H_5)_2S_2$   
 "J. Phys. Chem.", 1976, 80, N 6, 625-630

(англ.)

0508 ник

578 582 600

ВИНИТИ



Yokozeki A.

1976

алоуха  
антикс.

"J. Phys. Chem." 1976, 80,  
N<sub>6</sub>, 618-625 (авн.)

(см.  $(CH_3)_2S$ ; II)

1976

*C<sub>3</sub>H<sub>6</sub>S*

6 Д470. Линии неплоских деформационных колебаний кольца в спектрах комбинационного рассеяния C<sub>3</sub>H<sub>6</sub>S и его дейтерированных аналогов. Wieser H., Kydd R. A Ring puckering Raman transitions of trimethylene sulfide and several deuterated analogs. «J. Raman Spectrosc.», 1976, 4, № 4, 401—407 (англ.)

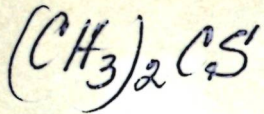
(4, n)

Изучены спектры комб. рас. (50—250 см<sup>-1</sup>) газообразных C<sub>3</sub>H<sub>6</sub>S (I) и ряда дейтерозамещенных ( $\alpha-d_2$ ,  $\beta-d_2$ ,  $\alpha,\alpha-d_4$  и  $d_6$ ) I при возбуждении лазерной линией 514,5 нм мощностью 3—9 вт. При сопоставлении спектров ИК-поглощения и комб. рас. I и его дейтерированных аналогов идентифицированы полосы неплоских деформационных колебаний 4-членного кольца I. Вычислены значения констант A ( $17,522 \pm 0,126$  см<sup>-1</sup>), B ( $-7,641 \pm 0,050$ ) и барьера инверсии I ( $255,7 \pm 1,8$  см<sup>-1</sup>). Показано, что величина барьера инверсии значительно изменяется при дейтерировании I. Библ. 9.

И. В. А.

ф. 1977  
№ 6

1974



12 Д127. Теоретическое предсказание электронного спектра тиоацетона и сравнение с родственными системами. Бгипа Pablo J., Buenker R. J., Peugimhoff S. D. Theoretical prediction of the electronic spectrum of thioacetone and comparison with related systems. «Chem. Phys.», 1977, 22, № 3, 375—381 (англ.)

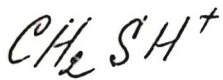
Электр.  
спектр

Выполнены неэмпирич. расчеты электронной структуры основного и ряда возбужденных состояний молекулы тиоацетона. Расчеты проводились методом наложения конфигураций в базисе молекулярных орбиталей, вычисленных в приближении Хартри—Фока—Рутана. Для состояний с заданной симметрией отбирались «ведущие»

Ф 1974 N12

определители разложения и рассматривались одно- и двухкратные возбуждения по отношению к выбранным определителям. Вычислены энергии вертикальных переходов для ряда возбужденных состояний. Первая полоса в спектре молекулы  $(CH_3)_2CS$  связана с переходом  $^1A_2 \rightarrow X^1A_1$ . Рассчитанная энергия этого перехода, равная 2,53 эв, хорошо согласуется с эксперим. значением (2,48 эв). Результаты расчетов сравниваются с данными для родственных систем, таких, как ацетон, формальдегид и тиоформальдегид.

А. И. Панин



1977

Devar. et al. Y.S. et al.

publ. J. Amer. Chem. Soc., 1944, 99,  
vol. No. 23, 7432-7439 (am.)

Coll.  $\text{CH}_2^+ - \bar{\text{H}}$

$\text{CHS}^+$

1977

Dewar et al. J. S. et al.

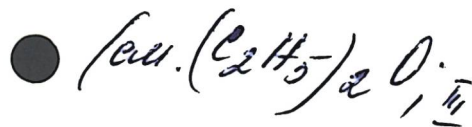
published  
recently  
in "J. Amer. Chem. Soc., 1977, 99,  
No. 23, 7432-7439 (and.)"



and  $\text{CH}_4^+ - \text{IV}$

$C_2H_5-S-C_2H_5$  1977  
 $(C_2H_5-Se C_2H_5)$  Hamada K.  
et al!

Centrifuge Spectrosc. Lett.,  
K. P. 1977, 10, 357-65



$(CH_3)_2S$  (recr. cmp.)

1977

Iijima T., Tsukiyama S.

Kimura M. XIV-9657

Bull. Chem. Soc. Jap., 1977, 50, n 10,  
2564-2567 (accr.)

The molecular structure of  
dimethyl sulfide.

Proc. Amer., 1978, 5 594 10 (9)

$(CH_2)_3S$

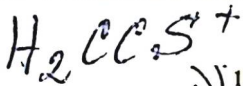
оинции 99.34

1977

5Д442. Центробежное искажение триметиленсульфида. Nielsen C. J. Centrifugal distortion in thietane. «Acta chem. scand.», 1977, A31, № 9, 791—792 (англ.)

Четырехлепестковое искажение.  
В области частот 8—40 ГГц измерены микроволны спектр молекулы триметиленсульфида для состояний  $v=0,1$  сжимающего колебания кольца. Отождествлены новые переходы Q-ветви для высоких значений  $J$ . Спектр интерпретирован с помощью колебательно-вращательного гамильтониана, включающего квартичные и секстичные постоянные центробежного искажения.

9.1948 N 5



1977

1 Б121. Основное и возбужденные состояния ради-  
каль-катиона тиокетена  $\text{H}_2\text{CCS}^+$ . Rosmus P., Solo-  
wski B., Bock H. Ground and excited states of thioke-  
tene radical cation,  $\text{H}_2\text{CCS}^{\oplus}$ . «Chem. Phys.», 1977, 22,  
№ 3, 453—458 (англ.)

Исследованы фотоэлектронные спектры (ФС) продуктов пиролиза эфира дитиоуксусной к-ты и 1,2,3-тиадиазола. Оба спектра содержат пики, к-рые можно приписать ионизации тиокетена (I), но не обнаруживаются следов ионизации его изомеров этинил меркаптана (II) и тиирена (III). Для подтверждения такой интерпретации ФС неэмпирическим методом ССП МО ЛКАО в расширенном базисе, включающем поляризац. ф-ции на атомах H, C и S и с учетом корреляц. эффектов методом парных натуральных орбиталей (ПНО) в приближении связанных электронных пар (СЭП) были рассчитаны I—III. Для I и II использована стандартная, а для III оптимизированная методом МЧПДП/З геометрии. Наиболее стабильным является I; далее следуют II (0,028) и III (0,210) (в скобках приведены энергии)

9: Ei, vi  
1 1

X. 1978  
12/1

относительно I в ат. ед.). Сделано след. отнесение состояний катион радикала I (после характера состояния приведены экспериментальная и, в скобках, рассчитанная методом ПНО—СЭП энергия в эв, относительно I):  
 $\tilde{X}(^2B_1)$  8,89 (8,85);  $A(^2B_2)$  11,32 (11,28);  $\tilde{B}(^2B_1)$  12,14 (12,44);  $\tilde{C}(^2A_1)$  14,55 (14,75);  $\tilde{D}(^2B_2)$  15,5 (15,31);  $\tilde{E}(^2A_1)$  17,2 (17,65). Четыре первых орбитальных потенциала ионизации (ПИ) имеют разрешенную колебательную структуру отвечающую антисимм. вал. кол. CCS [1450 см<sup>-1</sup> в  $\tilde{X}(^2B_1)$  и 1600 см<sup>-1</sup> в  $\tilde{A}(^2B_2)$ -состояниях], серии с частотами <1000 см<sup>-1</sup>, по-видимому, связаны с симм. вал. и деф. кол. CCS. Структура ПИ I напоминает исследованный ранее ФС кетена, единственным отличием является сдвиг ПИ I в область более высоких значений. Обсуждены основные ПИ I и роль определенных типов возбужденных конфигураций в определении ПИ I.

В. Фаустов



# $H_2CCS^+$

1977

12 Д318. Основное и возбужденные состояния катиона-радикала тиокетена  $H_2CCS^+$ . Rosmus P., Solo-  
uki B., Book H. Ground and excited states of thiokete-  
ne radical cation,  $H_2CCS^+$ . «Chem. Phys.», 1977, 22,  
№ 3, 453—458 (англ.)

Исследован НеI-фотоэлектронный спектр тиокетена  
*формод.*  $H_2CCS$  (I). I получали пиролизом дитиоуксусной кисло-  
*сти* и 2,3-тиадиазола. Вертикальные потенциалы иониза-  
ции (ПИ) I равны (в эВ): 8,89; 11,32; 12,14; 14,55; 17,2.  
В 1-й полосе фотоэлектронного спектра обнаружена ко-  
лебательная структура с частотами 1450 и 700 см<sup>-1</sup>, во  
2-й полосе — с частотами 1660 и 680 см<sup>-1</sup>, в 3-й и 4-й  
полосах с частотами 710 и 950 см<sup>-1</sup> соответственно.  
Предложенная интерпретация фотоэлектронного спектра  
I основана на сравнении экспериментальных ПИ с рас-  
считанными в рамках неэмпирич. метода ПИ I. Отмечено  
прекрасное совпадение (в пределах 0,3 эВ) экспери-  
ментальных и теоретич. ПИ I. Библ. 24. Ю. В. Чижов

Ф. 1977, № 12

$(C_5H_5)_2S$  отмечена 9393 1977

13 Б95. Электронографическое исследование строения молекулы дифенилсульфида. Rozsondai B., Moore J. H., Gregory D. C., Hargittai I. Electron diffraction investigation of the molecular structure of diphenyl sulfide. «Acta chim. Acad. sci. hung.», 1977, 94, № 4, 321—331 (англ.; рез. рус.)

Методом газовой электронографии изучались сложные серии дифенилсульфида  $SX_2$  (I), сульфоокиси  $SOX_2$  (II) и сульфона  $SO_2X_2$  (III), где  $X=F, Cl, CH_3$  или  $(CH_3)_2N$ . Для I определены длины связей  $S-C$   $1,771 \pm 0,005$ ,  $C-C$   $1,399 \pm 0,003$ ,  $C-H$   $1,089 \pm 0,008\text{Å}$  и угол  $CSC$   $103,7 \pm 1,3^\circ$ . На основании этих данных рассмотрены возможные модели структуры, отличающиеся углами поворота фенильных колец вокруг связей  $S-C$ . Только две из них отвечают эксперим. данным. Проведено сравнение полученных длии связей  $S-X$  и углов  $XSX$  в I и III в зависимости от X. Связи  $S-X$  короче в III, чем в I, когда  $X=F, CH_3$  или  $(CH_3)_2N$  и почти не различаются в случае  $Cl$  и  $C_6H_5$ . Для III значения углов  $XSX$  к таковым в I, а угол  $NSN$  принимает самое большое значение.

К. С. Мищенко

20.1978.11.13

$\text{CH}_3\text{SC}_2\text{H}_5$

(мс, крист.)

Из-17796

1977

ВР-ХIV-8784

16 Б236. Колебательные спектры и поворотная изомерия цепочечных молекул. Часть III. Этилметилсульфид и его дейтеропроизводные. Sakakibara Massaki, Matsuiwa Higoatsu, Nagada Issei, Shimanouchi Takehiko. Vibration spectra and rotational isomerism of chain molecules. III. Ethyl methyl sulfide and deuterium compounds. «Bull. Chem. Soc. Jap.», 1977, 50, № 1, 111—115 (англ.)

Измерены спектры КР  $\text{CH}_3\text{SC}_2\text{H}_5$  (I),  $\text{CD}_3\text{SC}_2\text{H}_5$ ,  $\text{CH}_3\text{SCH}_2\text{CD}_3$ ,  $\text{CH}_3\text{SC}_2\text{D}_5$  в жидк. и крист. состояниях,

9.  
и, син.  
раст.,

X. 1977. n16

а также спектр КР газ. I при т-рах от 21 до 112°. Используя силовые постоянные, полученные по методу самосогласованного поля для алифатич. сульфидов, а также данные по изотопозамещению, выполнен расчет нормальных колебаний I, с помощью к-рого проведено отнесение основных колебаний I. Показано, что в жидкости и газе I существует в виде смеси двух поворотных изомеров- транс (T) и гош (G). Линия КР  $725 \text{ см}^{-1}$  отнесена к вал. кол.  $\text{CH}_3-\text{S}$  как T, так и G-конформеров,  $678 \text{ см}^{-1}$ —вал. кол.  $\text{CH}_2-\text{S}$  T-конформера, линия  $658 \text{ см}^{-1}$ —к вал. кол.  $\text{CH}_2-\text{S}$  G-конформера. В кристалле I существует в виде G-формы. Анализ т-рной зависимости относит. интенсивности линий  $678$  и  $653 \text{ см}^{-1}$  в газе дал для значения разности энタルпий поворотных изомеров величину  $-30+50 \text{ см}^{-1}$ .

С. Б.

TSC

Louren 5314/ 1922

Sathyarayana D.N., et al.

(ent. Woelli)

Zeestwolli. Acta, 1922, 33A,  
51<sup>o</sup>-22.

(SCH)

(Ei)

[\*CS-18889]

1977

Yamabe T., et al

Bull. Chem. Soc. Japan,  
1977, 50, No, 798-801

HCSSH.

BP-XIV-9594

1978

88: 160900p Production and microwave spectra of dithioformic acid, HCSSH. Bak, B.; Nielsen, O. J.; Svanholt, H. (H. C. Oersted Inst., Univ. Copenhagen, Copenhagen, Den.). *J. Mol. Spectrosc.* 1978, 69(3), 401-8 (Eng). Hitherto unknown HCSSH was produced by pyrolysis ( $300^\circ$ ) of  $\text{HC}(\text{SH})_3$  and identified by the microwave spectrum (18-40 GHz) of its most abundant species  $\text{H}^{12}\text{C}^{32}\text{S}^{32}\text{SH}$ . Rotational transitions of this species in its ground state were assigned to a trans and a cis rotamer. Both rotamers are planar, the trans conformer being the more stable by  $\sim 350 \text{ cm}^{-1} \text{ mol}^{-1}$ . For each rotamer spectra of mols. in 2 vibrationally excited states were assigned. Frequencies of transitions of importance for a search for HCSSH in interstellar space are reported.

M. B.  
Cheung

P.A. 1978, 28, 182

1091-XIV-9594

1948

HCSSH

22 Б260. Получение и микроволновые спектры дитиомуравьиной кислоты, HCSSH. Bak B., Nielsen O. J., Svanholt H. Production and Microwave Spectra of dithioformic acid, HCSSH. «J. Mol. Spectrosc.», 1978, 69, № 3, 401—408 (англ.)

Измерены в области частот 18—40 ГГц МВ-спектры двух конформеров, транс(Т) и цис(Ц), дитиомуравьиной к-ты,  $\text{H}^{12}\text{C}^{32}\text{S}^{32}\text{SH}$  (I), в основном и первых двух возбужденных колебательных состояниях. I получен как продукт пиролиза паров  $\text{HC}(\text{SH})_3$  при прокачке паров через ячейку при  $\text{t-ре}$  300—350° и давл. от 10 до 30 мм. Для обоих конформеров и всех состояний определены врацательные постоянные и постоянные центробежного искажения. Для Т и Ц соответственно, в основном состоянии получены значения врацательных постоянных (МГц)  $A = 49226,804$  (86,0) и 48947,359 (380,0),  $B = 3447,5312$  (89) и 3498,7192 (240),  $C = -3219,4954$  (96) и 3261,4335 (300) и постоянных центробежного искажения (кгц)  $\Delta_J = 1,100$  (100) и 1,022 (420),  $\Delta_{JK} = -39,049$  (240) и  $-48,380$  (1,2). Измерены

1978.

61. б. бланф

22.1978.12.22

величины компонент дипольного момента для Т и Ц соотв.,  $\mu_a = 1,53$  и  $2,10 D$ . Из измерений относит. интенсивностей линий определена разность энергий  $E(\text{цис}) - E(\text{транс}) = 350 \text{ см}^{-1}$ . Установлено, что оба конформера имеют плоскую форму. Вычислены возможные структурные параметры Т и Ц. Вычислены частоты вращательных переходов с низкими значениями  $J$  в области частот 6—14 ГГц для Т и Ц, к-рые могут представить астрофиз. интерес.

С. Н. Мурзин

HCSSH

ВР-XIV-9594

1978

10 Д395. Синтез и микроволновый спектр дитио-  
муравьиной кислоты (HCSSH). Bak B., Niel-  
sen O. J., Svahnolt H. Production and microwave  
spectra of dithioformic acid, HCSSH. «J. Mol. Spect-  
rosc.», 1978, 69, № 3, 401—408 (англ.)

Впервые синтезирована молекула HCSSH при пиролизе метантритиола и идентифицирована по микроволновому спектру в диапазоне 18—40 Гц. Наблюдаемый спектр соответствует транс- и цис-изомерам HCSSH. Идентифицированы линии вращательных переходов с  $J \leq 6$  обоих изомеров в основном и двух возбужденных колебательных состояниях. Определены значения вращательных и двух квартичных центробежных постоянных и дипольного момента ( $\mu_a$ (транс) = 1,53,  $\mu_a$ (цис) = 2,10 ед. Дебая). Показано, что транс-изомер на  $350 \text{ см}^{-1}$  стабильнее цис-изомера. Обсуждается возможность обнаружения молекулы HCSSH в межзвездной среде.

М. Р. Алиев

Синтез,  
М. Р. Алиев

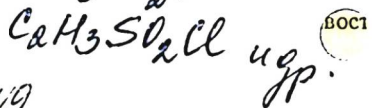
Ф; 1978, № 10

C-H-S-  
Соедин.

Структура  
молекул

Cells. папка Hargittai 1978  
9 Б31. Структура сульфоновых молекул. II. Изменения в структуре. Hargittai István. Szulfonmolekulák szerkezete. II. Szerkezeti változások. «Kém. közl.» 1978, 50, № 4, 457—488 (венг.; рез. англ.)

Статья обзорного характера. Проведен сравнительный анализ газофазного молек. строения ряда сульфоновых соединений (ряд А)  $\text{SO}_2\text{X}_2$ ,  $\text{RSO}_2\text{X}$  и  $\text{R}_2\text{SO}_2$ , где  $\text{X}=\text{F}, \text{Cl}, \text{R}=\text{CH}_3, \text{CH}_2=\text{CH}, \text{C}_6\text{H}_5, \text{CH}_3\text{O}, (\text{CH}_3)_2\text{N}, \text{O}=\text{C}=\text{N}$ . В соответствии с эксперим. данными в ряду А преобладают структуры с заторможенной формой, кроме молекул с син-ориентацией двойной связи в R относительно одной из связей  $\text{S}=\text{O}$ , характеризующихся зашлоненной формой. Обсуждается влияние электроотри-



2.1979, N9

цательности X, строения R' и различных внутримолек. взаимодействий на длины связей и валентные углы у атоме S. Структурные изменения, наблюдаемые в ряду A, обусловлены гл. обр. отталкиванием электронных пар и невалентными взаимодействиями. Сделан вывод, что расчеты в рамках модели отталкивания электронных пар валентных оболочек не объясняют наблюдаемых структурных отличий. Анализ кристаллографич. данных для большого числа соединений типа  $R'SO_2$  и  $R'SO_3R''$ , где R — цикл, включающий атом S, R' и R'' — ароматич. и др. радикалы, указывает на более слабые структурные различия между соединениями в кристалле по сравнению с газ. фазой. Путем сравнения данных о строении дизамещ. сульфидов, сульфоксидов [заместители F, Cl, CH<sub>3</sub> и (CH<sub>3</sub>)<sub>2</sub>N] и родственных соединений ряда A изучено влияние валентного состояния серы на длины связей и валентные углы. Исследованы закономерности изменения молек. строения в рядах кремний-, фосфор- и серусодержащих соединений и отмечено, что в случае небольших молекул наблюдаемые закономерности правильно воспроизводятся данными неэмпирич. квантовохим. расчетов.

А. Устенко

$\text{CH}_2\text{CH}_3\text{H}$

ommisch 6620

1978

$\text{CH}_2\text{C}_2\text{H}_3\text{H}$

Kao J.,

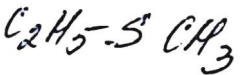
ugr.

J. Amer. Chem. Soc.,

1978, 100 (15), 4695-93

Ab Initio Study of the ...

1978



Манисуда,  
Сибукэдза

3 Б105. Молекулярная структура и конформация этилметилсульфида, изученная методом газовой электронографии. Kazuko Oyanagi, Kozo Kuchitsu. Molecular structure and conformation of ethyl methyl sulfide as studied by gas electron diffraction. «Bull. Chem. Soc. Jap.», 1978, 51, № 8, 2243—2248 (англ.). Методом газовой электронографии изучена структура молекулы этилметилсульфида (I). Установлено, что в газовой фазе I присутствуют транс-гош-конформеры с относит. содержанием  $0,25 \pm 15$  транс при  $20^\circ$ . Двугранный угол гош-конформера  $66 \pm 9^\circ$ . Найдены след. значения межъядерных расстояний ( $r_g$ , Å) и углов ( $\angle_\alpha$ ): средн. расстояние C—S (метил) и C—S (метилен)  $1,813 \pm 0,004$ , C—C  $1,536 \pm 0,008$ , C—H  $1,111 \pm 0,008$ ,  $\angle CSC$   $97,1 \pm 1,1^\circ$ ,  $\angle SCC$   $114,0 \pm 0,5^\circ$ ,  $\angle HSC$   $109,6 \pm 1,4^\circ$ . Путем совместной обработки электронографич. и микроволновых (см. «J. Amer. Chem. Soc.», 1976, 98, 8338) данных разрешены два расстояния C—S: C—S (метил)  $1,806 \pm 0,027$  Å и C—S (метилен)  $1,818 \pm 0,027$  Å.

В. Спиридовонов

Х. 1979, № 3

$(CH_3)_3S$

1978

$(CH_3)_2SO_2$

89: 169398j Theoretical study of the electron structure and spectra of dimethyl sulfide, sulfoxide, and sulfone. Khaustova, V. I. (Sib. Fiz.-Tekh. Inst., Tomsk, USSR). *Izv. Vyssh. Uchebn. Zaved., Fiz.* 1978, 21(5), 19-22 (Russ). The electronic structures of the title compds. was calcd. by the multiconfigurational approxn. and spectroscopic parametrization within the CNDO method. The HOMO values and the lower singlet-singlet transition energies are given. The increase in ionization potential in the series  $Me_2S < Me_2SO < Me_2SO_2$  and the obsd. hypsochromic shift of the long-wave absorption band are related to delocalization of electron d. from S to O atom. The population of 3d AO of S atom increases with increasing valency of the latter. In  $Me_2SO_2$ , 3d AO are already populated in the ground state. M. Kalfus

Kb. sect.  
Räcker

④ 18



C.A. 1978, 89, N. 20

$C_2H_2SH^+$  [omega 6675] 1978

$C_2H_2SH$  Zollman Peter et al

J. Phys. Chem. 1978, 82,  
172, 1403-1406

предс  
емпир  
и 81. измод

P-1978N22

all.  $C_2H_2F^+ - \bar{H}$

*CH<sub>3</sub>SCS<sub>2</sub>*

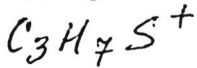
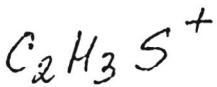
*1978*

*Class. Spect.*

*J.*

89: 206686z Vibrational spectra and force constants of potassium methylthioxanthate-d<sub>0</sub> and -d<sub>3</sub>. IR spectra of methylthioxanthate complexes with nickel(II), palladium(II) and platinum(II). Mattes, R.; Scholten, K. (Anorg. Chem. Inst., Univ. Muenster, Muenster, Ger.). *Spectrochim. Acta, Part A* 1978, 34A(2), 181-4 (Ger). The IR and Raman spectra of K[MeSCS<sub>2</sub>]<sup>-</sup>, and the IR spectra of square-planar M(MeSCS<sub>2</sub>)<sub>2</sub> (M = Ni, Pd, Pt) were detd. and assigned. Force consts. were calcd. for the in plane vibrations of [MeSCS<sub>2</sub>]<sup>-</sup>. Frequency shifts between the free and complexed ligand show a significant contribution of the canonical form MeS<sup>+</sup>:CS<sub>2</sub><sup>2-</sup> to the structure of the complexes.

*C.A.1978,89,N24*



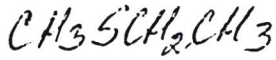
1978

8 Б104. Определение структуры ионов из спектров, полученных методом активирующих столкновений. McLafferty F. W., Wachs Timothy, Körre G Claus, Dymerski P. P., Bockhoff F. M. Ion structure determination from collisional activation spectra. «Adv. Mass Spectrom. Vol. 7B. Proc. 7th Int. Mass Spectrom. Conf., Florence, 1976». London, 1978, 1231—1233 (англ.)

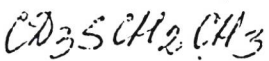
Обзор работ, посвященных установлению структуры газофазных орг. ионов методом спектроскопии активирующих столкновений. Обсуждены вопросы технического оформления метода, его соотношение с традиц. масс-спектральными методиками изучения структуры ионов. Приводятся данные исследования строения ионов  $C_3H_5O^+$ ,  $C_2H_5S^+$ ,  $C_3H_7S^+$ ,  $C_7H_7^+$ ,  $C_8H_9^+$ ,  $C_4H^+$  и  $C_3H_7^+$ . Библ. 15.

Д. В. Загоревский

X. 1980. № 8



1978.

Steimannscher T.  
et al.n<sub>D<sup>25</sup></sub>(CH<sub>3</sub>SCl<sub>2</sub>) J. Phys. and Chem.

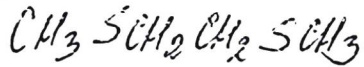
Ref. Data, 1978, 7 (4)

(j)

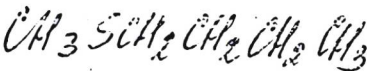
7323-1443

Medicinal Yacca and medicinal  
Pocotococca - Yacca G.

(See Medicinal; 15)



1978

Shimamotochi T.,  
et al.

439

J. Phys. and Chem. Ref.

(ii) Data, 1978, 7(4), 1323-1483

Madhuca wynaadensis vellozii  
Kundoor  
Year 9.

(See Madhuca; ii)

*C<sub>2</sub>H<sub>2</sub>S*

1978

10 Б53. Неэмпирические молекулярно-орбитальные расчеты тиирена: термодинамическая устойчивость пяти изомеров C<sub>2</sub>H<sub>2</sub>S. Bergnardi F., Strausz O. P., Gosavi R. K., Mezey P. G., Goddard J. D., Csizmadia I. G. Ab initio molecular orbital calculations on thirene: the thermodynamic stability of five C<sub>2</sub>H<sub>2</sub>S isomers. «Chem. Phys. Lett.», 1978, 53, № 2, 211—214 (англ.)

Выполнены неэмпирич. расчеты с полной оптимизацией геометрии низших синглетных и триплетных состояний молекул тиирена (I) и его изомеров тиоформилметиlena (II), этинилтиола (III), тиокетена (IV) и тииренлидена (V), а также ацетилены (VI) и его изомера винилидена (VII) в гауссовом базисе типа ОСТ-4ГФ. Расчет синглетных состояний производился ограниченным, а триплетных — неограниченным методом Харт-

раб. исх.  
расчет  
Измер; Е.

Х. 1978, № 10

ри — Фока. Приведены оптимизированные геометрии и полные энергии молекул указанных соединений. Из 10 исследованных состояний молекул состава  $C_2H_2S$  семь, включая синглетный I, лежат ниже границы диссоциации на VI и  $S(^3P_2)$  и все, кроме триплетного III — ниже границы диссоциации на VI и  $S(^1D_2)$ . Найдено, что у всех изученных молекул, кроме V, углерод-углеродные связи в триплетном состоянии длиннее, чем в синглетном. Расчеты дают след. энергетич. разности для изомеров  $C_2H_2S$  (относительно наиболее стабильного из 10 состояний — синглетного III, ккал/моль):  
а) синглеты 1,0 (IV), 15,1 (II), 30,4 (V), 30,6 (I);  
б) триплеты 6,3 (II), 23,8 (IV), 38,4 (V), 48,4 (I), 122,7 (III). Полученные результаты качественно хорошо согласуются с имеющимися эксперим. данными.

В. Я. Беспалов

*C<sub>2</sub>H<sub>2</sub>S*

*1978*

5 Д166. Расчеты тиирена неэмпирическим методом молекулярных орбиталей: термодинамическая стабильность пяти изомеров C<sub>2</sub>H<sub>2</sub>S. Strausz O. P., Gossavi R. K., Bergnaudi F., Mezey P. G., Goddard J. D., Csizmadia I. G. Ab initio molecular orbital calculations on thirene: the thermodynamic stability of five C<sub>2</sub>H<sub>2</sub>S isomers. «Chem. Phys. Lett.», 1978, 53, № 2, 211—214 (англ.)

Неэмпирическим методом ССП МО ЛКАО в базисе гауссовских ф-ций OCT-4ГФ исследовано электронное строение тиирена (I) и 4 его изомеров: тиоформилметилена (II), этинилтиона (III), тиокетена (IV) и циклич. изомера I, содержащего карбеновый атом С (V). Рассмотрены синглетные и триплетные состояния и проведена полная оптимизация геометрии. Обнаружено, что относит. стабильность убывает в ряду III(S<sub>0</sub>)≈IV(S<sub>0</sub>)>II(T<sub>0</sub>)>II(S<sub>1</sub>)> IV(T<sub>1</sub>)>V(S<sub>0</sub>)≈I(S<sub>0</sub>)>V(T<sub>1</sub>)>I(T<sub>1</sub>)≈III(T<sub>1</sub>). 5 наиболее стабильных систем, включая I, по энергии расположены ниже диссоциационного предела (на ацетилен и S(<sup>3</sup>P<sub>2</sub>)) и, за исключ.

*Эндоформич  
Системы.*

*9.1978, 15*

чением III ( $T_1$ ), ниже предела диссоциационного распада на ацетилен и  $S(^1D_2)$ . Приведена равновесная геометрия. Для сравнения проведены расчеты ацетилена (VI) и винилиденкарбена (VII). Отмечено, что для I—IV, VI и VII длины связей C—C в триплетном состоянии больше, чем в синглетном. Отмечено, что различия в энергиях синглетных состояний I и V составляют только 0,3 ккал/моль, тогда как для изомеров оксириена это различие достигает 11,3 ккал/моль. В то же время в случае триплетных состояний I менее стабилен, чем II на 42,1 ккал/моль и менее стабилен, чем V, на 10 ккал/моль. Полученные результаты качественно согласуются с имеющимися эксперим. данными.

В. Л. Лебедев

Be4.

$\text{CH}_3\text{SSCH}$

Лоттисек

7033 | 1978

$\text{CH}_3\text{OOCCH}_3$

$\text{CH}_3\text{OSCH}_3$

И. И. Д.  
сил. мост.

№ 2

Ф. 1949, № 4

Д 177. Анализ нормальных координат, термодинамические функции и расчеты методом ППДП/2 для некоторых алкилформатов. Randhawa H. S. Normal coordinate analysis, thermodynamic functions and CNDO/2 calculations on some alkylformates. «Z. Phys. Chem.» (BRD), 1978, 109, Teil 1, 1—7 (англ.; рез. нем.)

Выполнен анализ нормальных координат плоскостных колебаний молекулы метилтионформата  $\text{CH}_3\text{OSCH}_3$ . По литературным данным для частот колебаний вычислены силовые постоянные поля Юри — Бредли и распределение потенц. энергии колебаний по внутренним колебательным координатам, дано отнесение частот по форме колебаний. Вычислены значения термодинамич. ф-ций для метилхлорформата, метилтионформата и метилтионформата — при т-рах 100—1500° К. Методом ТПДП/2 вычислена частота валентных колебаний связи  $\text{C}=\text{O}$  этих молекул и получено хорошее согласие с экспериментом.

М. Р. Алиев

09.36491 1979  
 $(CH_3)_2S_4$

1 Б178. Анализ силового поля тетрасульфидов:  $H_2S_4$  и  $(CH_3)_2S_4$ . Askagi M. Force field analysis of acyclic tetrasulfides:  $H_2S_4$  and  $(CH_3)_2S_4$ . «Tetrahedron Lett.», 1979, № 34, 3173—3174 (англ.)

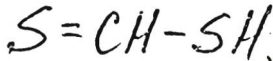
С использованием силового поля Аллингера с сотр., найденного ранее, проведены с использованием про-

грамммы минимизации энергии расчеты конформаций тетрасульфидов. Определены относит. энергии ротамеров  $H_2S_4$  (I) и  $(CH_3)_2S_4$  (II). Наиболее стабильными являются гош-конформеры I и II. Для этих конформеров найдены оптимизированные геометрич. параметры:  $r_{ss}=2,024$  Å,  $r_{sc}=1,860$  Å,  $LSSS=105,9^\circ$ ,  $LSSC=102,9^\circ$ ,  $SSSC=180,2^\circ$ ,  $LSCH=100,1^\circ$ . Эти параметры согласуются с эксперим. данными по диметилдисульфиду и диметилтрисульфиду (эксперим. сведения о геометрич. параметрах I и II в лит-ре отсутствуют). Исследовано изменение энергии в зависимости от антидвухгранного угла от  $180$  до  $0^\circ$  с шагом в  $20^\circ$ . Максимумы получены для 3-х форм, аналогичных и-бутану: гош, анти и за- слоненного конформера.

Е. Разумова

Х. 1980. № 2

1979



6 Б93. Потенциал вращения вокруг связей  $C(sp^2)-S$ : электронографические результаты для  $O=C(SCH_3)_2$  и неэмпирические расчеты  $O=CH-SH$  и  $S=CH-SH$ . Auberg E., Samdal S., Scip H. M. Potential for rotation about  $C(sp^2)-S$  bonds: electron-diffraction results for  $O=C(SCH_3)_2$  and ab initio calculations on  $O=CH-SH$  and  $S=CH-SH$ . «J. Mol. Struct.», 1979, 57, 95—104 (англ.)

исследователь  
процессов

Методом газовой электронографии изучена структура молекулы  $O=C(SCH_3)_2$  (I). Полученные данные согласуются с предположением о существовании син-конформера I. Найдены след. значения для наименее важных межъядерных расстояний ( $r_a$ , Å) и углов:  $C=O$  1,206(4),  $C_{\text{карб}}-S$  1,777(3),  $C_{\text{Me}}-S$  1,802(4),  $\angle OCS$  124,9(2),  $\angle CSC$  99,3(4)°. В результате неэмпирич. расчетов методом МО ССП молекул  $O=CH-SH$  и  $S=CH-SH$  установлено, что минимумы энергии отвечают син- и анти-конформерам, соответственно.

B. Спиридоно

□

Х. 1980. № 6

*SCCH<sub>2</sub>*

сент. 4446

1979

ε Д342. Микроволновые спектры тиокетена и четырех его изотопических разновидностей. Bak Børge, Nielsen Ole J., Svanholt Henrik, Holm Агде, Touborg Nils H., Krantz A., Laurenci J. Microwave spectra of thioketene and four of its isotopic species. «Acta chem. scand.», 1979, A33, № 2, 161—165 (англ.)

В диапазонах 10—15 и 18,6—40 ГГц исследованы микроволн. спектры молекул  $\text{SCCH}_2$ ,  $\text{SCCHD}$ ,  $\text{S}^{13}\text{CCH}_2$ ,  $\text{S}^{34}\text{CCH}_2$  и  $\text{SC}^{13}\text{CH}_2$ . Идентифицированы линии вращательных переходов с  $J < 26$  в основном колебательном состоянии. Определены значения вращательных постоянных. Для  $\text{SCCH}_2$  получено  $A = 272\,964$ ,  $B = 5659,456$ ,  $C = 5544,500$  МГц.

М. Р. Алиев

*М. Р. Алиев*

Ф. 1979/18

$H_2C_2S$

DM. 7446

14 Б239. Микроволновые спектры тиокетена и четырех его изотопических образцов. Bak Børge, Nielsen Ole J., Svanholt Henrik, Holm Arne, Touberg Nils H., Krantz A., Lauren i J. Microwave Spectra of Thiotetene and Four of Its Isotopic Species. «Acta. chem. scand.», 1979, A33, № 2, 161—165.  
(англ.)

Измерены в области частот от 18,6 до 40,0 ГГц МВ-спектры пяти изотопич. образцов тиокетена  $H_2^{12}C = ^{12}C = ^{32}S$  (I),  $H_2^{13}C = ^{12}C = ^{32}S$  (II),  $H_2^{12}C = ^{13}C = ^{32}S$  (III),  $H_2^{12}C = ^{12}C = ^{34}S$  (IV) и  $H(D)^{12}C = ^{12}C = ^{32}S$  (V) в основном колебательном состоянии. Исследованные образцы получены в результате пиролиза тиадиазола при  $T=1100^\circ K$ . Для I, II, III, IV и V, соотв., определены вращательные постоянные (в МГц)  $B = 5659,4560(73)$ ,  $5456,6996(70)$ ,  $5642,6160(65)$ ,  $5531,5592(86)$  и  $5323,0717(130)$ ,  $C = 5544,5000(71)$ ,  $5349,7653(68)$ ,  $5528,3412(63)$ ,  $5421,6836(83)$  и  $5176,9949(120)$ . Для различных предполагаемых значений дефекта инерции вычислены вращательная постоянная  $A$  и постоянные центробежного искажения.

С. Н. Мурзин

Х. 1949 N 14

HCS<sub>2</sub>H

оттиски 8127

1979

11 Д578. Вращательные спектры изотопических дитиомуравьинных кислот со структурой транс-HCSSH. Расчеты ab initio цис/трансструктур, энергий, дипольных моментов и торзионного барьера. Bak B., Niel-sen O., Svanholm H., Christiansen J. J. Rotational spectra of isotopic di-thioformic acids with a structure of TRANS HCSSH. Ab initio estimates of cis/trans structures, energies, dipole moments and torsional Barrier. «J. Mol. Spectrosc.», 1979, 75, № 1, 134—143 (англ.)

Получены микроволн. спектры паров дитиомуравьинных кислот HCS<sup>34</sup>S<sup>32</sup>H, HCS<sup>32</sup>S<sup>34</sup>H, HCS<sup>32</sup>S<sup>32</sup>D в транс-конформации и HCS<sup>32</sup>S<sup>32</sup>D в цисконформации в области 18,6—40 ГГц. Приведены частоты наблюденных линий и их отнесение к вращательным переходам молекул в

М.Н

90.1979, VII

основном колебательном состоянии. Определены врача-  
тельные постоянные, константы центробежного растя-  
жения и моменты инерции. По моментам инерции изо-  
топич. молекул с использованием литературных данных  
о структуре молекул найдены длины связей. Эти же ве-  
личины рассчитаны методом ЛКАО—МО самосогласо-  
ванного поля, при этом определены энергии изомеров  
и барьер для внутреннего вращения, равный  
 $\sim 4000 \text{ см}^{-1}$ . Найдены дипольные моменты молекул.  
Библ. 13.

М. Тонков

HCSSH

документ 8127

1979

20 Б220. Вращательные спектры изотопических производных дитиомуравьиной кислоты со структурой транс-HCSSH. Оценки геометрий цис/транс структур, энергий, дипольных моментов и торсионного барьера неэмпирическим. Bak B., Nielsen O., Svanholm H., Christiansen J. J. Rotational spectra of isotopic di-thioformic acids with a structure of TRANS HCSSH. Ab initio estimates of cis/trans structures, energies, dipole moments, and torsional barrier. «J. Mol. Spectrosc.», 1979, 75, № 1, 134—143 (англ.)

Измерены в области частот от 18,6 до 40 ГГц МВ-спектры транс-HCSSH,  $\text{HC}^{32}\text{S}^{32}\text{SH}$  (I),  $\text{HC}^{34}\text{S}^{32}\text{SH}$  (II),  $\text{HC}^{32}\text{S}^{34}\text{SH}$  (III),  $\text{HC}^{32}\text{S}^{32}\text{SD}$  (IV) и цис-HC<sup>32</sup>S<sup>32</sup>SD (V) в основном колебательном состоянии. Анализ спектров выполнен с учетом эффекта центробежного искажения. Для I, II, III, IV и V, соотв., вращательные постоянные равны (МГц)  $A = 49\,226, 804(86,0); 49\,130,328 (110,0); 49\,572,301 (170,0); 41\,649,500 (84,0)$  и  $45\,263,816 (310,0)$ .

Х. 1979/1220

$B=3447,5312$  (89);  $3346,230$  (100);  $3346,9168$  (180);  
 $3422,1357$  (130) и  $3382,9189$  (300);  $C=3219,4954$  (96);  
 $3130,2542$  (100);  $3131,2455$  (160);  $3160,0450$  (120) и  
 $3144,9742$  (300). При ряде допущений с использованием  
итерационного подхода определена структура  $I$ :  $r[S_{(1)}—$   
 $H_{(1)}]=1,357(2)$  Å,  $r[S_{(1)}...S_{(2)}]=3,015(1)$  Å,  $r[S_{(1)}—$   
 $C]=1,733(5)$  Å,  $r[S_{(2)}=C]=1,625(4)$  Å, углы  $H_{(1)}S_{(1)}C$   
 $94,3(2)$ ,  $S_{(1)}CS_{(2)}=127,8(3)$ ;  $S_{(2)}S_{(1)}H_{(1)}=69,2(5)$ °. Неэмпир.  
ч. методом получены оценки геометрич. параметров  
моделей цис- и транс-изомеров HCSSH, разности энергий  
 $E(\text{цис})—E(\text{транс}) \sim 685$  см $^{-1}$ , барьера транс $\rightarrow$ цис  
торсиионной конверсии 4090 см $^{-1}$  и цис $\rightarrow$ транс конвер-  
сии 3540 см $^{-1}$  и дипольного момента  $I$   $\mu_a=1,47 D$ ,  $\mu_b=$   
 $=0,25 D$ .

С. Н. Мурзин

икал



1979

5 Б99. Перегруппировки и распад ионов  $[C_2H_5S]^+$ .  
Вгоег W. J., Werenga W. D., Nieuwpoort W. C.  
Rearrangements and fragmentations of  $[C_2H_5S]^+$  ions.  
«Org. Mass Spectrom.», 1979, 14, № 10, 543—549 (англ.)

Изучение масс-спектров дейтероаналогов  $EtSMe$  показало, что распад молек. иона этого соединения в бесполевой области масс-спектрометра с потерей  $CH_3$  приводит к ионам  $C_2H_5S^+$  в двух изомерных формах —  $(MeS=CH_2)^+$  (I) и  $(MeCH=SH)^+$  (II). Дальнейший распад образовавшихся ионов включает потерю  $C_2H_2$ ,  $H_2S$  или  $CH_4$ , причем этим процессам предшествует квазистатистич. перераспределение атомов водорода. Предположено, что распад ионов I и II проходит через стадию образования циклич. иона — протонированного по атому S тиациклогептана. Легкость такой измеризации подтверждается близостью величин энергий атомизации (рассчитаны методом МО) и энергий появления всех трех изомеров.

Д. В. Загоревский

перегруппир  
и распад  
и пол. исч.  
изомеров.

Х. 1980. N5

*C<sub>2</sub>H<sub>5</sub>-CH<sub>3</sub>S*

Ommelk 7659 1949

90: 112341b Analysis of torsional spectra of molecules with two internal C<sub>2v</sub> rotors. II. Low frequency vibrational spectra, methyl torsional potential functions, and internal rotation of ethyl methyl sulfide. Durig, J. R.; Compton, D. A. C.; Jalilian, M. R. (Dep. Chem., Univ. South Carolina, Columbia, S. C.). *J. Phys. Chem.* 1979, 83(4), 511-15 (Eng). The IR and Raman spectra of gaseous EtMeS were investigated below 500 cm<sup>-1</sup>. A no. of torsional transitions were obsd. and were assigned on the basis of an equil. between the gauche and high energy s-trans conformers. The asym. potential function for the CH<sub>2</sub>-S torsion was calcd. from obsd. transitions which leads to a value for the enthalpy difference between s-trans and gauche conformers of 46 ± 14 cal/mol. The values of the potential coeffs. were: V<sub>1</sub> = -44.7 ± 5.7 cm<sup>-1</sup> (-128 cal/mol); V<sub>2</sub> = 23.7 ± 5.9 cm<sup>-1</sup> (68 cal/mol); V<sub>3</sub> = 1230 ± 8 cm<sup>-1</sup> (3517 cal/mol); V<sub>6</sub> = -124.7 ± 2.8 cm<sup>-1</sup> (-357 cal/mol). One series of torsional transitions in the Raman spectrum and another in the IR spectrum were assigned to the coupled Me torsions of gauche-EtMeS which lead to barrier heights for the C-Me and S-Me sym. torsions of 3.33 and 2.05 kcal/mol, resp.

(*cf. Vg*)  
nomencl.  
p-1543

PA.1949, 99N14

*CH<sub>3</sub>SCH<sub>2</sub>H<sub>5</sub>* отмечена 7669

1979

7 Д460. Анализ полос крутильных колебаний в спектрах молекул с двумя внутренними группами вращения с симметрией  $C_{3v}$ . Ч. 11. Низкочастотные колебательные спектры, потенциальные функции крутильного колебания метильных групп и внутреннее вращение в этилметилсульфиде. Durig J. R., Compton D. A. C., Jallian M. R. Analysis of torsional spectra of molecules with two internal  $C_{3v}$  rotors. 11. Low frequency vibrational spectra, methyl torsional potential functions, and internal rotation of ethyl methyl sulfide. «J. Phys. Chem.», 1979, 83, № 4, 511—515 (англ.)

Изучены ИК-спектры (500—40 см<sup>-1</sup>) газообразного этилметилсульфида (I) и спектры комб. рас. I при давл. 160 мм рт. ст. и возбуждении лазерной линией 514,5 нм мощностью 1,5 вт. Зарегистрированные полосы крутильных колебаний сопоставлены движениям фрагментов I в гош- и s-трансконформациях. Вычислены асимметрич. потенц. ф-ции вращения групп CH<sub>2</sub>—S и определена разность энталпий между s-транс- и гош-конформациями I, равная 46±14 кал/моль. Значения

рассчиту, 1979, № 4

потенц. коэф.  $V_1$ ,  $V_2$ ,  $V_3$  и  $V_6$  I составляют —128, 68, 3517 и —357 кал/моль соответственно. Идентифицированы полосы крутильных колебаний метильных групп в спектре гошконформации I. Определены величины барьеров симметричных крутильных колебаний групп  $C—CH_3$  и  $S—CH_3$ , равные 3,33 и 2,05 ккал/моль соответственно. Ч. 10. См. Durig J. R. et al. «Indian J. Pure Appl. Phys». 1978, 16, 385. Библ. 11. И. В. А.

ст.  
ов

*H<sub>2</sub>C=C=S*

*отм. 85/76*

*1993*

З Д429. Микроволновый спектр,  $\tau_s$ -структура и дипольный момент тиокетена  $\text{H}_2\text{C}=\text{C}=\text{S}$ . The microwave spectrum, substitution structure, and dipole moment of thioketen,  $\text{H}_2\text{C}=\text{C}=\text{S}$ . Georgiou K., Kroto H. W.; Landsberg B. M. «J. Mol. Spectrosc.», 1979, 77, № 3, 365—373 (англ.)

*М.Р. Алиев*

В диапазоне 26,5—40 Гц исследованы микроволны. спектры нестабильных молекул  $\text{H}_2\text{C}=\text{C}=\text{S}$  и 5 ее изотопозамещенных, полученных в реакциях пиролиза в потоке. Идентифицированы линии вращательных переходов с  $J \leq 4$  в основном колебательном состоянии. Определены значения вращательных постоянных, из которых методом замещения вычислены структурные параметры  $\text{H}_2\text{C}=\text{C}=\text{S}$ :  $\text{C}=\text{S}=1,554$ ;  $\text{C}=\text{C}=1,314$ ;  $\text{C}-\text{H}=1,090 \text{ \AA}$ ,  $\text{HCH}=120,3^\circ$ . Найдена величина дипольного момента:  $\mu=1,02$  ед. Дебая. Обнаружен и идентифицирован также ряд линий первых возбужденных состояний колебаний  $v_9$  ( $320 \text{ см}^{-1}$ ),  $v_8$  ( $650$ ),  $v_6$  ( $410$ ) и  $v_5$  ( $680$ ).

М. Р. Алиев

*ВФИ-ХИИ-94/86*

*Ф.1980.13*

C-H-S (содружеск.)

1980

10 Б113. Некоторые аспекты фотоэлектронной спектроскопии сераорганических соединений. Gleiter Rolf, Spang et al., Larsen Jens. Some aspects of the photoelectron spectroscopy of organic sulfur compounds. «Top. Curr. Chem.», 1979, 86, 139—195 (англ.)

Обзор, посвященный исследованию с помощью фотоэлектронной спектроскопии орг. молекул, содержащих серу (в основном рассмотрены соединения двухвалентной серы). Кратко изложены основы метода и критерии, используемые для интерпретации спектров. Приведено обсуждение для алкилсульфидов, спиросоединений, дисульфидов, арилалкилсульфидов, тиокарбонилов и нек-рых соединений поливалентной серы. Обсуждены взаимодействия через пространство и наблюдаемые в рядах родственных соединений тенденции. Табулированы эксперим. потенциалы ионизации более 100 молекул. Библ. 132.

М. Гофман

обзор.  
Фотоэл.  
спектр.

Х-1980.110

1979

*C<sub>2</sub>H<sub>4</sub>S<sub>2</sub>*

№ Д424. Матричная изоляция и конформация кольца 1,3-дитиэтане. Matrix-isolation studies and ring conformation of 1,3-dithietane. Kalasinsky V. F., Block E., Powers D. E., Harris W. C. «Appl. Spectrosc.», 1979, 33, № 4, 361—364 (англ.)

Изучены спектры ИК-поглощения ( $4000\text{--}200\text{ см}^{-1}$ ) и комб. рас. твердого 1,3-дитиэтана (I) и молекул I, изолированных в Аг-матрице при т-ре  $18^\circ\text{ К}$  и возбуждении рассеяния лазерной линией 488,0 им. Проведено сопоставление частот колебаний в спектрах комб. рас. и ИК-спектрах I. Предположено, что совпадение частот ряда полос в спектрах ИК-поглощения и комб. рас. матрично-изолированных I согласуется с искажением кольца I и симметрией молекул I типа  $C_{2v}$ . Отмечено соблюдение правила альтернативного запрета в спектрах твердого I после отжига. Сделан вывод, что спектры I при матричной изоляции соответствуют колебаниям свободных молекул, тогда как повышение симметрии I до

*Синтез  
близко*

Ф.1980.№

$D_{2h}$  в твердом состоянии после отжига образцов обусловлено плоскостным строением I и соответствует упорядоченному расположению I в кристаллич. решетке.

И. В. А.

Рт

$H_2C=C=S$

отмечен 8576

1979

5 Б235. Микроволновый спектр, структура замещения и дипольный момент тиокетена,  $H_2C=C=S$ . Georgiou K., Kgroto H. W., Landsberg B. M. The microwave spectrum, substitution structure, and dipole moment of thioketen,  $H_2C=C=S$ . «J. Mol. Spectrosc.», 1979, 77, № 3, 365–373 (англ.)

Измерены в области частот от 26,5 до 40,0 ГГц МВ-спектры тиокетена,  $H_2C=C=S$  (I), и пяти его изотопозамещенных  $HDC=C=S$  (II),  $D_2C=C=S$  (III),  $H_2C=C=^{34}S$  (IV),  $H_2C=^{13}C=S$  (V),  $H_2^{13}C=C=S$  (VI), в основном колебательном состоянии и I в четырех возбужденных колебательных состояниях. Образцы тиокетена получены из  $[(CH_3)_2C=S]_3$  в результате пиролиза при  $T = 1000^\circ$ . С учетом эффекта центробежного искажения для I, II, III, IV, V и VI соотв. определены вращательные постоянные (МГц)  $B = 5659,450(19)$ ,  $5323,082(45)$ ,  $5039,7599(27)$ ,  $5531,555(18)$ ,  $5642,620(19)$  и  $5456,715(14)$ ;  $C = 5544,497(19)$ ,  $5176,999(45)$ ,  $4863,1018(27)$ ,  $5421,675(18)$ ,  $5528,357(19)$  и  $5349,778(14)$ . Из из-

ч. б. сканер

μ, μν.

2.1980.15

Б9-Х/и-9486

мерений относит. интенсивностей МВ-линий определены частоты колебательных возбужденных состояний ( $\text{см}^{-1}$ )  $v_9(b_2) = 320(50)$ ,  $v_8(b_2) = 650(100)$ ,  $v_6(b_1) = 410(50)$ ,  $v_5(b_1) = 680(100)$ . По эффекту Штарка для двух переходов определены дипольный момент  $\mu = 1,02(1) D$ . Полученные МВ-данные использованы для расчета структурных параметров  $r_s(\text{C=S}) = 1,554(3) \text{ \AA}$ ,  $r_s(\text{C=C}) = 1,314(3) \text{ \AA}$ ,  $r_s(\text{C=H}) = 1,090(6) \text{ \AA}$ , угол  $\text{HCH} = 120,3(5)^\circ$ .

С. Н. Мурзин

*C<sub>2</sub>H<sub>4</sub>S<sub>2</sub>*

4 Б223. Матричные исследования и конформация цикла 1,3-дитиэтана. Kalasinsky V. F., Block E., Powers D. E., Harris W. C. Matrix-isolation studies and ring conformation of 1,3-dithietane. «Appl. Spectrosc.», 1979, 33, № 4, 361—364 (англ.)

Исследованы спектры ИК-поглощения и КР-аморфного твердого, кристаллического и изолированного в матрице Ar при —255° 1,3-дитиэтана (I). Использован ИК-спектрометр Perkin-Elmer 580 и спектрометр КР Jarrell-Ash 500 с Ar<sup>+</sup>-лазером CRL-52 (линия 4880 Å) в кач-ве источника возбуждения. Данные брались на миникомпьютере Interdata 6/16. Тв. I осаждали на

*Спектр  
ИК. 1979. 06. 07.*

*Х. 1950. N'4'*

пластике из CsI, охлажденной до  $-255^{\circ}$  с помощью Некриостата СТГ-21 с замкнутым циклом. Тв. матрицу готовили соосаждением I и Ag на охлажд. подложке. Для получения спектров КР I запаивали под вакуумом в пирексовый капилляр, к-рый охлаждали в СТГ-криостате. Анализом ИК- и КР-спектров выделенных в матрице образцов показано, что в крист. состоянии I, по-видимому, обладает молек. симметрией  $C_{2v}$  и конформация 4-членного цикла неплоская. В тв. аморфном состоянии молекула I приобретает симметрию типа  $D_{2h}$ , а цикл становится планарным.

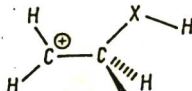
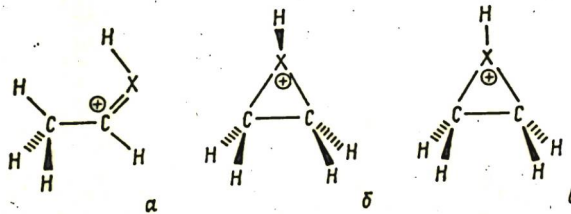
С. Г. Жемчужин

$C_2H_5S^+$

18 Б58. Теоретическое изучение систем  $C_2H_5O^+$  и  $C_2H_5S^+$ . Lischka Hans, Köhler Hans-Joachim. A theoretical investigation on the systems  $C_2H_5O^+$  and  $C_2H_5S^+$ . «Chem. Phys. Lett.», 1979, 63, № 2, 326—331 (англ.)

Теоретически изучена стабильность ряда структур катионов  $C_2H_5O^+$  (Ia—Ig) и  $C_2H_5S^+$  (IIa—IIg). С этой

Структ.  
Катионов



KB. лек. физик

2.1949.118

Однотипные 80-78

1979

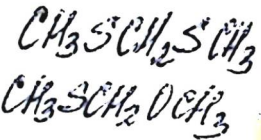
$(CH_3SH)_2$  Lommel 8456 | 1979

Oduolola Y. et al.  
monoglyc.

супукурс J. Amer. Chem. Soc.

1979, 101 (17) 4787-92

1979



19 Б194. Спектры  $\text{CH}_3\text{SCH}_2\text{SCH}_3$  и  $\text{CH}_3\text{SCH}_2\text{COCH}_3$  в дальней ультрафиолетовой области. Olivato P. R., Viertler H., Wladislaw B., Sauvageau P., Sandorfy C. The far-ultraviolet spectra of  $\text{CH}_3\text{SCH}_2\text{SCH}_3$  and  $\text{CH}_3\text{SCH}_2\text{COCH}_3$ . «J. Chem. Phys.», 1979, 70, № 4, 1677—1680 (англ.)

Измерены УФ-спектры поглощения в области  $40 - 61 \cdot 10^3 \text{ см}^{-1}$   $\text{CH}_3\text{SCH}_2\text{SCH}_3$  (I) и  $\text{CH}_3\text{SCH}_2\text{COCH}_3$  (II) в газ. состоянии при давл. 0,1—0,5 мм. Спектры сопоставлены с результатами измерений для  $\text{CH}_3\text{CH}_2\text{CH}_2\text{CH}_3$ ,  $\text{CH}_3\text{CH}_2\text{CH}_2\text{COCH}_3$ , и  $\text{CHOCH}_2\text{COCH}_3$ . Для I и II в области  $41 - 46 \cdot 10^3 \text{ см}^{-1}$  найдены две четко разделенные полосы переходов типа валентной оболочки  $\sigma^* \leftarrow \bar{S}$  и ридберговского перехода  $4S \leftarrow \bar{S}$ . В случае I из-за диффузного характера спектра не наблюдалось расщепления полос, обусловленного расщеплением основного уровня  $\bar{S}$ . Новые полосы в спектре I в области  $47 - 55 \cdot 10^3 \text{ см}^{-1}$  объяснены расщеплением уровня  $4p$ .

С. С. Букалов

У. фр. сканер

Х. 1979 N 19

отмеч 8543 1979

$(CH_3)_2CS$

и.г.р.

ксп. схема  
законч.

✓

2 Б74. Расчеты методом ППДП/2 частот тиокарбонильных валентных колебаний в тиоформальдегиде и его производных. R a n d h a w a H. S. CNDO/2 calculations on the thiocarbonyl stretching frequencies in thioformaldehyde and its derivatives. «J. Mol. Struct.», 1979, 56, № 1, 143—146 (англ.)

Полуэмпирический метод МО ЛКАО в валентном приближении ППДП/2 использован для расчета частот вал. кол. тиокарбонильной группы в  $H_2CS$ ,  $(CH_3)_2CS$ ,  $(HO)(CH_3)CS$ ,  $(HO)(C_2H_5)CS$ ,  $Cl_2CS$ ,  $ClFCS$ ,  $F_2CS$ ,  $(H)(NH_2)CS$ ,  $(NH_2)_2CS$ ,  $(CH_3)(NH_2)CS$ . Получено хорошее согласие с эксперим. значениями (максим. отклонение  $74 \text{ см}^{-1}$ ).

А. Устенко

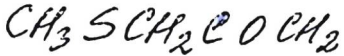
✓

х: 1680,12



ommade 8047

1979



Sauvageas P., et al

U.R. Gerspach,

P, anal.  $\delta_i$

J. Chem. Phys., 1979,  
70 (4), 1677 - 80

Симеи 9005

1948

$C_2H_3SC_2H_3?$

6 Б92. Равновесие син-гош метилвинилсульфида, изученное совместным использованием микроволновых и КР-спектров, электронографии, молекулярного силового поля и неэмпирических расчетов. Sandal S., Seip H. M., Torgersen T. Syn-gauche Equilibrium of methyl vinyl sulphide studied by the combined use of microwave and Raman spectroscopy, electron diffraction, and molecular force field and ab initio calculations. «J. Mol. Struct.», 1979, 57, 105—121 (англ.)

равновесн.  
исслед.

Проведена повторная интерпретация электронографич. данных для метилвинилсульфида, полученных ранее (см. «Acta Chem. Scand.», 1971, 25, 1903; J. Mol. Struct.», 1973, 16, 289), с применением в анализе результатов исследования микроволновых и КР-спектров, неэмпирич. расчетов методом МО ССП и молек. силового поля. В интерпретации данных использованы статич. (малые гармонич. кол.) и динамич. (ангармонич. кол. большой амплитуды для внутреннего вращения) модели. Установлено, что наиболее вероятное значение разности энергий  $\Delta E_0$

2.1980.16

междусин- и гош- (или квази-плоским анти)конформерами лежит в интервале 1,0—2,0 ккал/моль. Торсионные углы для син- и гош-конформеров составляют 0 и 135,8 (6,5) $^{\circ}$  соотв. В приближении динамич. модели найдены след. значения наиболее важных межъядерных расстояний ( $r_a$ , Å) и углов ( $\alpha$ ) для син-конформера: C=C 1,343 (1), C<sub>sp<sup>2</sup></sub>—S 1,759 (8), C<sub>sp<sup>3</sup></sub>—S 1,795 (8), C<sub>sp<sup>2</sup></sub>—H 1,088 (9), C<sub>sp<sup>3</sup></sub>—H 1,106 (8),  $\angle$ CCS 127,5 (0,7),  $\angle$ CSC 102,1 (0,5) $^{\circ}$ .

В. Спиридонов

ons.  
ngle

Соединение С-19-5

1979

13 Б88. Масс-спектроскопия, ядерный магнитный резонанс и КР-спектроскопия октадецилсульфида, дисульфида и тетрасульфида. Schwab A. W., Rothwedder W. K., Ard J. S. Mass, nuclear magnetic resonance, and raman spectroscopy of octadecyl sulfide, disulfide, and tetrasulfide. «Phosph. and Sulfur», 1979, 7, № 3, 315—319 (англ.)

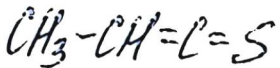
Масс-спектрол. спектр K.P.

Методами масс-спектрометрии, ядерного магнитного резонанса и КР-спектроскопии исследованы модельные соединения, приготовленные для оценки в кач-ве добавок к смазочным маслам при экстремальных давлениях. В масс-спектрах электронного удара октадецилсульфида (I) и дисульфида (II) присутствуют интенсивные молек. ионы. Для II и тетрасульфида (III) отмечены расщепления связей S—S и C—S. Молек. ион III, по-видимому,

Х 1980 № 13

теряет серу даже при 15 эВ; такое отщепление серы не было обнаружено для I и II. Из спектров ядерного магнитного резонанса следует, что с увеличением длины сульфидной цепочки имеет место сдвиг для а-метиленовых протонов в области низкого поля. В КР-спектрах обнаружены интенсивные пики, приписанные напряжению связей S—S. Для II эти пики проявляются при 510 и  $526 \text{ см}^{-1}$  (тв. состояние) и для III — при 432 и  $488 \text{ см}^{-1}$  (тв. состояние) и 437 и  $488 \text{ см}^{-1}$  (жидк. состояние, расплав при  $58^\circ$ ). Все исследованные соединения содержат слабые пики между 625 и  $800 \text{ см}^{-1}$ , вероятно возникающие при колебаниях связей C—S.

Резюме



Отмск 10821 1980

11 Б270. Получение, микроволновый спектр, барьер внутреннего вращения, дипольный момент и молекулярные модели метилтиокетена,  $\text{CH}_3-\text{CH}=\text{C=S}$ . Bak B., S van holt H., Holm A. Production, microwave spectrum, barrier to internal rotation, dipole moment and molecular models of methylthioketene,  $\text{CH}_3-\text{CH}=\text{C=S}$ . «Acta chem. scand.», 1980, A34, № 9, 625—630 (англ.)

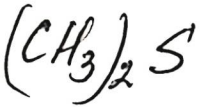
В области частот 18,6—39,6 ГГц измерены МВ-спектры двух изотопич. образцов метилтиокетена,  $\text{CH}_3-\text{CH}=\text{C=}$ <sup>32</sup>S (I) и  $\text{CH}_3-\text{CH}=\text{C=}$ <sup>34</sup>S (II), в основном колебательном состоянии I и II в 5 возбужденных колебательных состояниях. I и II получены в результате пиролиза 4-метил-1 и 5-метил-1,2,3-тиадиазола при т-ре 1000° К и вводились в ячейку при коми. т-ре. Анализ спектров выполнен с учетом A, E-расщепления из-за внутреннего вращения метильной группы и квартичного центробежного искажения. Для обоих образцов и всех состояний определены вращательные постоянные и квартичные постоянные центробежного искажения. В основном состоянии I и II соотв. вращательные по-

4, 11

2.1981.НН

стоянныe равны (МГц):  $A = 35528(7)$  и  $35449(4)$ ,  $B =$   
 $= 2708,362(21)$  и  $2639,524(20)$ ,  $C = 2552,969(22)$  и  
2491,327(20), а центробежные постоянныe (в кГц) —  
 $\Delta_J = 0,39(14)$  и  $1,08(18)$ ,  $\Delta_{JK} = -46,55(30)$  и  $-45,79(21)$ .  
Расчет  $A, E$ -расщепления выполнен в предположении,  
что первые два возбужденных крутильных состояния  
имеют частоты  $\nu(1) = 140 \text{ см}^{-1}$  и  $\nu(2) = 256 \text{ см}^{-1}$ , барь-  
ер внутреннего вращения равен  $435 \text{ см}^{-1}$ , а возмож-  
ная структура - I характеризуется параметрами  
 $r(C-H) = 1,083 \text{ \AA}$ ,  $LC(3)C(4)H = 111,1^\circ$ . Для 1-го воз-  
бужденного плоского деф. состояния оценена частота  
 $\nu(1) = 157 \text{ см}^{-1}$ . По эффекту Штарка для переходов I  
во втором возбужденном крутильном состоянии изме-  
рен дипольный момент  $\langle \mu_a \rangle = 1,54 D$ . Для отношения  
компонент дипольного момента получена оценка  
 $\mu_b/\mu_a = 0,07$ . Полученные данные использованы для по-  
строения трех возможных жестких структурных моде-  
лей I. Вычисленные значения длин связей  $C=S$ ,  $C=C$ ,  
 $C-C$  и валентного угла связей  $C-C=C$  близки  
к соотв-щим величинам геометрич. параметров родст-  
венных молекул.

С. Н. Мурзин



10 Б240. Микроволновый спектр диметилсульфида 1980  
Определение момента инерции метильного волчка. De-  
maison J., Schwoch D., Tan B. T., Ru-  
dolph H. D. Microwave spectrum of dimethylsulfide;  
determination of the methyl top moment of inertia.  
«J. Mol. Spectrosc.», 1980, 83, № 2, 391—400 (англ.)

На основе ранее выполненных СВ-измерений для мо-  
лекулы диметилсульфида,  $(CH_3)_2S$ , (H. Dreizler,  
H. D. Dudolph «Z. Naturforsch.», 1965, A20, 749) вы-  
полнен расчет момента инерции метильного волчка  
молекулы. Анализ спектра выполнен при рассмотрении  
взаимодействия вращение—внутреннее вращение в  
приближении полужесткой модели двух эквивалент-  
ных внутренних волчков. При расчетах в значения вра-  
щательных постоянных внесены поправки на центро-  
бежное искажение и магнитные поправки. Вращатель-

М. ф. спектр

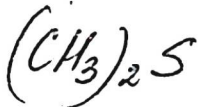
М.Н.

2.1981.110

ные постоянные с учетом этих поправок равны (в Мгц)  $A=17\ 809$ ;  $7298$  (40),  $B=7621$ ,  $0976$  (17),  $C=-5717$ ,  $7694$  (14). Определенная по расщеплению МВ-переходов из-за внутреннего вращения величина момента инерции метильного волчка равна  $J_a=-3,242$  н. е. м.  $\text{A}^2$ . Из величин дефекта инерции найденные моменты инерции метильного волчка, соотв., равны  $J_a=3,134$  и  $3,212$  ат. ед. массы  $\text{A}^2$ . Расхождения в величинах  $J_a$  при использовании различных способов определения момента инерции связаны с влиянием центробежного искажения на внутреннее вращение метильных волчков.

С. Н. Мурзин

1980



4.11.

6 Д431. Микроволновый спектр диметилсульфида.  
 Определение момента инерции метильной группы.  
 Microwave spectrum of Dimethylsulfide. Determination  
 of the methyl top moment of inertia. Demaison J.,  
 Schwoch D., Tan B. T., Rudolph H. D. «J. Mol.  
 Spectrosc.», 1980, 83, № 2, 391—400 (англ.)

С использованием модели главных осей, в которой учитывается взаимодействие внутренних вращений с вращением молекулы в целом в кинетич. энергии и взаимодействие внутренних волчков в потенц. энергии, выполнен теоретич. анализ микроволни. спектра молекулы  $(CH_3)_2S$ . По величинам тройного и квартетного расщепления линий, обусловленного внутренним вращением двух  $CH_3$ -групп, определено значение момента инерции  $CH_3$ -группы ( $I_a = 3,242$  а. е. м.  $\text{\AA}^2$ ). Для определения величины  $I_a$  использованы также эксперим. данные по дефекту инерции  $\Delta$  ( $2I_a = \Delta_v - \Delta$ , где  $\Delta_v$  — колебательная поправка к  $\Delta$ ). При этом без учета  $\Delta_v$  получено значение  $I_{a0} = 3,134$  а. е. м.  $\text{\AA}^2$ , а с приближенным учетом  $\Delta_v$  — значение  $I_{a'} = 3,212$  а. е. м.  $\text{\AA}^2$ : эти величины удовлетворяют ожидаемой закономерности  $I_{a0} < I_{a'} < I_a$ .

М. Р. Алиев

Ф.Р.Д.Н.Б



1980

4 Д424. Микроволновый спектр, структура и дипольный момент транс-2-пропенетиала ( $\text{CH}_2=\text{CHCH}=\text{S}$ ). Microwave spectrum, Structure, and dipole moment of trans-2-propenethial,  $\text{CH}_2=\text{CHCH}=\text{S}$ . Georgiou K., Koto H. W. «J. Mol. Spectrosc.», 1980, 83, № 1, 94—104 (англ.)

М.Н. Чоди.

В диапазоне 26—40 ГГц исследован микроволн. спектр молекулы  $\text{CH}_2=\text{CHCH}=\text{S}$  (I), полученной в реакции пиролиза диаллилсульфида и гексаметил-S-тритиана. Идентифицированы линии вращательных переходов изотопозамещенных I (по S и C) в основном коле-



Р. 1981 № 4

бательном состоянии, а также ряд линий основной молекулы I в 9 низколежащих колебательных состояниях. Определены значения вращательных постоянных и постоянных квартичного центробежного искажения для всех исследуемых изотопозамещенных I. Из полученных значений вращательных постоянных вычислены значения структурных  $Y_s$ -параметров I:  $C=C=1,341$ ;  $C=C=1,455$ ;  $C=X=1,610$  Å;  $CCC=122,9^\circ$ ;  $CCS=125,5^\circ$ . Для дипольного момента получено:  $\mu_a=2,58$ ;  $\mu_b=0,36$ ;  $\mu_t=2,61$  ед. Дебая. По относит. интенсивности линий основного и возбужденных состояний оценены частоты колебаний  $v_{13}$  (280) и  $v_{18}$  ( $140 \text{ см}^{-1}$ ). М. Р. Алиев

$(SCH)_2$

1980

Haddon R. C. et al.

J. Am. Chem. Soc. 1980,  
102(22), 6687-93.

ref. aux.  
page.

exp.  $(SN)_2 - III$

$S(CH_3)_2$

1980

Кадыров Ф.И.

бумажный  
пакетик  
и пакету.  
помадки

Зард. АН СССР, 1980,  
254, № 4, 934-8.

сул.  $NF_3 - II$

1980

$(H_3C)_2S - CH_2$

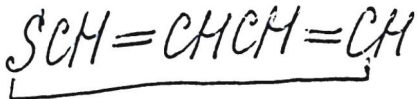
20 Б29. Квантовохимическое изучение сульфониевых илидов: строение, распределение заряда и дипольные моменты. Král V., Arnold Z., Jehlička V., Exner O. Quantum chemical study of sulfonium ylides: structure, charge distribution and dipole moments. «Collect. Czech. Chem. Commun.», 1980, 45, № 4, 1236—1250 (англ.)

Различными методами (МО ССП в базисе 4-31 ГФ, ОСТ-3 ГФ, ППДП/2 в *sp*- и *spd*-базисах и др.) изучено электронное строение сульфониевого илида,  $(H_3C)_2S - CH_2$ , а также др. родственных систем, включая синтезированный авторами 2-диметилсультурилиден-1,3-цикlopентадион. Для всех рассмотренных систем приведены оптим. значения геометрич. параметров, а также значения дипольных моментов, к-рые сопоставлены с эксперим. значениями. Приведены также полученные авторами в диоксане и бензоле дипольные моменты ряда родственных аммониевых илидов, имеющих такие же структурные особенности. На основании полученных данных по дипольным моментам и распределению электронной плотности обсуждается природа связей и реакц. способность указанных соединений.

С. Долин

кв. № 29  
глазы

рдк N20



1980

9 Д65. Расчет дьюаровской структуры тиофена неэмпирическим методом молекулярных орбиталей ССП. Ab initio SCF molecular orbital calculations of the Dewar structure of thiophene. Latajka Zdzisław, Ratajczak Непгук, Szczęśniak Małgorzata M., Orville-Thomas W. J., Ratajczak Emil. «Bull. Acad. pol. sci. Sér. sci. chim.», 1980, 28, № 11—12, 695—699 (англ.; рез. рус.)

几何  
струкура,

ДЕ

Неэмпирическим методом ССП МО ЛКАО в миним. базисе ОСТ-ЗГФ исследовано электронное строение дьюаровской структуры тиофена (I). Использована геометрия, полученная ранее для дьюаровской структуры фурана (II), а для длины связи C—S принято значение 1,47 Å. Варьировался угол выведения атома S из плоскости, равновесное значение которого найдено равным 115° (для дьюаровской структуры бензола ана-

Ф. 1982, 18, N9.

логичными расчетами найдено значение 117 и 120, а для II — 109,5). Структура I найдена на 365 кДж/моль менее стабильной, чем обычный тиофен (III), что объясняет неустойчивость последнего. Дипольные моменты I и III найдены равными 0,70 и 0,10 ед. Дебая (эксперим. значение для III — 0,60). В. Л. Лебедев.



C-H-S

Соединение

18 Б68. Физическая химия 1,2-дитиоловых соединений. Вопрос об ароматичности. Pedersen Carl Th. The physical chemistry of 1,2-dithiole compounds—the question of aromaticity. «Sulfur Repts», 1980, 1, № 1, 1—96 (англ.)

1980

Обзор результатов физ.-хим. исследований 1970—1979 гг. 1,2-дитиолилиевых солей, тритиапенталенов и их пр-ных, в том числе 1,2-дитиол-3-илиден кетонов и альдегидов. Обсуждены данные полученные методами рентгеноструктурного анализа, электронной дифракции, ПМР, ЯМР  $^{13}\text{C}$ , ЭПР, ИК микроволновой, фото- и рентгеноэлектронной спектроскопии и масс-спектрометрии. На основании этих данных, результатов квантовохим. расчетов и электрохим. исследований сделан вывод, что 1,2-дитиолилиевая система и ее пр-ные представляют собой ароматич. системы содержащие 6 π-электронов, а 1,6,бα $^4$ -тритиапенталены ароматич. системы с 10 π-электронами, во многом аналогичные нафталину. Ограниченнные исследования, проведенные для систем, модифицированных заменой одного или нескольких атомов S на атомы Se, Te, O или N не позволяют сделать однозначных выводов об их электронном строении, однако в нек-рых случаях имеющиеся данные наводят на мысль об образовании структур аналогичных тритиапенталену.

В. Фаустов

Фаустов  
методы  
ПМР, ЯМР  
ЭПР Ч.К.  
Ч.В. Соколов  
ЧДР  
Х 1981 N 18

$\text{CH}_3\text{SCH}=\text{C}=\text{CH}_2$  от 36496. 1980

11 Д277. Электронный спектр поглощения метилалленилсульфида. Electronic absorption spectrum of methyl allenyl sulfide. Runge Wolfgang. «Chem. Phys. Lett.», 1980, 72, № 2, 319—322 (англ.)

Исследовано влияние ридберговских орбиталей  $4s$ - и  $3d$ -атома серы на формирование низколежащих возбужденных синглетных состояний в ненасыщенных органич. сульфирах. Получен электронный спектр поглощения растворов метилалленилсульфида ( $\text{CH}_3\text{SCH}=\text{C}=\text{CH}_2$ ) в УФ-области спектра ( $30\ 000$ — $50\ 000$  см $^{-1}$ ). Методом CNDO/s—d проведен расчет энергий низколежащих возбужденных состояний ( $E$ ) и приведено сопоставление полученных значений с экспериментально наблюдаемыми. Отмечено, что только этот метод расчета дает удовлетворительное согласие между расчетными и эксперим. данными. Показано, что при интерпретации низкоэнергетических возбужденных синглетных состояний ненасыщенных органич. сульфидов нельзя пренебрегать вкладом АО  $3d$ . Учет этого обстоятельства позволяет объяснить наблюданную разницу в спектральных свойствах метилалленилсульфида и других алленов с гетерозаместителями.

Е. Н. Викторова

Электр.  
спектр  
нога азота

Ф. 1980  
н 11

1980

*CD<sub>3</sub>SH**CD<sub>3</sub>SD*

5 Д419. Колебательные спектры дейтерированных метантиолов. Spectres de vibration des méthanethiols deutériés CD<sub>3</sub>SH et CD<sub>3</sub>SD. Saug Odette, Travert Josette, Lavalleу Jean-Claude, Chabanel Martial. «С. г. Acad. sci.», 1980, C291, № 9, 227—230 (франц.; рез. англ.)

В области 200—4000 см<sup>-1</sup> получены ИК-спектры газообразных и спектры КР жидкых дейтерометантиолов CD<sub>3</sub>SH и CD<sub>3</sub>SD. Предложенное на основании измерения интенсивностей и поляризаций отнесение к типам симметрии A' и A'' подтверждается правилом произведения и интерпретацией некоторых обертонов и составных частот. Вследствие сильного взаимодействия колебаний A' происходит значительное расщепление частот качательных колебаний метильной группы, тогда как частоты антисимметричных вал. кол. и деф. колебаний остаются почти вырожденными.

М. А. Kovner

*М. А. Kovner  
Ф-1981 N 5*

$H_2C=CH=S$

XIV-9131

1980

10 Д404. Вращательный спектр тиокетена ( $H_2C=C=S$ ) в миллиметровой области и центробежное растяжение. Millimeter wave rotational spectrum and centrifugal distortion of thioketene,  $H_2C=C=S$ . Winniweisser Manfred, Schäfer Eckhard. «Z. Naturforsch.», 1980, A35, № 5, 483—489 (англ.)

(М.Н.)

Исследован микроволни. спектр тиокетена (I) в области 60÷230 ГГц. Исследования проводились в стеклянной кювете длиной 2 м при давлении I 20÷60 мкбар. Идентифицировано 125 вращательных переходов *a*-типа *R*-ветви для основного колебательного состояния I. Рассчитаны значения вращательных постоянных *A*, *B*, *C*, оценены также значения постоянных центробежного растяжения *D<sub>J</sub>*, *D<sub>JK</sub>*, *d<sub>1</sub>*, *d<sub>2</sub>*, *H<sub>JK</sub>*, *H<sub>KJ</sub>*, *L<sub>KJ</sub>* и *S<sub>KJ</sub>*. По эффекту Штарка для перехода  $2_{e2} \leftarrow 1_{01}$  дипольный момент I оценен в 1,01 ед. Дебая. Обсуждается возможность проявления кориолисовых взаимодействий с участием *ж*ного деф. кол. I (с частотой  $\sim 9,5$  см<sup>-1</sup>).  
B. B. Белякова

Ф 1980 №10

$H_2C=CH=S$

XIV-9131

1980

19 Б246. Миллиметровый вращательный спектр и  
центробежное искажение тиокетена,  $H_2C=C=S$ . Win-  
newisser M., Schäfer E. Millimeter wave rotatio-  
nal spectrum and centrifugal distortion of thioketene,  
 $H_2C=C=S$ . «Z. Naturforsch.», 1980, A35, № 5, 483—  
489 (англ.)

(44, n.)  
На миллиметровом спектрометре с электронно-вычис-  
лительным контролем измерен в области частот от 60  
до 230 ГГц вращательный спектр тиокетена,  $H_2C=C=S$ , в основном колебательном состоянии. Идентифи-  
цировано 125 вращательных переходов. Анализ спектра  
выполнен с использованием гамильтониана в представ-  
лении Уотсона. Вращательные постоянные равны  
(в МГц)  $A = 286655(82)$ ,  $B = 5659.47596(72)$ ,  $C =$

X. 1980 № 19

$\omega = 5544,51269(75)$ , квартичные постоянные  $D_J = 1,08569$  (4) кгц,  $D_{JK} = 168,269(77)$  кгц,  $d_1 = -25,46(68)$  гц,  $d_2 = -5,21(35)$  гц, секстичные постоянные  $-H_{JK} = 0,716(20)$  гц,  $H_{KJ} = -408,7(73)$  гц и центробежные постоянные более высокого порядка  $L_{KJ} = 0,65(24)$  гц,  $S_{KJ} = -0,0533(24)$  гц. С полученными значениями молек. постоянных стандартное отклонение частот от измеренных значений составляет 16,5 кгц для 125 равновзвешенных линий. По эффекту Штарка для перехода  $2_{02} - 1_{01}$  определен дипольный момент тиокетена  $\mu = 1,01(3)D$ .

С. Н. Мурзин

M3C-5-

1980

Wiberg K.B.

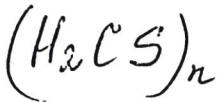
pacrem  
st. norm.

J. Amer. Chem. Soc.,  
1980, 102, N4, 1229-37

II

Cee M3C-H i  $\overline{\overline{I}}$

1981



20 Б121. Фотоэлектронные спектры и молекулярные свойства. 89. Системы ионизационных полос и конформации циклополитианов  $(H_2CS)_n$ . Bock H., Schulz W., Schmidt M. PE-Spektren und Moleküleigenschaften. 89. Ionisationsmuster und Konformation von Cyclo-Polythianen  $(H_2CS)_n$ . «Z. anorg. und allg. Chem.», 1981, 474, № 3, 199—208 (нем., рез. англ.)

Измерены фотоэлектронные спектры циклических политианов  $(H_2CS)_n$ , где  $n=3$  (I), 4 (II) и 5 (III). Получены следующие значения вертикальных орбитальных потенциалов ионизации I 8,58, 9,13, 11,17, 11,47; II 8,37, 8,68, 8,94, 9,27, 11,4; III 8,55, 8,87 (каждый из двух ионизационных максимумов отвечает ионизации пары близких по энергии MO) 9,30, 11,0 эВ. Системы ионизационных полос с энергиями ниже 9,4 эВ отнесены к ионизации орбиталей соответствующих неподеленным парам атомов S. Модельные расчеты в приближении Хюкеля хорошо передают системы этих полос, что, по мнению авторов, свидетельствует об эквивалентности неподеленных пар атомов S. Методом

Фотоэл.  
спектр

X.20.1981

ССП МО ЛКАО в приближении ЧПДП с оптимизацией геометрии рассчитаны конформации кресло и ванна II и III и профили потенциальной энергии; отвечающие конформационным переходам между этими структурами. В обоих соединениях конформация типа ванны немного ( $>7$  кДж/моль) стабильнее конформации типа кресла, а барьер изомеризации не превышает 100 кДж/моль. Сообщение 88 см. J. Amer. Chem. Soc., 1980, 102, 4429.

В. Фаустов

рото:  
чия

$C_3 H_6 S$

Lommel 12266 | 1981

Brouerere B., et al.

kleur,

plaats

Mol. Phys., 1981, 43  
(5), 1139 - 50.

$(\text{CH}_3)_2\text{S}$  [Lommel 12525] 1981.

Chassaigne L., et al.

Mollicyn.  
Empyrr.  
Ceratoes.  
di

Spectrochim. acta,  
1981, A37 (9),  
721 - 26

HCCS'

Омск 12042

1981

12 Д118. Теоретическое исследование радикала HCCS. Theoretical study of the HCCS radical. Соорег David L. «Chem. Phys. Lett.», 1981, 81, № 3, 479—480 (англ.)

Неэмпирическим методом ССП МО ЛКАО в базисе OCT-ЗГФ изучено электронное строение радикала HCCS (I). Спин-орбитальное взаимодействие исследовано ограниченным методом Хартри—Фока в слэтеровском базисе—одноэкспонентном для атома Н и 3d-АО атома S и двухэкспонентном для остальных АО. Показано, что в основном состоянии I обладает конфигурацией  $(1^-\!-\!5)\sigma^2 1\pi^4 (6^-\!-\!9)\sigma^2 2\pi^4 3\pi^3$  с линейной структурой и длинами связей CH, CC и CS 1,089; 1,215 и 1,715 Å. Вращательная постоянная  $B_e = 0,1833 \text{ см}^{-1}$  (эксперим. значение 0,1884), константа спин-орбитального взаимодействия порядка  $-360 \text{ см}^{-1}$ . Первым возбужденным должно быть состояние  $2\pi^3 3\pi^4$  с близким

и.н., целимр,  
структуре

Ф. 1981, 18, N 12.

значением  $B_e$  и константой  $\approx -25 \text{ см}^{-1}$ . Полученные результаты подтверждают обнаружение I в продуктах импульсного фотолиза тиофена. Высказано предположение, что I может существовать в межзвездном пространстве, и отмечено, что его вращательная постоянная близка к таковой для молекул, зарегистрированных в радиоастрономич. исследованиях.      В. Л. Лебедев

Мзс

1981

8 Д745. Резонансная флуоресценция тиоформальдегида с отдельного вращательного уровня. Single rotational level resonance fluorescence of thioformaldehyde. Clothier D. J., Кегг С. М. Л., Ramsay D. A. «Chem. Phys.», 1981, 56, № 1, 73—80 (англ.)

Исследованы спектры флуоресценции ( $A^1A_2 \rightarrow X^1A_1$ ) тиоформальдегида (I) в газовой фазе (давл.  $\leq 2$  мм рт. ст.) при возбуждении отдельного вращательного уровня состояния  $A^1A_2$  с помощью перестраиваемого лазера на красителе с выходной мощностью 70—130 мВт и спектральной шириной линии излучения  $\sim 10$  МГц. Обнаружено, что при давл.  $< 0,1$  мм рт. ст. скорости колебательной и вращательной релаксаций I малы по сравнению со скоростью индуцированных столкновениями электронной релаксации. На этом основании сделано заключение, что наблюдаемая при

исследований  
структура,

и;

спектр  
флуоресценции

ф. 1981 № 8

мальных давлениях флуоресценция обусловлена переходами в невозмущенных молекулах с исходного ровибронного уровня. В результате анализа спектров флуоресценции определены частоты колебаний  $\nu_2''=1457,3$  (10) и  $\nu_2''+\nu_3''=2511,6$  (20) см<sup>-1</sup>. Сделан вывод, что в отличие от формальдегида структуры возбужденного и основного состояний I отличаются незначительно, особенно по величине внеплоскостного угла. Библ. 36.

С. Литке

HCCS

1981

23 Б66. Теоретическое исследование радикала HCCS. Cooper David L. Theoretical study of the HCCS radical. «Chem. Phys. Lett.», 1981, 81, № 3, 479—480 (англ.)

Неэмпирическим методом ССП МО ЛКАО в миним. базисе, с учетом спин-орбитального взаимодействия, рассчитан радикал HCCS (**I**). Предв. оптимизация геометрии **I** дала линейную структуру с расстояниями CC и CS 1,215 и 1,715 Å соотв. Вычисленная вращательная постоянная  $B_e = 0,1833 \text{ см}^{-1}$ , спин-орбитальная постоянная  $\alpha = -360 \text{ см}^{-1}$ . Орбитальная конфигурация основного состояния ...  $2\pi^4 3\pi^3$  соответствует структуре  $\text{HC}\equiv\text{C}-\text{S}\cdot$ . Приято, что первое возбужденное состояние **I** имеет конфигурацию ...  $2\pi^3 3\pi^4$ ,  $\alpha = -25 \text{ см}^{-1}$  и вращательную постоянную  $B_e$ , близкую к ее значению для основного состояния. Вычисл. значение  $B_e$  согласуется с идентификацией **I** в кач-ве нестабильного промежут. соединения, возникающего при флэш-фотолизе тиофена.

В. Фаустов

И.Л., И.О.и.

Х. 1981, 19, № 23.

$C_3H_6S$

1981

De Brouckère G; et al.

pacreeù Mol. Phys., 1981, 43, NS,  
u.n. 1139-1150.

(ceee.  $C_3H_6O$ ; II)

$(CD_3)_2S$

Омск 11940 1981

11 Д425. Микроволновые спектры диметилсульфида-  
 $d_6[(CD_3)_2S]$  в основном и возбужденных состояниях кру-  
тильных колебаний. Microwave spectra of dimethylsul-  
fide- $d_6$   $(CD_3)_2S$ , ground and excited torsional states.  
Demaison Jean, Tan B. T., Rudolph H. D. «J.  
Mol. Spectrosc.», 1981, 86, № 2, 406—419 (англ.)

дл. 1.

В диапазоне 8—40 ГГц исследованы микроволн. спек-  
тры молекул  $(CD_3)_2S$  (I),  $^{13}C$ -I и  $^{34}S$ -I. Идентифици-  
рованы линии вращательных переходов с  $J \leq 20$  в ос-  
новном колебательном состоянии и в первых двух воз-  
бужденных состояниях (только для I) крутильных  
колебаний групп  $CD_3$  и деф. кол. группы CSC. Обнару-  
жено и идентифицировано квартетное расщепление ли-  
ний возбужденных состояний крутильных колебаний,  
обусловленное взаимодействием вращения молекулы с  
внутренним вращением групп  $CD_3$ . Определены значе-  
ния параметров потенциала внутреннего вращения, вра-  
щательных постоянных и постоянных квартичного цент-  
робежного искажения.

М. Р. Алиев

ф. 1981, 18, NII.

Отмечк 11940 1981

$(CD_3)_2S$   
(м.н.)

22 Б302. Микроволновые спектры диметилсульфида- $d_6$ ,  $(CD_3)_2S$ , в основном и возбужденном крутильном состоянии. Demaison J., Tan B. T., Turke V., Rudolph H. D. Microwave spectra of dimethylsulfide- $d_6$ ,  $(CD_3)_2S$ , ground and excited torsional states. «J. Mol. Spectrosc.», 1981, 86, № 2, 406—419 (англ.)

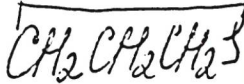
Измерены в области частот 8—40 ГГц МВ-спектры  $(CD_3)_2S$  (I),  $(CD_3)_2^{34}S$  (II) и  $^{13}CD_3SCD_3$  (III), в основном колебательном состоянии I в первых двух возбужденных крут. состояниях метильного волчка и первом возбужденном состоянии деф. кол. CSC. Отнесение МВ-переходов выполнено с применением эффекта Штарка. При анализе спектров использован врачательный гамильтониан в представлении Уотсона с учетом квартичного центробежного искажения и врачательно-колебательного взаимодействия. Вращательные постоянные в основном состоянии I, II и III соотв. равны (МГц):  $A = 13590,4972(33)$ ,  $13287,743(37)$  и

Х.1981/в22, 19 А5

13500,789(91),  $B=5792,6391(12)$ , 5792,828(21) и  
5672,065(73),  $C=4525,4179(12)$ , 4491,255(18) и  
4441,646(80). В результате обработки МВ-данных по  
эффекту Штарка с использованием метода прямой  
диагонализации определен дипольный момент  $\mathbf{I} \mu =$   
 $=1,551(10)D$ . Из полученных вращательных данных  
определен замещенная структура I с параметрами  
 $r(SC)=1,8023(15)$  Å и  $\langle CSC=98^\circ 49(7)$ ', к-рые практи-  
чески не отличаются от соотв-щих параметров для  
нормального изотопич. образца  $r(SC)=1,8024(20)$  Å,  
 $\langle CSC=98^\circ 53(10)$ '. При анализе расщепления МВ-пере-  
ходов из-за внутреннего вращения метильной группы  
в возбужденных крутильных состояниях учитывали  
взаимодействие внутреннего вращения с полным вра-  
щением, а также взаимодействие между двумя внут-  
ренними волчками. Параметры барьера внутреннего  
вращения метильной группы равны  $V_3=2097,3(4)$  и  
 $V_{12}=32,2(5)$  кал/моль и близки к аналогичным вели-  
чинам нормального изотопич. образца  $V_3=2136(2)$  и  
 $V_{12}=34(4)$  кал/моль.

С. Н. Мурзин

1981



6 Б1382. Фотохимия тиетана, при возбуждении во второе электронновозбужденное синглетное состояние. Doge F. H., Okazaki M. E., Salomon K. E. Photochemistry of thietane excited to its second excited electronic singlet state. «J. Phys. Chem.», 1981, 85, № 18, 2671—2676 (англ.)

Изучены продукты фотохим. р-ций тиетана (триметиленсульфида  $\text{CH}_2\text{CH}_2\text{CH}_2\text{S}$ , I) при возбуждении молекул во второе синглетное состояние ( ${}^1\text{B}_2$ ) в газовой фазе. Установлено, что после фотовозбуждения происходит фотофрагментация молекул с образованием этилена (II) и тиоформальдегида (III), а также протекает конкурирующая р-ция распада I на циклопропан (IV) и атом серы. Изучены спектры поглощения I в УФ-области, анализируется природа колебательных полос поглощения молекул и оценены времена жизни возбужденных электронных состояний I:  $\tau({}^1\text{B}_2) < 3 \cdot 10^{-12}$  с,  $\tau({}^1\text{A}_2) \leq 3 \cdot 10^{-9}$  с. Для идентификации механизма р-ции изучены продукты фотолиза цис- и транс-3-этил-2-про-

спектр

X. 1982, 19, N 6.

пилтиетана при  $23^{\circ}\text{C}$ , а также сенсибилизованное фото-воздушение I по механизму триплет-триплетного переноса энергии с  $\text{Mg}({}^3P_1)$ . На основании полученных эксперим. результатов сделан вывод, что при возбуждении I интеркомбинац. конверсия в состояние  ${}^3B_2$  конкурирует с разрывом C—S-связи. Установлено, что II и III образуются через промежут. 1,4-бирадикал в синглетном состоянии, а распад молекулы в состоянии  ${}^3B_2$  на IV и  $S({}^3P)$  идет через синглетный триметиленовый бирадикал.

А. Дармаян

ксан  
п

1981

C-H-S

§ Д460. Силовое поле сульфидной группы органических сульфидов. Дозморов С. В. «Ж. прикл. спектроскопии», 1981, 34, № 2, 357—360 (рез. англ.)

Проведен расчет силового поля сульфидной группы для 10 органических сульфидов в приближении валентно-силового поля. На основании теории множеств показано, что между силовыми параметрами сульфидной группы и постоянными заместителей имеет место линейная зависимость. С помощью регрессионного анализа определены коэф. данной зависимости и оценены доверительные интервалы. Обсуждена роль 3d-орбиталей серы в образовании связи сера—углерод.

Сил. пост.

оп. 1981.№6

2,5-CH<sub>2</sub>CHCH<sub>2</sub>SCH<sub>2</sub>.

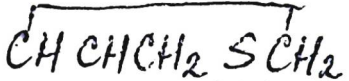
1981

8 Д489. Спектры и структура малых кольцевых молекул. Ч. XLII. Микроволновый спектр 2,5-дигидротиофена. Spectra and structure of small ring compounds. XLII. Microwave spectrum of 2,5-dihydrothiophene. Durig J. R., Li Y. S., Durig D. T. «J. Chem. Phys.», 1981, № 3, 1564—1567 (англ.)

В области 18,0—39,0 ГГц исследован микроволновый спектр молекулы 2,5-CH<sub>2</sub>CHCH<sub>2</sub>SCH<sub>2</sub>. Отождествлены линии *a*-типа *R*-ветви в основном и 5 возбужденных состояниях сжимающего колебания кольца. Найдены вращательные постоянные. Определен дипольный момент  $|\mu_a| = |\mu_{общ.}| = 1,75$  ед. Дебая.

4. б, 21.01.81

ф. 1981 N 8



1981

17 Б316. Спектры и структура соединений с малыми циклами. XLII. Микроволновый спектр 2,5-дигидротиофена. Dung J. R., Li Y. S., Durg D. T. Spectra and structure of small ring compounds. XLII. Microwave spectrum of 2,5-dihydrothiophene. «J. Chem. Phys.», 1981, 74, № 3, 1564—1567 (англ.)

Измерен в области частот 18,0—39,0 ГГц МВ-спектр

МН.

2,5-дигидротиофена,  $\text{CHCH}_2\text{SCH}_2$ , в основном и 5 возбужденных колебательных состояниях деф. моды кольца. Анализ спектров выполнен в приближении жесткого волчка. Вращательные постоянные в колебательных состояниях  $v=0, 1, 2, 3, 4$  и  $5$ , соотв., равны (в МГц):  $A=6621,59(12)$ ,  $6628,19(7)$ ,  $6633,35(6)$ ,  $6637,63(7)$ ,  $6641,26(5)$  и  $6650,57(15)$ ,  $B=4798,42(3)$ ,  $4796,56(2)$ ,  $4794,19(1)$ ,  $4791,51(2)$ ,  $4788,62(1)$ , и  $4786,44(3)$ ,  $C=2885,27(1)$ ,  $2895,74(1)$ ,  $2904,35(1)$ ,  $2912,02(1)$ ,  $2919,07(1)$  и  $2924,69(1)$ . По эффекту Штарка 2-го порядка для трех МВ-переходов в предположении, что  $|\mu|=0,00 \text{ D}$ , определены компоненты дипольного момен-

Х. 1981 N 17

та  $|\mu_a|=1,75(1)$  D;  $|\mu_c|=0,00(0)$  D и полный дипольный момент  $|\mu|=1,75(1)$  D. На основе полученных данных сделан вывод о плоской структуре остова из тяжелых атомов I в основном колебательном состоянии. При ряде допущений найдены значения структурных параметров молекулы:  $r(C-H)=1,085$  Å,  $r(C-H_2)=1,095$  Å,  $r(C=C)=1,34$  Å,  $r(C-C)=1,518$  Å,  $r(C-S)=1,816$  Å,  $\angle HCH=109,8^\circ$ ,  $\angle CCC=116,5^\circ$ ,  $\angle CCS=106,25^\circ$ ,  $\angle CSC=96,5^\circ$ ,  $\angle (C=CH)=121,75^\circ$ . Полученные результаты согласуются с данными для родственных молекул.

С. Н. Мурзин

its  
c'

$(CH_3)_2S$

[Ammuck 13090] 1981

Dwrig J. R., et al.

Ni, et. al.

J. Chem. Phys., 1981,  
75, N 10, 4833-4839.



(rec.  $S(CD_3)_2$ ; III)

*S(CD<sub>3</sub>)<sub>2</sub>*

Омск 13090

1981

5 Д395. Анализ спектра крутых колебаний молекул с двумя внутренними волчками  $C_{3v}$ . Ч. 21. Анализ крутого спектра диметилсульфида- $d_0$ , - $d_3$  и - $d_6$ . Analysis of torsional spectra of molecules with two internal  $C_{3v}$  rotors. XXI. Analysis of the torsional spectra of dimethylsulfide- $d_0$ , - $d_3$ , and - $d_6$ . Durig J. R., Jalilian M. R., Sullivan J. F., Compton D. A. C. «J. Chem. Phys.», 1981, 75, № 10, 4833—4839 (англ.)

Получены спектры ИК-поглощения и комб. рас. газообразного диметилсульфоксида  $\underline{S(CD_3)_2}$  с разрешением 0,25 и 2  $\text{см}^{-1}$  соответственно в области 100—300  $\text{см}^{-1}$ . Приведены спектры, частоты полос и их отнесение к переходам между уровнями крутых колебаний молекул  $(CH_3)_2S$ ,  $CH_3SCD_3$  и  $(CD_3)_2S$ . Эти величины использованы для определения констант четырехпараметрич. потенциала внутреннего вращения метильных групп. Эффективный барьер для внутреннего вращения этих групп составляет 748  $\text{см}^{-1}$ , что близко к результату, полученному из микроволн. данных. Ч. 20 см. «J. Phys. Chem.», 1981, 85, 426. Библ. 18.

М. В. Т.

13

13

φ. 1982, 18, N5

$(CD_3)_2S$  [Omnuck 13090] 1981  
Dwrig J. R., et al.

9<sub>i</sub>, d.n. J. Chem. Phys., 1981,  
75, N 10, 4833 - 4839,

(ccr. S( $CD_3)_2$ ; II)

$\text{CH}_3\text{SCD}_3$     Linnick 13090 / 1981

Durig J.R., et al.

Ni, et al. J. Chem. Phys., 1981,  
75, N10, 4833 - 4839.

(Cess.  $S(\text{CD}_3)_2$ ;  $^{111}$ )

$(CD_3)_2S$

Ommeck 13090

1981

Durig J.R., et al.,

Panak,  
cremp,  
Pi,

J. Chem. Phys., 1981, 75, N10,  
4833-4839.

M.N.

$S_2C_4H_4$

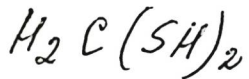
1981

5 Б77. Неэмпирическое исследование конформаций 1,4-дитиина. Galasso V. Ab initio study of the conformation of 1,4-dithiin. «J. Mol. Struct.», 1981, 85, № 1—2, («Teochem», 1981, 2, № 1—2), 159—162 (англ.)

Выполнены расчеты молекулы 1,4-дитиина ( $S_2C_4H_4$ ) методом ССП МО в базисе ОСТ-3 $\Phi$  с оптимизацией геометрии. Построена потенциальная функция (ПФ) для перехода от одной конфигурации «лодки» к другой через плоскую циклич. конфигурацию. Сделан вывод, что конкуренция двух противоположных эффектов — стерич. и эффекта сопряжения приводит к тому, что основной оказывается конфигурация «лодки», а не плоская. Это обусловлено взаимодействием диффузных неподеленных пар атомов S. Величина барьера инверсии составляет 14,6 ккал, а дипольный момент — 0,93 D (эксперим. — 1,16 D). В. Г. Закжевский

расчет М.Н.,  
структурн.,  
 $\Delta E$

X. 1982, 19, N5,



[ommeca 11479] 1981

Glidewell C, et al.

monocryst.

hexagonal

J. Mol. Struct., 1981.  
Td, 209 - 216.

Транс- $\text{CH}_3\text{CH}_2\text{SCH}_3$

Спинес 11636 /1981

10 Д377. Микроволновый спектр, структура, дипольный момент и внутреннее вращение для трансизомера этилметилсульфида. Microwave spectrum, structure, dipole moment, and internal rotation of the trans isomer of ethyl methyl sulfide. Hayashi Michiro, Adachi Masao, Nakagawa Jip. «J. Mol. Spectrosc.», 1981, 86, № 1, 129—135 (англ.)

М. Н.

М. В. Сникір  
геометрія

Р. 10. 1981

Изучены микроволны. спектры (область 8000—35 000 МГц) газообразного транс- $\text{CH}_3\text{CH}_2\text{SCH}_3$  (I) и его десяти различных изотопозамещенных (содержащих  $^{13}\text{C}$ , D и  $^{34}\text{S}$ ) при т-ре сухого льда. Исследования проводились на спектрометре со штарковской модуляцией, что позволило оценить значение дипольного момента ( $\sim 1,554 \pm 0,004$  ед. Дебая). Рассчитаны значения вращательных постоянных и моментов инерции молекул, определены длины связей и углы между ними в молекуле I. По величине расщепления линий переходов с  $K_p = 1 \leftarrow 2$  и  $2 \leftarrow 1$  оценена высота барьера заторможенного внутреннего вращения группы  $\text{SCH}_3$ . Она оказалась равной  $1980 \pm 55$  кал/моль, что на  $\sim 150$  кал/моль меньше, чем в диметилсульфиде. Б. В. Белякова

HCCS'

On 24503

1981

96: 171462p The 4114-Å absorption system of the thio-carbonylmethylidyne (HCCS) radical. Krishnamachari, S. L. N. G.; Ramsay, D. A. (Herzberg Inst. Astrophys., Natl. Res. Counc. Canada, Ottawa, ON Can. K1A 0R6). *Faraday Discuss. Chem. Soc.* 1981, 71 205-12, 1 plate (Eng). The transient absorption spectrum obsd. at 3770-4170 Å during the flash photolysis of thiophene is assigned to the HC:CS radical. D isotope shifts establish the presence of a single D (H) atom in the radical. Under high resoln. the bands show doublet P and R branches. The bands are tentatively assigned to a  $^2\Pi(b)$ - $^2\Pi(b)$  transition of a linear mol., although the possibility that the mol. is slightly nonlinear in 1 of the combining states is not excluded. Rotational assignments are given for the 2 strongest bands of HC:CS, including the 0-0 band near 4114 Å. The rotational consts. are given for this band.

C.A. 1982, 96, n20

HCCS'

01124503

1981

6 Д395. Система поглощения 4114 Å радикала  
HCCS. The 4114 Å absorption system of the HCCS  
radical. Krishnamachari S. L. N. G., Ram-  
say D. A. «Faraday Discuss. Chem. Soc», 1981, № 71,  
205—212 (англ.)

При импульсном фотолизе тиофена получен спектр поглощения радикала HCCS в области 3770—4170 Å. При использовании дейтерированного тиофена зарегистрированы изотопич. сдвиги полос и показано, что спектр принадлежит соединению с одним атомом Н (или D). Спектры высокого разрешения свидетельствуют о дублетной структуре полос *P*- и *R*-ветвей. Наблюдаемые полосы предположительно приписаны переходу  ${}^2\Pi(b) - {}^2\Pi(b)$  линейной молекулы, хотя не исключена возможность того, что в одном из комбинирующих состояний молекула слегка нелинейна. Выполнен вращательный анализ двух полос, включая и (0,0) полосу при  $\lambda=4114$  Å и определены вращательные постоянные  $B_0''=0,18841(16)$  см $^{-1}$  и  $B_0'-B_0''=-0,014399(6)$  см $^{-1}$  (в скобках приведены значения тройного стандартного отклонения). В. С. Иванов

9.1982, 18, №.

HCCS

0724503

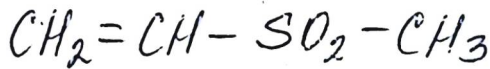
1981

11 Б184. Система поглощения 4114 Å радикала  
HCCS Krishnamachari S. L. N. G., Ram-  
say D. A. The 4114 Å absorption system of the HCCS  
radical. «Faraday Discuss. Chem. Soc.», 1981, № 71,  
205—212 (англ.)

С высоким разрешением в области 3770—4170 Å из-  
мерены спектры поглощения свободных радикалов  
HCCS и DCCS, образующихся при импульсном фотоп-  
лизе тиофена и дейтерированного тиофена, соотв. Из-  
мерены вращательные структуры двух наиболее ин-  
тенсивных полос HCCS—4114 Å (0—0) и 3992 Å  
(0—0+вал. кол. O=S в возбужденном состоянии), в  
к-рых хорошо прослеживаются P- и R-ветви и их дуб-  
летное расщепление после  $N \approx 30$ . С. Б. Осин

III-1)

X, 1982, 19, N 11.



1981

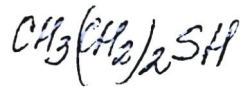
21 Б112. Электронографическое исследование строения молекулы метилвинилсульфона. Наумов В. А., Зиатдинова Р. Н., Бердников Е. А. «Ж. структур. химии», 1981, 22, № 3, 89—93

Методом газовой электронографии изучено строение молекулы  $\text{CH}_2=\text{CH}-\text{SO}_2-\text{CH}_3$  при  $t = 80^\circ\text{C}$ . Установлено, что в газ. фазе существуют два конформера: *s*-цикло-конформер с  $\phi = 0^\circ$  и заслоненный конформер с  $\phi = 100^\circ$ . Соотношение конформеров близко к эквимолекулярному. Определены геометрич. параметры молекулы: длины связей  $\text{C}=\text{C}$  1,347 (16),  $\text{S}-\text{CH}_2$  1,774 (8),  $\text{S}-\text{CH}_3$  1,766 (—),  $\text{S}=\text{O}$  1,429 (4),  $=\text{C}-\text{H}$  1,093 (—),  $\text{C}-\text{H}$  1,104 (—) Å, углы  $\text{C}=\text{C}-\text{S}$  118,4 (2,1),  $\text{C}-\text{S}-\text{C}$  103,21 (1,6),  $=\text{C}-\text{S}=\text{O}$  110,0 (1,5),  $\text{O}=\text{S}=\text{O}$  120,0 (1,5),  $\text{C}=\text{C}-\text{H}$  123,0 (—),  $\text{S}-\text{C}-\text{H}$  110,0 (—)°.

мописей.  
зарегистрир

X. 21/1981

1981



16 Б300. Исследование внутреннего вращения в пропилмеркаптане методом микроволновой спектроскопии. Nakagawa J., Hayashi M. Internal rotation in propyl mercaptan by microwave spectroscopy. «J. Mol. Spectrosc.», 1981, 85, № 2, 327—340 (англ.)

Измерены в области частот 8—45 ГГц МВ-спектры пропилмеркаптана,  $\text{CH}_3\text{CH}_2\text{CH}_2\text{SH}$  (I), и его дейтеро-замещенных образцов в основном колебательном состоянии. МВ-спектры переходов *a*- и *c*-типа отнесены к транс-гош-изомерам (ТГ) I и шести дейтерированных образцов. МВ-спектры переходов *a*- и *b*-типов отнесены к транс-транс-изомерам (TT) I и SD-замещенного образца. Анализ спектров ТГ-изомеров, обладающих плоскостью симметрии, выполнен с учетом туннельного эффекта между двумя эквивалентными минимумами потенциальной ф-ции внутреннего вращения тиола. Для всех образцов учитывалось влияние квартичного центробежного искажения. Вращательные постоянные ТГ-1 и TT-1, соответственно, равны (в ГГц)  $A = 23907,48(9)$  и  $23845,24(22)$ ,  $B = 2345,597(6)$  и  $2393,469(12)$ ,  $C =$

Ио, И. В. синт.

ст. 11,

2: 1981. N 16

=2250,338(9) и 2269,621(16). Величина туннельного расщепления для ТГ-1 равна  $\Delta\nu=1613,01(4)$  Мгц. Из измерений относит. интенсивностей линий при т-рах 195°К и 298°К вычислена разность энергий  $E(\text{ТГ-1}) - E(\text{ТГ-1}) = 136(40) \text{ см}^{-1}$ , близкая по величине соответствующей разности энергий для этилмеркаптана 142 см<sup>-1</sup>. По эффекту Штарка для 7 переходов ТГ-1 и 3 переходов ТГ-1 определены, соответственно, компоненты дипольных моментов  $|\mu_a|=1,575(7)$  и  $1,179(18)$ ,  $|\mu_b|=0,115(82)$  и  $1,078(75)D$ ,  $|\mu_c|=0,580(9)$  и  $0,0D$  и полные дипольные моменты  $|\mu|=1,683(10)$  и  $1,598(54)D$ . При ряде допущений оценена возможная  $r_s$ -структура изомеров.

С. Н. Мурзин

$\text{CH}_3\text{CH}_2\text{CH}_2\text{SH}$

1981

9 Д465. Изучение внутреннего вращения в пропилмеркаптане методом микроволновой спектроскопии. Internal rotation in propyl mercaptan by microwave spectroscopy. Nakagawa Jun, Hayashi Michiyo. «J. Mol. Spectrosc.», 1981, 85, № 2, 327—340 (англ.)

В диапазоне 8—45 ГГц исследованы микроволны спектры молекулы  $\text{CH}_3\text{CH}_2\text{CH}_2\text{SH}$  и шести ее дейтерозамещенных. Идентифицированы линии вращательных переходов с  $J \leq 15$  основного колебательного состояния транс—гош (относительно связи C—C)- и транс—транс (относительно связи C—S)-изомеров этих молекул, а также туннельное расщепление линий гошизомеров. Определены значения вращательных постоянных и дипольного момента. По величине туннельного расщепления линии определены параметры потенциала внутреннего вращения тиольной группы:  $V_2 = -353$ ,  $V_3 = 1310$  кал/моль.

М. Р. Алиев.

φ. 1981 N 9

C-S-H-coolite

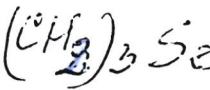
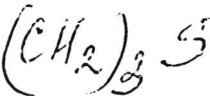
Lommel 125171 192

ФЕСУРОН.  
СМРУКУ-  
РА

Ohzaki M., Murata H.,

Journal of Molecular Structure,  
1981, 85, 125-131.

1981



8 Д77. Потенциальная функция неплоских колебаний треметиленсульфида и треметилселенида. The ring puckering potential function of trimethylene sulfide and trimethylene selenide. Pousa Jorge L., Soragrain Oscar M., Magalhaes Julio. «J. Mol. Struct.», 1981, 71, 31—38 (англ.)

ПОТЕНЦИАЛЬНАЯ ФУНКЦИЯ

РУКИВЕНИЯ

(+1)

Ф. 1981 № 8

SCH<sub>2</sub>OCH<sub>3</sub>

MC<sub>2</sub>SOCH<sub>3</sub>

[Lommel 12091] 1981.

Randhawa H.S.

U.K., Pavan  
script,  
successful

Z. phys. Chem. Leipzig,  
1981, 262, 561-66.

$(CH_3)_2S'$

1981

(UK chemmp)

96: 171382n Determination of the barriers to internal rotation of some molecules with two  $C_{3v}$  rotors by far infrared Fourier transform infrared (FTIR) spectroscopy. Rizzolo, J. J.; Guirgis, G.; Durig, J. R. (Dep. Chem., Univ. South Carolina, Columbia, SC 29208 USA). Proc. SPIE-Int. Soc. Opt. Eng. 1981, 289 (Int. Conf. Fourier Transform Infrared Spectrosc.), 269-72 (Eng). Far-IR spectra of  $Me_2S$ ,  $Me_2Se$ , 1-chloro-2-methylpropene, *cis*- and *trans*-dimethyloxirane, and D derivs. of  $Me_2S$  and  $Me_2Se$  were recorded at a resoln. of  $0.25\text{ cm}^{-1}$ . A large amt. of torsional data were obtained and the obsd. transitions were assigned on the basis of the semi-rigid method. The barriers to internal rotation were calcd., and for several of the mols., both the cosine-cosine and sine-sine coupling terms were obtained.

④

$(CH_3)_2Se$

C.A. 1982, 96, N20

$HCS^+$

$HOCO^+$

$HOCN$

( $\mu, n;$ )

$B_0 \Delta$ )

Ommick 11679 1981

194: 217353t Three new "nonterrestrial" molecules. Thaddeus, P.; Guelin, M.; Linke, R. A. (Goddard Inst. Space Stud., New York, NY USA). *Astrophys. J.* 1981, 246(1, Pt. 2), L41-L45 (Eng). Eight new interstellar lines were detected from 3 mols. not previously obsd. spectroscopically in space or in the lab. One,  $HCS^+$ , is a linear or nearly linear mol. with microwave consts.  $B_0 = 21,337.15 \pm 0.06$  MHz,  $D_0 = 21.4 \pm 1.5$  kHz, 1st identified because  $B_0$  and  $D_0$  are close to those calcd., and now confirmed by lab. detection. The 2nd mol., also linear or nearly so, has microwave consts.  $B_0 = 10,691.406 \pm 0.043$  MHz,  $D_0 = 1.84 \pm 0.91$  kHz close to those expected for the isoelectronic systems  $HOCO^+$  and  $HOCN$ ; a choice between the 2 cannot be made on the basis of the available astronomical data. The existence of a 3rd mol. is deduced from an unidentified line at 85,338 MHz that has been found in many sources, is fairly intense in several, and may be self-absorbed in Sgr B2.

(+2)



C.J. 1981.97 n26

цис- $\text{CH}_3\text{CH}_2\text{C}(=\text{O})\text{SH}$

1981

10 Д373. Микроволновый спектр цистиопропионовой кислоты. Microwave spectrum of cis-thiopropionic acid. Takahashi Yoshiko, Yamaguchi Ichigo. «J. Mol. Struct.», 1981, 74, № 1, 43—47 (англ.)

Изучен микроволн. спектр газообразной цис- $\text{CH}_3\text{CH}_2\text{C}(=\text{O})\text{SH}$  (I) в области 10—35 ГГц. Исследования проводились на микроволн. спектрометре со штарковской модуляцией (частота модуляции 100 кГц) в кювете длиной 1,5 м при давлении 0,04 мм рт. ст. Анализ спектров показал, что молекула I имеет цисконформацию и находится в тиольной форме. Это подтверждается также результатами исследования ИК-спектров и спектров ЯМР. Рассчитаны значения вращательных постоянных ( $A$ ,  $B$ ,  $C$ ) и постоянных центробежного растяжения ( $d_J$ ,  $d_{JK}$ ,  $d_{WJ}$ ,  $d_{WK}$ ), а также значения составляющих дипольного момента I. Величина дипольного момента I указывает на то, что связь S—H в молекуле находится в трансположении по отношению к связи  $C_1—C_2$ .

Б. В. Белякова

Ч. б. Синкір

Ч. н.

9.10.1981

$(CH_3)_2S$

1981

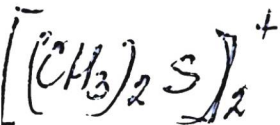
Teodorakopoulos G. et al

ЭЛЕКТ.  
СИРОМ.  
СВ. ВЛХ.  
ПАРОЕТ  
(J)

J Comput. Chem., 1981, 2,  
N2, 212-217.

●  $(\text{если } H_2S) \underline{\text{III}}$

1981



✓ 94: 129691w Resonance Raman spectrum of the transient dimethylsulfide dimer radical cation  $[(\text{CH}_3)_2\text{S}]_2^+$ . Wilbrandt, R.; Jensen, N. H.; Pagsberg, P.; Sillesen, A. H.; Hansen, K. B.; Hester, R. E. (Risoe Natl. Lab., Roskilde, DK-4000 Den.). *J. Raman Spectrosc.* 1981, 11(1), 24-6 (Eng). The resonance Raman spectrum of the transient thioether radical cation dimer complex  $(\text{Me}_2\text{S})_2^+$ , generated by electron irradn. of an aq. soln. of  $\text{Me}_2\text{S}$  and recorded by optical multichannel detection, is reported. Vibrational bands at 276 and 139  $\text{cm}^{-1}$  were detected and are assigned to the stretching mode of the quasi-3-electron S-S bond and a  $\delta(\text{CSS})$  deformation mode, resp.

O.A.1981.94N16



Омск 13522 1982

14 Б243. Микроволновый спектр, структура, дипольный момент и внутреннее вращение гош-изомера этилметилсульфида. Adachi M., Nakagawa J., Hayashi M. Microwave spectrum, structure, dipole moment, and internal rotation of the gauche isomer of ethyl methyl sulfide. «J. Mol. Spectrosc.», 1982, 91, № 2, 381—388 (англ.)

М-1;

Измерены в области частот 8—35 ГГц МВ-спектры гош-изомера этилметилсульфида  $\text{CH}_3\text{CH}_2\text{SCH}_3$  (I) и 13 его изотопозамещ. образцов в основном колебательном состоянии. Анализ спектров выполнен с использованием гамильтониана в представлении Уотсона с учетом квартичного центробежного искажения и внутреннего вращения группы  $\text{SCH}_3$ . Для I вращательные постоянные равны (в МГц)  $A=9668,39(7)$ ,  $B=3919,97(1)$ ,  $C=3199,32(1)$ . Определены компоненты дипольного мо-

х. 1982, 19, N14.

мента I:  $\mu_a = 0,756(9)D$ ,  $\mu_b = 1,239(10)D$ ,  $\mu_c = 0,657(9)D$   
и полный дипольный момент  $\mu = 1,593(10)D$ .  
С. Н. Мурзин

раме  
близу

CH<sub>3</sub>SC<sub>2</sub>H<sub>5</sub> | Отмск 13522 | 1982

7 Д377. Микроволновый спектр, структура, диполь-  
ный момент и внутреннее вращение гош-изомера ме-  
тилэтилсульфида. Microwave spectrum, structure, dipole  
moment, and internal rotation of the gauche isomer of  
ethyl methyl sulfide. Adachi Masao, Nakagawa  
Jun, Hayashi Michiro. «J. Mol. Spectrosc.», 1982,  
91, № 2, 381—388 (англ.)

и.л., №

Ф. 1982, 18, №.

$C_4H_4S$

Omnuck 14144

1982

Brouckère B.,

ab initio  
pacem

Nieuwpoort W.C., et  
al.

Mol. Phys., 1982, 45, N3,  
649-661.

C<sub>4</sub>H<sub>6</sub>S

Ommelck 14144

1982

ab initio  
pacem

Brouckère G.,

Nieuwpoort W.C. et  
al.

Chem. Phys., 1982, 45,

● N3, 649 - 661.

$\text{CH}_3\text{CN}$ ,  $\text{CD}_3\text{CN(p)}$

C.A. 1981, 95, N18, 156 827x

*C<sub>6</sub>H<sub>5</sub>SH*

1982

16 Б124. Отнесение *p*-состояний бензотиола на основании данных фотоэлектронной спектроскопии. Сагновале F., Кивел M. H., Nyberg G. L., Рейл J. B. Photoelectron spectroscopic assignment of the *p*-states of benzenethiol. «J. Electron. Spectrosc. and Relat. Phenom.», 1982, 25, № 2—3, 171—179 (англ.)

Измерены фотоэлектронные спектры (ФЭС) с возбуждением Не-I и Не-II C<sub>6</sub>H<sub>5</sub>SH. При возбуждении Не-I проведены измерения углового распределения фотоэлектронов и определены параметры асимметрии  $\beta$ . Дано полное отнесение спектров на основе: изменений относит. интенсивностей пиков при переходе от возбуж-

*оу*

X. 1982, 19, N 16 -

дения He-I к He-II, сопоставления измеренных  $\beta$  со значениями  $\beta$  для бензола, расчетов электронного строения  $C_6H_5SH$  методом MO ЛКАО в приближении ЧПДП. Первые три пика отвечают ионизации орбиталей  $b_1 (\pi + S3p, \text{энергия ионизации } 8,49 \text{ эВ})$ ,  $a_2 (\pi, 9,39 \text{ эВ})$  и  $b_1 (\pi + S3p, 10,61 \text{ эВ})$ . Значения  $\beta$  для этих пиков практически одинаковы (1,14—1,16) и хорошо согласуются с  $\beta$  для MO  $e_{1g}$  бензола. Вклад AO серы для 3-й орбитали больше, чем для 1-й. Далее следуют орбитали  $b_2 (\sigma + S, 11,59 \text{ эВ})$ ,  $a_1 + b_1 (\sigma + \pi, 12,24 \text{ эВ})$ , и  $b_2 (\sigma + S, 13,15 \text{ эВ})$ , причем для последней из этих орбиталей вклад AO серы наибольший, кроме того, для этого пика обнаружена значит. зависимость  $\beta$  от колебательного состояния. Остальные пики в ФЭС соответствуют MO кольца, что подтверждается совпадением измеренных  $\beta$  с данными для бензола. M. Гофман.

$(\text{CHS})_2$

1982

Chandra Singh et al.

romers. J. Mol. Struct., 1982,  
Krebs 87, N2, Suppl.: Theo-  
Chem., 4, N2, 125-132.

(cet.  $\text{H}_2\text{O}_2$ ;  $\text{II}$ )

$C_4H_6S$

1982

de Broockère G., Nieuw.  
poot W. C., et al.

meopeen. Mol. Phys., 1982, 45,  
pacrijn. N 3, 649 - 661.

(cfr.  $C_5H_6$ ; II)

CH<sub>3</sub>CH<sub>2</sub>CH<sub>2</sub>

от. 14433

1982

21 Б305. Спектры и структура соединений с малыми циклами XLIII. Микроволновый спектр 2,3-дигидро-тиофена. Durig J. R., Little T. S., Li Y. S. Spectra and structure of small ring compounds. XLIII. Microwave spectrum of 2,3-dihydrothiophene. «J. Chem. Phys.», 1982, 76, № 8, 3849—3853 (англ.)

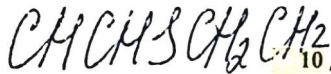
Измерен в области частот 18,0—39,0 ГГц МВ-спектр

М.Л., ЧОИСГР. 2,3-дигидрофена, CHCHSCH<sub>2</sub>CH<sub>2</sub>, в основном и первом возбужденном неплоском скелетном колебательных состояниях. Анализ спектра выполнен в приближении модели жесткого волчка. В колебательных состояниях  $v=0$  и  $v=1$  соотв., вращательные постоянные равны (МГц)  $A=6863,14(7)$  и  $6862,98(9)$ ,  $B=4707,75(1)$  и  $4707,57(1)$ ,  $C=2953,43(1)$  и  $2953,45(1)$ . По эффекту Штарка 2-го порядка для двух переходов определены компоненты дипольного момента  $|\mu_a|=1,56(20)D$ ,  $|\mu_b|=0,32(20)D$ ,  $|\mu_c|=0,20(10)D$ . На основе полученных МВ-данных вычислена возможная структура мо-

X. 1982, 19, N 21

лекулы, при этом наилучшее согласие расчетных и эксперим. вращательных постоянных достигается при угле изгиба кольца  $33^\circ$ . В результате доп. ИК-исследований в области частот  $80-450\text{ см}^{-1}$  и  $2700-2800\text{ см}^{-1}$  определена потенциальная функция для изгиба кольца молекулы  $V(X)$  (в  $\text{см}^{-1}$ ) =  $6,50 \cdot 10^5 X^4 - 2,92 \cdot 10^4 X^2$ , где  $X$  — координата изгиба кольца в А. Результирующая величина барьера инверсии  $328\text{ см}^{-1}$ . Полученные результаты согласуются с данными для родственных молекул. (Часть XLII см. Durig J. R. et al., «J. Chem. Phys.», 1981, 74, 1564). С. Н. Мурзин

Д. А.



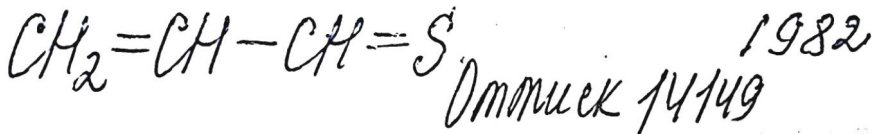
Однако 14433 1982

10 Д332. Спектры и структура соединений с малыми циклами. XLIII. Микроволновый спектр 2,3-дигидроциклофена. Spectra and structure of small ring compounds. XLIII. Microwave spectrum of 2,3-dihydrothiophene. Durig J. R., Little T. S., Li Y. S. «J. Chem. Phys.», 1982, 76, № 8, 3849—3853 (англ.)

В диапазоне 18—39 ГГц исследован микроволн. спектр циклич. молекулы CHCHSCH<sub>2</sub>CH<sub>2</sub> (I). Идентифицированы линии вращательных переходов с  $J \leq 5$  в основном и первом возбужденном состояниях изгибного колебания тиофенового кольца. Определены значения вращательных, постоянных, и дипольного момента I. Исследован также ИК-спектр I в областях 80—450 и 2700—3000 см<sup>-1</sup> в газовой фазе. Идентифицированы полосы переходов между уровнями изгибного колебания вблизи 160 см<sup>-1</sup> и разностных переходов вал. кол. CH-связи и изгибного колебания вблизи 2800 см<sup>-1</sup>. Определена потенц. ф-ция для изгибного колебания.

М. Р. Алиев

оп. 1982, 18, N 10



18 Б54. Расчеты неэмпирическим методом молекулярных орбиталей молекулярных структур и электронных свойств серосодержащих соединений. III. Тиоакроlein ( $\text{CH}_2=\text{CH}-\text{CH}=\text{S}$ ) и тиоглиоксаль ( $\text{S}=\text{CH}-\text{CH}=\text{S}$ ). На Г.-К., Nguen M. T., Vanquickenbottte L. Ab Initio Calculations of the Molecular Structures and the Electronic Properties of Sulfur-containing Compounds: III. Thioacrolein ( $\text{CH}_2=\text{CH}-\text{CH}=\text{S}$ ) and Thioglyoxal ( $\text{S}=\text{CH}-\text{CH}=$ ) «Z. Naturforsch.», 1982, A37, № 2, 125—128 (англ.)

Неэмпирическим методом ССП МО ЛКАО в базисе сгруппированных гауссовых функций ( $9s, 5p/4s2p$ ) для C, ( $12s8p/6s4p$ ) для S и ( $4s/2s$ ) для H выполнены расчеты молекул тиоакролеина (I) и тиоглиоксала (II).

X. 1982, 19, n 18.

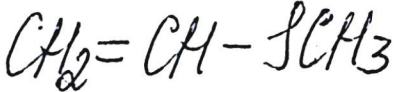
Геометрия молекул оптимизировалась с использованием метода аналитического градиента. Для транс-конформации I, за исключением C=S-связи, рассчитанные геометрич. параметры находятся в хорошем согласии с эксперим. данными. Длина C=S-связи в расчетах завышается на 0,04 Å. Для цис-конформации I и для II не имеется эксперим. данных. Найдено, что транс-конформеры I и II более стабильны, чем цис-конформеры на 2,06 и 4,31 ккал/моль соотв. Рассчитанные величины барьеров вращения равны 9,31 и 7,35 ккал/моль для I и II. Анализ заселенностей связей показал, что заселенность простой связи C—C в транс-конформере I значительно больше, чем в перпендикулярном и цис-конформерах. Для II наблюдается такая же тенденция, но порядок величин существенно меньше. Рассчитаны дипольные и квадрупольные моменты I и II. Рассчитанный дипольный момент для транс-конформера I (3,025 D) приблизительно на 20% больше, чем его эксперим. значение. И. Н. Сенченя

CH<sub>4</sub>-C≡S Omnilex 15209

1982

monoton.  
symmetr.;  
ab initio  
pacem

Ma Tae-Kyu, Nguyen M.T.,  
et al.,  
J. Mol. Struct., 1982,  
90, N1-2, 107-114.



1982

17 Б738. Потенциал внутреннего вращения и конформационная изомерия метилвинилсульфида. Кейко В. В., Синеговская Л. М., Калинина Н. А., Гусарова Н. К., Альперт М. Л., Трофимов Б. А. «Ж. общ. химии», 1982, 52, № 4, 875—880

Из зависимости ИК-спектра от т-ры для разности энタルпий и энтропий цис- и гош-ротамеров метилвинилсульфида получены значения  $6,1 \pm 0,16$  кДж/моль и  $-1,74$  э. е. На основе теор. анализа установлено, что энергетически менее выгодный конформер имеет гош-форму с диэдральным углом поворота вокруг связи  $\text{C}_{sp}-\text{S}$   $132 \pm 3^\circ$ . Вычисл. величины барьера перехода от цис- к гош-форме и барьера, отделяющего две гош-формы друг от друга, равны соотв. 9,8—10,6 и 2,5—2,9 кДж/моль.

Р. Г. Сагитов

(H) R

Х. 1982, 19, N 17.

$$\text{CH}_2=\text{CH}-\text{SCH}_3$$
  
(термолюминесц.)

$C_4H_4S^{2+}$

1982

Микулев Р. А., Микулин  
В. И.

расчес

структур

Н. опр ав. иллюст.,

1982, 18, №10, 2009-2017.

(чи.  $C_4H_4N^+$ ;  $\text{III}$ )

OMMULKE 15863

1983

DILMULKE

3 CH<sub>2</sub> CH<sub>2</sub> 3 CH<sub>2</sub> CH<sub>2</sub>

Alonso J. L., Cami-  
nati W., et al.,

NB CAMP

J.-M. Lévi, Struct.,  
1983, 96, N3-4,

225 - 232.

$C_2H_2S$

1983

8 Б1038. Изучение тиирена и его изомерных структур неэмпирическим методом молекулярных орбиталей. Ab initio molecular orbital studies on thiirene and its isomeric structures. Gosavi Ratnakar K., Strausz Otto P. «Can. J. Chem.», 1983, 61, № 11, 2596—2610 (англ.; рез. фр.)

Неэмпирическим методом ССП МО оптимизированы

геометрии 6 изомеров  $C_2H_2S$ : тиирена  $HC=CH-S$  (I), тиокетена  $H_2C=C=S$  (II), этинтиола  $HC\equiv CSH$  (III), тиоформилметиlena  $S=CH-CH:$  (V), тиира-

нилидена  $H_2CSC:$  (V) и тиолванилидена  $HS-CH=C:$  (VI), а также молекул  $H_2S$ ,  $H_3CSH$ ,  $H_2C=S$  и тиира-

на  $H_2CCH_2S$ . Оптимизация проведена в базисах OCT-3ГФ и 6-31ГФ как с учетом  $d$ -АО на атоме S, так и без него. Энергии I—VI уточнены методом конфигурац. взаимодействия (КВ) с учетом одно- и двукратных возбуждений. Найдено, что наиболее стабильный изомер  $C_2H_2S$  — II, относит. энергии I и III—VI равны соотв. 35,1; 7,8; 66,7; 56,5 и 63,7 ккал/

расчет геометрии  
изомеров  
тиирена

но;

X.1984, 19,  
N 8

/моль. Ограничным методом Хартри—Фока в базисах OCT—3ГФ и 6—31ГФ\* оптимизированы геометрии цис-, транс- и линейной конфигураций  $^1A''$ ,  $^1A'$ ,  $^3A''$  и  $^3A'$ -состояний бирадикальной структуры  $\cdot S—CH=CH\cdot$ . (VII), энергия триплетов уточнены методом КВ. Найдено, что стабильность цис- и транс-конформеров примерно одинакова и барьеры их взаимопревращения не превышают 8—9 ккал/моль. Синглет-триплетное расщепление в VII оценено в 1,5 ккал/моль. Энергия транс-VII ( $^3A''$ ) на 19 ккал/моль ниже энергии IV, но выше энергии I, так что последний может быть назван псевдоантиароматическим. Методом ССП в базисе OCT—3ГФ (в некоторых случаях — 6—31ГФ\*) оптимизированы геометрии около 20 переходных состояний процессов взаимопревращения I—VII. Найдено, что барьеры перехода IV в I или II очень малы или отсутствуют. Наиболее выгодный канал изомеризации I ведет через VII к II, что согласуется с опытом. Расчет ИК-спектра I в базисе 6—31ГФ\* дает частоты, хорошо согласующиеся с экспериментом.

В. Я. Беспалов

H<sub>3</sub>CCH<sub>2</sub>CH<sub>2</sub> [Dm. 18585]

1983

Hoz T., Sprecher M.,  
et al.

KB. Mex.  
pacet  
антикоагулянт

Israel J. Chem., 1983,  
23, N1, 109-115.

$\text{CH}_2\text{DSH}$   
 $\text{CHD}_2\text{SH}$

Om. 18651 / 1983

6 Л140. Микроволновые спектры молекул  $\text{CH}_2\text{DSH}$  и  $\text{CHD}_2\text{SH}$ . The microwave spectra of  $\text{CH}_2\text{DSH}$  and  $\text{CHD}_2\text{SH}$ . Su Chun Fu, Quade C. Richard. «J. Chem. Phys.», 1983, 79, № 12, 5828—5834 (англ.)

В диапазоне 12,5—48 ГГц исследованы микроволновые спектры молекул  $\text{CH}_2\text{DSH}$  и  $\text{CHD}_2\text{SH}$ . Идентифицированы линии вращательных переходов с  $J \leq 10$  транс- и гошизомеров этих молекул в основном колебательном состоянии. Определены значения вращательных постоянных и параметров потенциала внутреннего вращения. Показано, что разность энергий транс- и гошизомеров составляет всего 2—3  $\text{см}^{-1}$ , поэтому имеет место сильное взаимодействие между вращательными уровнями транс- и гошконформаций, приводящее к сильным усложнениям спектров.

М. Р. Алиев

ф. 1984, 18, № 6

*C<sub>2</sub>H<sub>5</sub>HCS*

*1984*

2 Б1167. ИК и КР-спектры, отнесение полос и расчет нормальных колебаний этилизотиоцианата- $d_0$  и - $d_5$ . Infrared and Raman spectra, vibrational assignment and normal coordinate calculations for ethylisothiocyanate- $d_0$  and - $d_5$ . Durg J. R., Heusel H. L., Sullivan J. F., Gradock S. «Spectrochim. acta», 1984, A40, № 8, 739—750 (англ.)

В области 3500—40 см<sup>-1</sup> измерены ИК-спектры поглощения C<sub>2</sub>H<sub>5</sub>HCS (I) и C<sub>2</sub>D<sub>5</sub>NCS (II) в тв. при 77 К и газ. состояниях. В области 600—40 см<sup>-1</sup> на ИК-Фурье спектрометре Nicolet 8000 спектр газ. I измерен с разрешением 0,12 см<sup>-1</sup>. КР-спектры жидк. I и II измерены в области 3200—10 см<sup>-1</sup>, тв. при 77 К — в области 3200—50 см<sup>-1</sup>. В области 3500—200 см<sup>-1</sup> измерены ИК-спектры I, изолированного импульсным методом в N<sub>2</sub>-матрицах при 10 К и соотношении I:N<sub>2</sub> = 1000 : 1. Интерпретация спектров выполнена на основе анализа колебательно-вращательных контуров ИК-

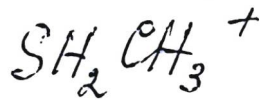
*Д. М. П. Ию*

*X. 1985, 19, №.*

полос, деполяризации линий КР, изотопич. сдвигов частот в предположении цис-формы I, II (симметрия  $C_s$ ) в тв., жидк. и газ. состояниях. Т. к. в спектрах матрично-изолированных I наблюдалась дублеты полос, относит. интенсивности к-рых не изменялись при нагревании до 30 К и послед. охлаждении до 10К, сделан вывод о существовании двух конформеров I при 10 К. Рассмотрена их структура. По частоте крут. кол.  $\text{CH}_3$ -группы в тв. I ( $270 \text{ см}^{-1}$ ) найден барьер внутреннего вращения (4,74 ккал/моль). На основе лит. молек. параметров и силовых констант  $\text{C}_2\text{H}_5\text{CN}$  и  $\text{CH}_3\text{NCS}$  рассчитаны нормальные колебания и распределение потенциальной энергии (РПЭ). Отклонение вычисленных частот от эксперим. составило 1,45% для I, 3,40% — для II. РПЭ свидетельствовало о сильном взаимодействии  $\text{N}=\text{C}=\text{S}$  и  $\text{C}-\text{N}$  колебаний.

Н. Л. Арюткина





1984

Magnusson Eric.

Zeolitemp,  
pacrem.

J. Comput. Chem.,  
1984, 5, N 6, 612-628,

(Ces. PH3; III)

Ld CS

[OM. 21966]

1984

Natarajan A., Rajalakshmi R.,

Kondam.  
A. S. Alvi,  
C. U. N. OCM.,  
M. A.,  
G. P. G. C.  
A. T. E. N. I.  
K. R. K. U.  
M. Q. P.

Indian J. Phys., 1984,  
B58, N 4-5, 439-445.

$(\text{CH}_3)_2 \text{CS}$

1984

З Б1190. Вибронный анализ ридберговских и низших валентных переходов тиоацетона. Vibronic analyses of the Rydberg and lower intravalence electronic transitions in thioacetone. Paone S., Moule D. C., Вгило А. Е., Steer R. P. «J Mol Spectrosc.», 1984, 107, № 1, 1—11 (англ.)

Изучены спектры поглощения (область 190—700 нм) и возбуждения флуоресценции (в области перехода  $\tilde{a} \leftarrow x \sim 530$ —590 нм) паров тиоацетона  $(\text{CH}_3)_2 \text{CS}$  (I). Произведено отнесение полос в спектрах к переходам  $n \rightarrow \pi^*$ ,  $A(^1A_2) \leftarrow \tilde{X}(^1A_1)$ ;  $\tilde{a}(^3A_2) \leftarrow x(^1A_1)$ ;  $\pi \rightarrow \pi^* B(^1A_1) \leftarrow \leftarrow \tilde{X}(^1A_1)$ ;  $n \rightarrow 4s$ ,  $C(^1B_2) \leftarrow \tilde{X}(^1A_1)$ ;  $n \rightarrow 4p_z$ ;  $D(^1B_2) \leftarrow \leftarrow \tilde{X}(^1A_1)$  и  $n \rightarrow 4p_y$ ,  $E(^1A_1) \leftarrow \tilde{X}(^1A_1)$ . Проведен вибронный анализ полос и определены частоты колебаний I в различных электронных состояниях. Выделены полосы, относящиеся к крут. кол. метильных групп ( $\sim 117 \text{ см}^{-1}$ ) и их обертонам. Анализ вибронной структуры полос показал, что молекулы I в состояниях  $\tilde{a}$ ,

спектр  
исследован

Х. 1985, 19, № 3.

*A* и *C* являются плоскими или псевдоплоскими (отклонения от плоскости невелики). При переходе из состояния *X* в состояние *a* происходит поворот групп  $\text{CH}_3$  на  $\sim 60^\circ$ , в состоянии же *C* ориентация метильных групп не изменяется. При возбуждении происходит увеличение угла CCC и понижение частоты вал. кол. связи  $\text{C}=\text{S}$ .

А. В. Бобров

ентс  
xcit

$(CH_3)_2CS$

1984

З Л242. Вибронный анализ ридберговских и нижних внутривалентных электронных переходов в тиоацетоне. Vibronic analyses of the Rydberg and lower intravalance electronic transitions in thioacetone. Рао S., Moule D. C., Вгило А. Е., Steer R. P. «J. Mol. Spectrosc.», 1984, 107, № 1, 1—11 (англ.)

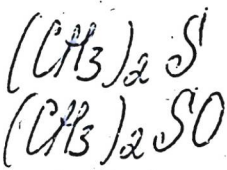
В области 700—190 нм исследован спектр поглощения тиоацетона  $(CH_3)_2CS$ . Идентифицированы разрешенные и запрещенные по спину переходы  $n \rightarrow \pi^*$ :  $\tilde{A}(^1A_1) \leftarrow \tilde{X}(^1A_1)$  и  $\tilde{a}(^3A_2) \leftarrow \tilde{X}(^1A_1)$ ; орбитально разрешенный переход  $n \rightarrow \pi^*$ ,  $\tilde{B}(^1A_1) \leftarrow \tilde{X}(^1A_1)$ ; переходы  $n \rightarrow 4S$ ,  $\tilde{C}(^1B_2) \leftarrow \tilde{X}(^1A_1)$ ,  $n \rightarrow 4p_z$ ,  $\tilde{D}(^1B_2) \leftarrow \tilde{X}(^1A_1)$  и  $n \rightarrow 4p_y$ ,  $\tilde{E}(^1A_1) \leftarrow \tilde{X}(^1A_1)$ . Для всех возбужденных электронных состояний проведена частичная идентификация колебательных частот. Установлено, что состояния  $\tilde{a}$ ,  $\tilde{A}$  и  $\tilde{C}$  тиоацетона являются плоскими или псевдоплоскими. Группы  $CH_3$  повернуты в состоянии  $\tilde{a}$  на  $60^\circ$  по сравнению с их положением в состоянии  $\tilde{X}$ ; в состоянии  $\tilde{C}$  метильные группы не изменяют своей конфигурации.

Е. Н. Викторова

СЛЕДУЮЩИЙ,

М.Н.

об. 1985, 18, № 3



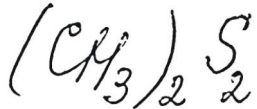
1984

4 Д114. Теоретические и экспериментальные потенциалы ионизации  $(\text{CH}_3)_2\text{S}$  и  $(\text{CH}_3)_2\text{SO}$ . Эффекты замещения R на ЭСХА-сдвиги серы в ряду  $\text{R}_2\text{S}$ ,  $\text{R}_2\text{SO}$ ,  $\text{R}_2\text{SO}_2$ . Theoretical and experimental ionization potentials of  $(\text{CH}_3)_2\text{S}$  and  $(\text{CH}_3)_2\text{SO}$ . The effect of substituents R on the sulphur ESCA shifts in the series  $\text{R}_2\text{S}$ ,  $\text{R}_2\text{SO}$ ,  $\text{R}_2\text{SO}_2$ . Theodorakopoulos G., Petsalakis I. D., Robb M. A., Csizmadia I. G. «J. Mol. Struct.», 1984, 110, № 3—4, Suppl.: «Theochem.», 19, № 3—4, 381—387 (англ.)

Теоретически и экспериментально определены ионизационные потенциалы для электронов внутренних оболочек в молекулах  $(\text{CH}_3)_2\text{S}$  и  $(\text{CH}_3)_2\text{SO}$ . Приводятся основные сведения об эксперименте и методе расчета. Из полученных результатов в совокупности с другими данными сделан вывод, что при метильном замещении R в ряду молекул  $\text{R}_2\text{S}$ ,  $\text{R}_2\text{SO}$  и  $\text{R}_2\text{SO}_2$  ионизационные потенциалы  $^2P$  серы меняются мало, а при фенильном замещении — меняются значительно, что объяснено смещением электронной плотности от фенильной группы к сере.

В. А. Морозов

Ф. 1985, 18, № 4

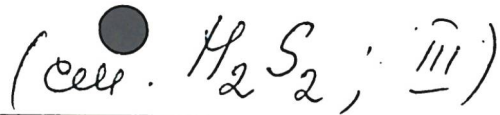


1984

Rauk Arvi.

аэрофл.,  
водораств.,  
Но;

J. Amer. Chem. Soc.,  
1984, 106, №22, 6517—  
—6524.



$CD_3S'$

1984

Suzuki Makoto,  
Inoue Gen, et al.

Di, u.n.

J. Chem. Phys., 1984,  
81, N12, Pt 1, 5405-  
5412.

(ee,  $CH_3S'$ ;  $\underline{III}$ )

1985

 $H_2C=C(H)SH$ 

21 Б1079. Внутреннее вращение и релаксация остоява этентиола. Internal rotation and framework relaxation in ethene thiol. Almond V., Регман and R. R., Macdonald J. N. «J. Mol. Struct.», 1985, 128, № 4, 337—352 (англ.)

На основе данных МВ-спектроскопии получены параметры Пт ф-ции вида  $V(\alpha) = \Sigma (V_n/2)(1 - \cos n\alpha)$  для торс. кол. относит. связи C—S в этентиоле  $H_2C=C(H)SH$  (I). Приведены вращат. частоты моно- и ди-дейтериров. производных, дипольные моменты, рассчитанные для основного и возбужденных состояний син-І и анти-І. Основным изомером найден син-І, к-рый стабильнее анти-І на  $\sim 50$  см $^{-1}$ . Две почти плоские анти-конформации с торсионными углами  $\sim 0,87 \pi$  и  $1,13 \pi$  разделены барьером  $\sim 12$  см $^{-1}$ . Барьер перехода син  $\rightarrow$  анти равен  $\sim 800$  см $^{-1}$ , при этом угол CCS уменьшается от 126,9 до 122,6°, а длина связи C—S увеличивается от 0,1761 нм до 0,1777 нм. Минимальное значение угла CCS и максимальное значение длины связи C—S достигаются при торсионном угле, несколько большем 90°.

В. Болотин

шолчир., ст.р.,  
м.п.  
Х. 1985, 19, № 21

МСД

1985

| 8 Л198. Спектр испускания радикала HCCS. Emission spectrum of the HCCS radical. Coquart Вегнард. «Can. J. Phys.», 1985, 63, № 10, 1362—1371  
(англ.; рез. фр.)

Изучены эмиссионные полосы в области 3900—4500 Å, возбуждаемые РЧ-разрядом в тиофене, и отнесенные к излучению радикала HCCS. Выполнен анализ вращательной структуры для сильных полос, связанных с переходами  $^2\Pi_i - ^2\Pi_i$ , в которых оба состояния относятся к случаю  $a$  по Гунду.

М. А.

М. А.

phi 1986, 18, N 8

HCCS

1985

ЖЕКМНОН -  
СН2КМР  
ЛСН2КМН.  
 $^2\Pi_i - ^2\Pi_i$

104: 42297y Emission spectrum of the ethynylthio (HCCS) radical. Coquart, Bernard (Fac. Sci., 51062 Reims, Fr.). *Can. J. Phys.* 1985, 63(10), 1362-71 (Eng). Emission bands obtained in the region 3900-4500 Å by radio-frequency discharge in thiophene were studied; they are assigned to the HCCS transient species whose absorption spectrum was recently obsd. A rotational anal. was carried out for the strong bands, which are assigned to a  $^2\Pi_i - ^2\Pi_i$  transition in which both states are close to Hund's case (a). Vibrational assignments are discussed.

C.A. 1986, 104, N 6

$\text{CH}_3\text{SCH}_2$

[IM. 22073]

1985

$\text{CH}_3\text{SSCH}_3$

Ha Tae-Kyu,

MONCKYR.  
СМРУХНУР,  
ab initio  
pacem

J. Mol. Struct., 1985,  
122, N3-4, 225-234.

$C_2H_4SH$

1985

Hoz Tova, Sprecher  
Milon, et al.

empyrk-  
mepa

Z. Phys. Chem., 1985,  
89, N 9, 1664-1670.

(cfr.  $C_2H_4Cl$ ; II)

*CH<sub>2</sub>C<sub>S</sub>*

*1985*

8 Л168. Исследование спектра ИК-поглощения тиокетона  $\text{CH}_2=\text{C}=\text{S}$  с помощью фурье-спектрометра.  
Fourier transform infrared spectrum of thioketene,  $\text{CH}_2=\text{C}=\text{S}$ . Кроу H. W., McNaughton D. «J. Mol. Spectrosc.», 1935, 114, № 2, 473—482 (англ.)

С помощью фурье-спектрометра исследованы спектры ИК-поглощения в области 800—3500  $\text{см}^{-1}$  молекул тиокетона  $\text{CH}_2=\text{C}=\text{S}$ . Молекулы тиокетона нестабильны, поэтому их спектры регистрировались непосредственно в момент сбрасывания при гиролитич. реакции в газовой фазе. Анализ спектров позволил определить частоты шести основных колебаний. С высоким разрешением ( $0,01 \text{ см}^{-1}$ ) исследована также вращательная структура полос  $v_7$  и  $v_3+v_8$ . На основании этих измерений определены вращательные постоянные молекул тиокетона в основном и возбужденных колебат. состояниях.

Библ. 29.

К. Э. М.

*ф. 1986, 18, № 8*

Om. 23213

1985

$\text{CH}_2=\text{C=S}'$

Kroto H.W., McNaugh-  
ton D.,

lik creeper.

J. Mol. Spectrosc., 1985,  
114, N2, 473-482.

Om. 21780 ]

1985

HCH=CHSH

FCH=CHSH Plant C., Mac Donald J.R.;  
et al.,

ab initio  
pacem  
romers.  
D-UU  
Brym.  
faallier.

J. Mol. Struct., 1985,  
128, ● 353-363.

$[C_2H_3S]^+$  (Oм. 22972) 1985

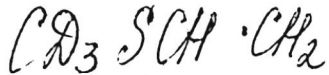
8 Б1103. Структура  $[C_2H_3S]^+$ . The structure of  $[C_2H_3S]^+$ . Rodriguez C. F., Hopkinson A. C. «Org. Mass Spectrom.», 1985, 20, № 11, 691 (англ.)

Рассчитаны относит. энергии 8 структур, предложенных для иона  $[C_2H_3S]^+$  (I). Для I, независимо от его происхождения, энергетически наиболее выгодны структуры  $\overset{+}{CH_3}\overset{+}{C}=\overset{+}{S}$ ,  $H_2C=\overset{+}{C}=\overset{+}{SH}$ ,  $\overset{+}{HC}=\overset{|}{CHSH}$  и  $\overset{+}{HC}=\overset{|}{SCH}_2$ . Структура  $\overset{+}{CH_3}\overset{+}{C}=\overset{+}{S}$  не согласуется с механизмом фрагментации I, в ходе к-рой практически не происходит потеря  $CH_3$ . Удовлетворит. структура переходного состояния между двумя циклич. формами I не установлена.

А. А. Кирюшкин

Структура

X. 1986, 19, N 8



Он. 21783 1985

11 Л170. Расчет колебательных спектров метилвинилсульфида и его дейтерозамещенных. Сурушкин А. Н., Фролов Ю. Л., Тутурина В. В., Синеговская Л. М., Гусарова Н. К., Васильцов А. М., Калистратова Е. Ф. «Изв. АН СССР. Сер. хим.», 1985, № 8, 1780—1784.

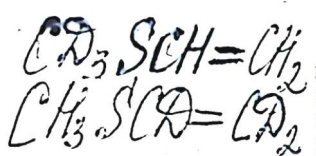
Получены ИК-спектры поглощения и комбинационного рассеяния  $CD_3SCH-CH_2$  и  $CH_3SCD-CD_2$ . Выполнены расчеты норм. колебаний и уточнено отнесение полос. Получено удовлетворительное согласие рассчитанных и эксперим. частот при использовании силовых постоянных этилена и метана для соответствующих фрагментов молекулы метилвинилсульфида. Автореферат

Д. С. С. Ч. П. С. М.

сф. 1985, 18, N 11

DM. 21 733

1985



22 Б1237. Расчет колебательных спектров метилвинилсульфида и его дейтерозамещенных. Сурушкин А. Н., Фролов Ю. Л., Тутурина В. В., Синеговская Л. М., Гусарова П. К., Васильцов А. М., Калистратова Е. Ф. «Изв. АН СССР. Сер. хим.», 1985, 1780—1784

Получены спектры ИК-поглощения и КР-метилвинилсульфида и его дейтерозамещенных. Предложена методика синтеза соединений  $\text{CD}_3\text{SCH}=\text{CH}_2$  и  $\text{CH}_3\text{SCD}=\text{CD}_2$ . Для этих молекул выполнены расчеты нормальных колебаний и уточнено отнесение полос. Получено удовлетворит. согласие рассчитанных и эксперим. частот при использовании силовых постоянных  $\text{C}_2\text{H}_4$  и  $\text{CH}_4$  для соотв. фрагментов молекулы метилвинилсульфида. Установлено, что основные отличия колебательных спектров метилвинилового эфира и метилвинилсульфида обусловлены разницей масс атомов O и S и различием геометрич. параметров фрагментов C—O—C и C—S—C. Проведен анализ спектроскопич. проявлений поворотной изомерии метилвинилсульфида. Расчет показал, что значения частот менее стабильного конформера согласуются с величиной торсионного угла около  $135^\circ$ .

спикер

ИК - исследован.

и КР.

Di, USSR. No 011

X.1985, 19, N 22

Автореферат

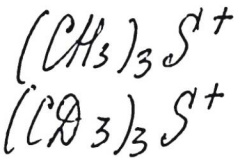
HSCS<sup>+</sup> (Dm-2d 381)

1985

Taylor P.R., Scarlett M.

бронзий.  
стекло,  
текстолит.  
серый камень,  
ab initio  
песчан.

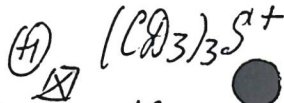
Astrophys. J., 1985;  
293, N1, Pt 2, 49-51.



1986

Chem. Rev.

106: 92734a Vibrational spectrum of tri(methyl-d<sub>3</sub>)sulfonium iodide and normal coordinate calculations for trimethylsulfonium and tri(methyl-d<sub>3</sub>)sulfonium cations. Aida, Koyo; Kusaka, Shin; Ueda, Takashi; Shibuya, Hisashi; Imai, Yoshiaki (Fac. Eng., Tohoku Univ., Sendai, Japan 980). *Polyhedron* 1986, 5(12), 1953-6 (Eng.). The IR (30-4000 cm<sup>-1</sup>) and Raman (0-4000 cm<sup>-1</sup>) spectra of [(CD<sub>3</sub>)<sub>3</sub>S]I were obsd., together with those of (Me<sub>3</sub>S)I. By assuming a C<sub>3v</sub> mol. symmetry for Me<sub>3</sub>S<sup>+</sup> and [(CD<sub>3</sub>)<sub>3</sub>S]<sup>+</sup>, all the active fundamentals of [(CD<sub>3</sub>)<sub>3</sub>S]<sup>+</sup> were assigned, and normal coordinate calens. were carried out by a symmetry force field for Me<sub>3</sub>S<sup>+</sup> and [(CD<sub>3</sub>)<sub>3</sub>S]<sup>+</sup>. The strength of the S-C and C-H bonds in the compd. was compared with that in Me<sub>2</sub>S by using their valence stretching force consts.



c.A. 1987, 106, N/2

$S(CH_2)_5$

1986

20 Б1234. Постоянные центробежного искажения для молекулы тиана. The centrifugal distortion constants for the molecule of thiane. Fantoni A. C., Gómez C. H., Filgueira R. R., Sorarrain O. M. «J. Mol. Spectrosc.», 1986, 117, № 1, 168—172. (англ.). Место хранения ГПНТБ СССР

В диапазоне 8—18 ГГц исследован МВ-спектр циклической молекулы  $S(CH_2)_5$ . Идентифицированы линии 35 вращат. переходов с  $J \leq 41$  основного колебат. состояния. Анализ спектра выполнен совместно с лит. данными для диапазона 26,5—40 ГГц. Определены значения вращат. и квартичных центробежных постоянных.

Е. В. Алиева

М.Н.

X. 1986, 19, N 20

1986

$C_5H_{10}S$

II Л170. Константы центробежного искажения молекул тиана. The centrifugal distortion constants for the molecule of thiane. Fantoni A. C., Gómez C. H., Sotragain O. M., Filgueira R. R. «J. Mol. Spectrosc.», 1986, 117, № 1, 168—172 (англ.) Место хранения ГПНТБ СССР.

Исследованы спектры микроволни поглощения в области 8—18 ГГц молекул тиана  $C_5H_{10}S$  (замещенный аналог циклогексана). В спектрах поглощения обнаружено 35 новых вращательных линий, отнесенных к переходам из состояний с квантовым числом  $J$  до 41. На основании полученных данных проведено уточнение констант центробежного искажения молекул тиана. Полученные значения сопоставлены с аналогичными постоянными для изоструктурных молекул тиоморфолина и морфолина. Отмечена тенденция уменьшения постоянных центробежного искажения при увеличении полной массы молекулы.

К. Э. М.

Ф. 1986, 18, № 11.

1986

CCSH

CCSD

4 Б4337. Спектры поглощения радикалов CCSH и CCSD. Absorption spectra of CCSH and CCSD radicals.  
 Krishnamachari S. L. N. G., Venkatasubramanian R. «Indian J. Phys.», 1986, V 60, № 1, 37—44 (англ.)

При импульсном Фт 1 Торр тиофена или тиазола в присутствии 100 Торр Ar при времени задержки 5 мкс наблюдали коротковживущие спектры поглощения в обл. длин волн 3300—3800 Å. Опыты с дейтерированными соединениями показали, что носители этих спектров содержат по одному атому водорода. Проведен полный колебат. анализ спектральных полос. При высоком разрешении регистрируемых спектров наблюдали сложную вращат. структуру, характерную для оптич. переходов в молекулах с высокой симметрией. На основе этих данных носители спектров идентифицированы как свободные радикалы CCSH и CCSD, а не CCHS и CCDS. Определены наборы из восьми вращат. констант для обеих частиц.

B. E. Скурат

X. 1987, 19, N 4.

CCSH

CCSD

1986

Om. 24860

[104] 176931j Absorption spectra of CCSII and CCSD radicals. Krishnamachari, S. L. N. G.; Venkatasubramanian, R. (Spectrosc. Div., Bhabha At. Res. Cent., Bombay, 400 085 India). Indian J. Phys., B - 1986, - 60B(1), 37-44 (Eng). A group of transient absorption bands are obsd. at 3300-3800 Å in the flash-photolysis of thiophene and thiazole. Spectra obtained with the corresponding deuterated compds. showed the presence of 1 H atom in the carrier and enabled the vibrational anal. of these bands. Spectra recorded under high resoln. showed a complex rotational structure, which is characteristic of a transition of a mol. with a large asymmetry. The latter of these bands is identified as a new radical, viz. the CCSH radical.

(M. C. REED  
NOVEMBER 1986.)

C.A. 1986, 104, n20